

การศึกษาการตรวจหาวัตถุที่อยู่บนสุดของภาพที่ทับซ้อนโดยใช้เทคนิค
มาร์จินอัลสเปชและมอร์ฟโลยี

**STUDYING OF TOP OBJECT DETECTION IN IMAGE
OVERLAPPING USING MARGINAL SPACE AND MORPHOLOGY
TECHNIQUE**



วิทยานิพนธ์นี้เป็นส่วนหนึ่งของการศึกษาตามหลักสูตร
ปริญญาวิกรรมศาสตร์ สาขาวิชาวิกรรมไฟฟ้า
คณะวิกรรมศาสตร์
มหาวิทยาลัยเทคโนโลยีราชมงคลล้านนา
ปีการศึกษา 2555
ลิขสิทธิ์ของมหาวิทยาลัยเทคโนโลยีราชมงคลล้านนา

การศึกษาการตรวจหาวัตถุที่อยู่บนสุดของภาพที่ทับซ้อนโดยใช้เทคนิค
มาร์จินอลสเปชและมอร์ฟโลเจ



วิทยานิพนธ์นี้เป็นส่วนหนึ่งของการศึกษาตามหลักสูตร
ปริญญาวิគกรรมศาสตรมหาบัณฑิต สาขาวิគกรรมไฟฟ้า
คณะวิគกรรมศาสตร์
มหาวิทยาลัยเทคโนโลยีราชมงคลล้านนา
ปีการศึกษา 2555
ลิขสิทธิ์ของมหาวิทยาลัยเทคโนโลยีราชมงคลล้านนา

หัวข้อวิทยานิพนธ์

การศึกษาการตรวจหาวัตถุที่อยู่บนสุดของภาพที่ทับช้อนโดยใช้เทคนิค
มาร์จินอลสเปซและมอร์ฟโลจี

Studying of Top Object Detection in Image Overlapping Using
Marginal Space and Morphology Technique

ชื่อ - นามสกุล

นางสาววัญจิต ออกเวลา

สาขาวิชา

วิศวกรรมไฟฟ้า

อาจารย์ที่ปรึกษา

ผู้ช่วยศาสตราจารย์จักรี ศรีนันท์ฉัตร, Ph.D.

ปีการศึกษา

2555

คณะกรรมการสอบวิทยานิพนธ์

ประธานกรรมการ

(อาจารย์อำนวย เรืองวารี, Dr.-Ing.)

กรรมการ

(รองศาสตราจารย์สมเกียรติ อุดมธรรมากุล, Ph.D.)

กรรมการ

(อาจารย์สุรินทร์ แห่งงาม, Ph.D.)

กรรมการ

(ผู้ช่วยศาสตราจารย์จักรี ศรีนันท์ฉัตร, Ph.D.)

คณะกรรมการศาสตร์ มหาวิทยาลัยเทคโนโลยีราชมงคลล้านนา อนุมัติวิทยานิพนธ์ฉบับนี้
เป็นส่วนหนึ่งของการศึกษาตามหลักสูตรปริญญามหาบัณฑิต

..... คำบดีคณะกรรมการศาสตร์

(ผู้ช่วยศาสตราจารย์สมหมาย ผิวสถาศา, Ph.D.)

วันที่ 19 เดือน พฤษภาคม พ.ศ. 2556

หัวข้อวิทยานิพนธ์	การศึกษาการตรวจหาวัตถุที่อยู่บนสุดของภาพที่ทับซ้อนโดยใช้เทคนิคการจินอลสเปชและมอร์โฟโลยี
ชื่อ - นามสกุล	นางสาวขวัญจิต ออกรเวลา
สาขาวิชา	วิศวกรรมไฟฟ้า
อาจารย์ที่ปรึกษา	ผู้ช่วยศาสตราจารย์ จักรี ศรีนันทนัตร, Ph.D.
ปีการศึกษา	2555

บทคัดย่อ

การระบุตำแหน่งของวัตถุโดยอยู่บนของภาพ 2 มิติ นั้นจำเป็นอย่างยิ่งที่ต้องใช้ข้อมูลภาพถ่ายในหลายๆ มุมมองเพื่อนำมาประมวลผล จึงเป็นผลให้มีการประมวลผลที่ซ้ำและต้องการข้อมูลที่มาก ดังนั้นวิทยานิพนธ์นี้จึงทำการศึกษาการตรวจหาและระบุวัตถุที่อยู่บนสุดของภาพ 2 มิติ ที่ทับซ้อนโดยใช้ข้อมูลภาพมุ่งบนเพียงภาพเดียวร่วมกับเทคนิคการจินอลสเปชและมอร์โฟโลยี

การทดลองได้ใช้ภาพถ่ายวัตถุขนาด 480×640 พิกเซล มาทำการหาขอบภาพโดยใช้การหาขอบภาพอนุพันธ์อันดับสอง เทคนิคที่นำมาใช้ คือ เทคนิคการลาปลาซของเกาส์เชียน (Laplacian of a Gaussian) กรองภาพโดยใช้ตัวกรองแบบโมชัน (Motion Filter) และทำการปรับปรุงภาพโดยใช้เทคนิคเอดจ์ ผลการทดลองแสดงให้เห็นว่าเทคนิคดังกล่าวมีประสิทธิภาพในการตรวจหาวัตถุที่ต้องการ จากนั้นทำการระบุวัตถุที่อยู่ด้านบนโดยใช้เทคนิคดิสแตนทรานฟอร์ม เทคนิคการแบ่งส่วนภาพสันปันน้ำ (Watershed Segmentation) และเทคนิคหาจุดศูนย์ถ่วง

ผลการทดลองการระบุวัตถุที่อยู่ด้านบนสุดพบว่าเทคนิคดิสแตนทรานฟอร์มจะมีประสิทธิภาพในการระบุกลุ่มวัตถุมากกว่าระบุวัตถุเดียว ส่วนเทคนิคการแบ่งส่วนภาพสันปันน้ำมีประสิทธิภาพในการระบุวัตถุในภาพที่มีการทับซ้อน เช่น ภาพวัตถุทรงกลม ภาพวัตถุรูปทรงสี่เหลี่ยมผืนผ้า และภาพวัตถุทรงรูปทรงสี่เหลี่ยมจตุรัส โดยให้ประสิทธิภาพร้อยละ 93.33 29.03 และ 74.36 ตามลำดับ และเทคนิคจุดศูนย์ถ่วงให้ประสิทธิภาพในการระบุวัตถุบนสุดร้อยละ 68.88 ในภาพที่มีการทับซ้อนมาก

คำสำคัญ: การตรวจหาวัตถุ จินอลสเปช มอร์โฟโลยี

Thesis Title	Studying of Top Object Detection in Image Overlapping Using Marginal Space and Morphology Technique.
Name - Surname	Miss Khwanjit Orkweha
Program	Electrical Engineering
Thesis Advisor	Assistant Professor Jakkree Srinonchat, Ph.D.
Academic Year	2012

ABSTRACT

The top object identification in two dimensions image is required many angle images for image processing. This causes to slow computation and request a lot of information. Therefore, this thesis presents the studying of top object detection in two dimensions image overlapping, which requests only one top view image using marginal space and morphology technique.

The experiments, the image sizes 480 x 640 pixels are used to find edge using second-order derivative equation. This technique includes laplacian of a gaussian technique to filter the image using motion filter. The image is then modified using morphology technique. This results show that this technique provides the good efficiency to searching the target object. The top object is then identified using different techniques such as distant transform, watershed segmentation technique and centroid technique.

The experimental of top object identification show that the distant transform technique provides the efficiency to identify the group object more than single object. The watershed segmentation technique offers the efficiency of top object identification which exists in obstruction image such as the circular objects, rectangular objects and square objects. It gives the accuracy as 93.33%, 29.03% and 74.36% respectively. Finally, the centroid technique achieves the top object identification at 68.88% in the condition of more complex obstruction image.

Keywords: object detection, marginal space, morphology

กิตติกรรมประกาศ

วิทยานิพนธ์ฉบับนี้สำเร็จได้ด้วยความเมตตากรุณาเป็นอย่างสูงจาก ท่านคณบดีกรรมการ
สอบวิทยานิพนธ์ ดร.อันวย เรืองวารี ดร.สุรินทร์ แห่งงาน ผู้ช่วยศาสตราจารย์ ดร.จักรี ศรีนนท์พัตร^๑
และผู้ทรงคุณวุฒิ รองศาสตราจารย์ ดร.สมเกียรติ อุดมธรรมากุล ที่กรุณาให้คำแนะนำและให้
คำปรึกษา ตลอดจนให้ความช่วยเหลือแก่ไขข้อบกพร่องต่างๆ เพื่อให้วิทยานิพนธ์ฉบับนี้มีความ
สมบูรณ์ ซึ่งผู้วิจัยขอกราบขอบพระคุณเป็นอย่างสูง ไว้ ณ โอกาสนี้

ขอขอบพระคุณ ผู้ช่วยศาสตราจารย์ ดร.จักรี ศรีนนท์พัตร อาจารย์ที่ปรึกษาที่ให้คำปรึกษา^๒
และแนวทางในการดำเนินงานทำให้วิทยานิพนธ์ฉบับนี้สำเร็จลุล่วง ขอขอบคุณทุกคนที่เป็นกำลังใจ
และให้ความช่วยเหลือตลอดมา

คุณค่าอันพึงมีจากวิทยานิพนธ์ฉบับนี้ ขอขอบเพื่อนบ้าพระคุณบิดามารดาครู อาจารย์ และ^๓
ผู้มีพระคุณทุกท่าน

ขวัญจิต ออกเวลา

สารบัญ

	หน้า
บทคัดย่อภาษาไทย.....	๑
บทคัดย่อภาษาอังกฤษ.....	๔
กิตติกรรมประกาศ	๖
สารบัญ.....	๗
สารบัญตาราง.....	๘
สารบัญภาพ.....	๙
บทที่	
1 บทนำ	1
1.1 ความเป็นมาและความสำคัญ.....	1
1.2 วัตถุประสงค์.....	2
1.3 ขอบเขตงานวิจัย.....	2
1.4 ข้อจำกัดงานวิจัย.....	2
1.5 วิธีการดำเนินการวิจัย	3
1.6 ประโยชน์ที่คาดว่าจะได้รับ	3
2 ทฤษฎีและงานวิจัยที่เกี่ยวข้อง	4
2.1 การประมวลผลภาพดิจิตอล	4
2.2 แบบจำลองของสี	5
2.3 การแยกภาพออกเป็นส่วน	10
2.4 การค้นหาขอบภาพ	10
2.5 การกรองข้อมูลภาพ	14
2.6 การปรับปรุงขอบภาพ	18
2.7 ดิสแตนทรานฟอร์ม	21
2.8 จุดศูนย์ถ่วง.....	22
2.9 การแบ่งภาพโดยใช้เทคนิค Watershed Segmentation.....	23
2.10 งานวิจัยที่เกี่ยวข้อง	26

สารบัญ (ต่อ)

บทที่	หน้า
3 วิธีดำเนินการวิจัย.....	30
3.1 แปลงภาพสีเป็นภาพระดับสีเทา.....	31
3.2 การหาขอบภาพ.....	32
3.3 การกรองภาพและปรับปรุงขอบภาพ	34
3.4 ตรวจหาและระบุวัตถุที่อยู่ด้านบน	36
3.5 ทดลองภาพที่มีการทับซ้อนมากขึ้น	42
3.6 ทดลองวัตถุที่มีขนาดต่างกัน	42
3.7 ทดลองวัตถุรูปทรงสี่เหลี่ยม	43
4 ผลการวิจัย.....	45
4.1 ผลการตรวจหาขอบภาพ	45
4.2 ระบุวัตถุที่อยู่บนสุดโดยใช้เทคนิคสแตนทรานฟอร์ม	46
4.3 ระบุวัตถุที่อยู่บนสุดโดยใช้เทคนิคจุดศูนย์ต่ำ.....	48
4.4 ระบุวัตถุที่อยู่บนสุดโดยใช้เทคนิค Watershed Segmentation	50
4.5 เปรียบเทียบผลการทดลอง	52
5 สรุปผลการวิจัยการอภิปรายผลและข้อเสนอแนะ	64
5.1 การหาขอบภาพวัตถุ	64
5.2 ผลการทดลองการตรวจหาและระบุวัตถุที่อยู่บนสุดโดยใช้เทคนิคสแตนทรานฟอร์ม....	64
5.3 ผลการทดลองการตรวจหาและระบุวัตถุที่อยู่บนสุดโดยใช้เทคนิคหาจุดศูนย์ต่ำ.....	65
5.4 ผลการทดลองการตรวจหาและระบุวัตถุที่อยู่บนสุดโดยใช้เทคนิค Watershed Segmentation	66
5.5 เปรียบเทียบผลการทดลอง 3 เทคนิค: วัตถุทรงกลมผลแอปเปิล 3- 8 ผลต่อภาพ	67
5.6 เปรียบเทียบผลการทดลอง 3 เทคนิค: วัตถุทรงวัตถุทรงกลมที่มีการทับซ้อนมากขึ้น	67
5.7 เปรียบเทียบผลการทดลอง 3 เทคนิค: วัตถุทรงกลมที่มีขนาดต่างกัน	68
5.8 เปรียบเทียบผลการทดลอง 3 เทคนิค: วัตถุที่มีรูปทรงสี่เหลี่ยม.....	68
5.9 ข้อเสนอแนะและแนวคิดเพื่อการพัฒนาเพิ่มเติมในอนาคต	69

สารบัญ (ต่อ)

	หน้า
รายการอ้างอิง.....	70
ภาคผนวก.....	72
ภาคผนวก ก ภาพที่ใช้ในการทดลอง.....	73
ภาคผนวก ข โปรแกรม	92
ภาคผนวก ค ผลงานตีพิมพ์เผยแพร่	97
ประวัติผู้เขียน.....	125



สารบัญตาราง

ตารางที่	หน้า
4.1 สรุปผลการทดลองเทคนิคดิสแตนทรานฟอร์ม.....	48
4.2 สรุปผลการทดลองเทคนิคจุดศูนย์ต่อไป	50
4.3 สรุปผลการทดลองเทคนิค Watershed Segmentation	52
4.4 เปรียบเทียบผลการทดลองภาพผลแอบเปิล 3- 8 ผลต่อภาพ.....	53
4.5 สรุปผลการทดลอง 3 เทคนิค: วัดถุทรงกลมผลแอบเปิล 3- 8 ผลต่อภาพ	54
4.6 เปรียบเทียบผลการทดลองภาพที่มีการทับซ้อน	55
4.7 สรุปผลการทดลอง 3 เทคนิค: วัดถุทรงกลมที่มีการทับซ้อนมากขึ้น.....	55
4.8 ผลการทดลองเมื่อวัดถุมีขนาดต่างกัน- ผลบัวยาวบนผลอยู่ใน	57
4.9 ผลการทดลองเมื่อวัดถุมีขนาดต่างกัน	58
4.10 สรุปผลการทดลองวัดถุรูปทรงสี่เหลี่ยม (กล่องนม).....	60
4.11 ผลการทดลองวัดถุรูปทรงสี่เหลี่ยม (กล่องนม).....	61
4.12 สรุปผลการทดลองวัดถุรูปทรงสี่เหลี่ยม (ก้อนสนูป)	62
4.13 ผลการทดลองวัดถุรูปทรงสี่เหลี่ยม (ก้อนสนูป).....	63



สารบัญภาพ

ภาพที่	หน้า
1.1 มุมมอง 2 มิติ	1
1.2 มุมมอง 3 มิติ	1
1.3 ขั้นตอนการตรวจหาวัตถุที่อยู่ด้านบน	3
2.1 ตำแหน่งของพิกเซล	5
2.2 เมตริกซ์ของพิกเซลในภาพ	5
2.3 องค์ประกอบของภาพ RGB	6
2.4 แสดงสีขั้นปฐมภูมิกับสีขั้นทุติภูมิ และลักษณะของสี RGB Color Cube	7
2.5 ภาพเชิงคิจิตอลประเภท RGB Image	7
2.6 ภาพเชิงคิจิตอลประเภทระดับสีเทา	8
2.7 ลักษณะภาพใบหนารีที่แสดงกลุ่มของพิกเซลภาพที่ประกอบเป็นตัวอักษร	9
2.8 การหาขอบภาพโดยใช้อุปกรณ์อันดับหนึ่ง	12
2.9 ลักษณะการหาขอบภาพโดยใช้อุปกรณ์อันดับสอง	13
2.10 การหาขอบภาพโดยใช้อุปกรณ์อันดับสอง	14
2.11 การกรองข้อมูลภาพ	15
2.12 ค่าของ Structuring Element (SE)	19
2.13 การทำงานของเทคนิคการกัดกร่อน	19
2.14 ผลการทำงานของเทคนิคการกัดกร่อน	19
2.15 การทำงานของเทคนิคการขยาย	20
2.16 ผลการทำงานของเทคนิคการขยาย	20
2.17 การทำงานของ Opening	21
2.18 ลักษณะของ Watershed Lines	24
2.19 การประยุกต์ใช้อัลกอริทึมของเทคนิค Watershed	25
2.20 ลักษณะภาพ Oversegmentation	26
2.21 การระบุจุดและการสร้าง Watershed Lines	26
3.1 ขั้นตอนการตรวจหาวัตถุที่อยู่ด้านบน	30
3.2 ภาพเชิงคิจิตอลประเภท RGB Image	31
3.3 ภาพเชิงคิจิตอลประเภทภาพสีเทา	32

สารบัญภาพ (ต่อ)

ภาพที่	หน้า
3.4 ผลการหาขอบภาพโดยใช้เทคนิคต่างๆ	33
3.5 การหาขอบภาพโดยวิธี LOG	34
3.6 การกรองภาพโดยใช้เทมเพลตในลักษณะต่างๆ	35
3.7 กรองภาพโดยใช้ตัวกรอง Motion	36
3.8 ผลหลังผ่านการใช้เทคนิค Opening.....	36
3.9 ลักษณะการระบุตำแหน่งโดยใช้เทคนิคดิสแตนทรานฟอร์ม	37
3.10 สร้างกรอบวงกลมครอบวัตถุที่อยู่ด้านบน	38
3.11 ตัวอย่างในการคำนวณหาค่าจุดศูนย์กลาง	38
3.12 ระบุตำแหน่งจุดศูนย์กลางที่ได้จากการคำนวณ.....	39
3.13 ผลการระบุตำแหน่งวัตถุของเทคนิคจุดศูนย์กลางบนภาพขอบวัตถุ.....	40
3.14 ผลการระบุตำแหน่งวัตถุของเทคนิคจุดศูนย์กลางบนภาพ RGB	40
3.15 ขั้นตอนการประยุกต์ใช้เทคนิค Watershed Segmentation	41
3.16 แบ่งพื้นที่วัตถุโดยใช้เทคนิค Watershed Segmentation.....	41
3.17 ระบุวัตถุที่อยู่ด้านบนโดยใช้เทคนิค Watershed Segmentation	42
3.18 วัตถุที่มีการหักซ้อนมากขึ้น	42
3.19 วัตถุที่มีขนาดต่างกัน	43
3.20 วัตถุที่มีรูปทรงสี่เหลี่ยม (กล่องนม).....	43
3.21 วัตถุที่มีรูปทรงสี่เหลี่ยม (ก้อนสนูป).....	44
4.1 ภาพถ่ายผลแอลไฟด์	45
4.2 ผลการหาขอบภาพโดยใช้เทคนิค LOG	46
4.3 ผลการลดสัญญาณรบกวน โดยใช้เทคนิค Opening	46
4.4 ระบุวัตถุที่อยู่ด้านบนสุด โดยสร้างวงกลมครอบ	47
4.5 ผลการระบุวัตถุที่อยู่ด้านบนสุด โดยใช้เทคนิคจุดศูนย์กลาง	49
4.6 ผลการระบุวัตถุที่อยู่ด้านบนสุด โดยใช้เทคนิค Watershed Segmentation	51
4.7 ขอบภาพวัตถุที่มีรูปทรงสี่เหลี่ยม (กล่องนม).....	61
5.1 การหาขอบภาพวัตถุ.....	64
5.2 ผลตรวจพบวัตถุเดียว	65

สารบัญภาค (ต่อ)

ภาคที่	หน้า
5.3 ผลตรวจพบกลุ่มวัตถุ	65
5.4 ผลการระบุวัตถุที่อยู่ด้านบนโดยใช้เทคนิคจุดศูนย์ถ่วง	66
5.5 ผลการระบุวัตถุที่อยู่ด้านบนโดยใช้เทคนิค Watershed Segmentation	66
5.6 ลักษณะของการระบุวัตถุที่ผิดพลาด	67
5.7 ลักษณะของภาพของวัตถุ	68

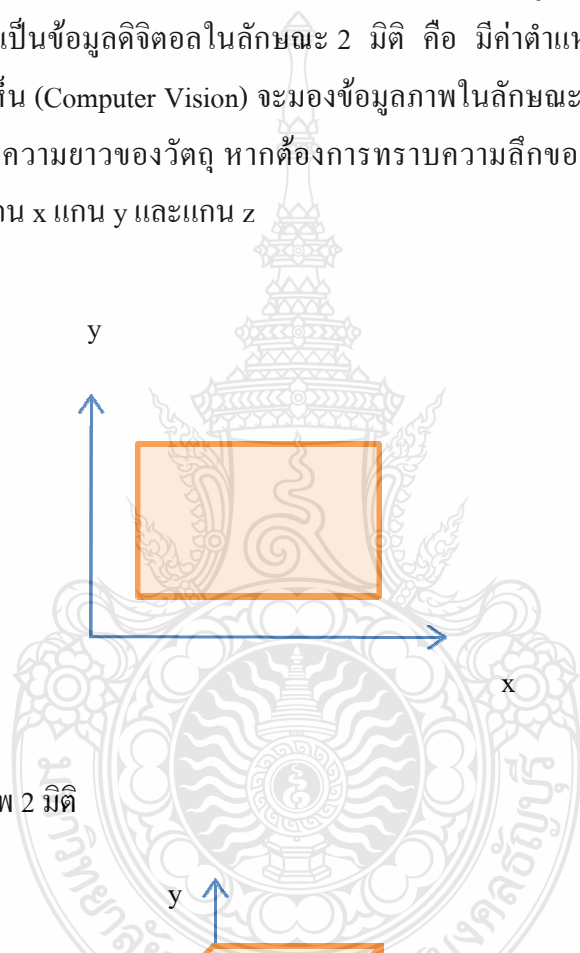


บทที่ 1

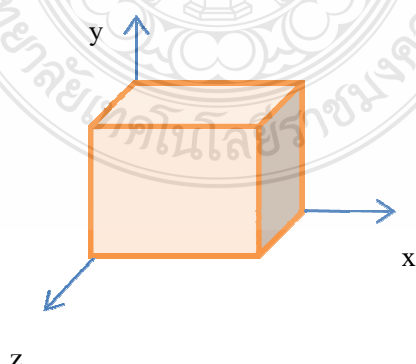
บทนำ

1.1 ความเป็นมาและความสำคัญ

การประมวลผลภาพดิจิตอล เป็นกระบวนการแปลงข้อมูลภาพให้อยู่ในรูปแบบข้อมูลดิจิตอล ข้อมูลที่ได้จะเป็นข้อมูลดิจิตอลในลักษณะ 2 มิติ คือ มีค่าตำแหน่งในแกน x และแกน y การคำนวณการมองเห็น (Computer Vision) จะมองข้อมูลภาพในลักษณะ 2 มิติ ที่สามารถบอกได้ถึงขนาดความกว้างและความยาวของวัตถุ หากต้องการทราบความลึกของวัตถุต้องใช้ข้อมูลภาพในลักษณะ 3 มิติ คือ มีแกน x แกน y และแกน z



ภาพที่ 1.1 ข้อมูลภาพ 2 มิติ



ภาพที่ 1.2 ข้อมูลภาพ 3 มิติ

ภาพถ่ายดิจิตอล โดยใช้กล้องถ่ายรูปดิจิตอลภาพที่ได้เมื่อมีการประมวลผลภาพแล้วจะได้ค่าในลักษณะ 2 มิติ ซึ่งเมื่อเทียบกับมุมมองการมองด้วยสายตาของมนุษย์ที่สามารถระบุวัตถุในลักษณะของภาพ 3 มิติ ได้ การที่จะทำให้สามารถระบุวัตถุในภาพ 2 มิติ ได้จะต้องใช้การถ่ายภาพในหลายมุมมองเพื่อมาทำการประมวลผลหาค่าความแตกต่างในแต่ละภาพ หรือใช้กล้องในการถ่ายภาพหลายๆ ตัว เป็นการสื้นเปลืองและสูญเสียเวลา ในงานวิจัยนี้จึงมีแนวคิดในการที่จะระบุความลึกหรือตำแหน่งของวัตถุที่อยู่ในภาพ 2 มิติ โดยใช้ภาพในมุมมองเดียว คือ ใช้มุมมองจากด้านบน (Top View) และใช้ภาพถ่ายเพียงภาพเดียวในการประมวลผลภาพ โดยการทำให้สามารถตรวจหาและระบุวัตถุที่อยู่บนสุดในภาพ และนอกจากนั้นยังสามารถตรวจหาและระบุวัตถุในภาพได้แบบอัตโนมัติไม่ต้องมีการเรียนรู้ ขาดจำค่าจากการพัฒนาบันก่อน

1.2 วัตถุประสงค์

- 1.2.1 ศึกษาเทคนิคการประมวลผลภาพในการตรวจหาวัตถุในภาพ 2 มิติ
- 1.2.2 ศึกษาเทคนิคการจินตนาภาพและมอร์ฟโโลยีเพื่อตรวจหาวัตถุที่มีการทับซ้อนของวัตถุ
- 1.2.3 ประยุกต์ใช้เทคนิคการประมวลผลเพื่อทำการระบุวัตถุที่อยู่ด้านบนสุดของภาพที่มีการทับซ้อนของวัตถุ

1.3 ขอบเขตงานวิจัย

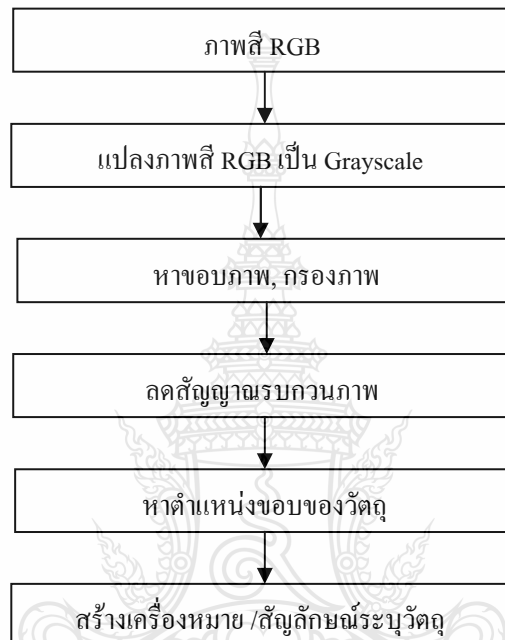
- 1.3.1 สามารถตรวจหาวัตถุที่อยู่ด้านบนสุดในภาพ 2 มิติ ที่มีการทับซ้อนของวัตถุ
- 1.3.2 สามารถระบุตำแหน่งของวัตถุที่อยู่ด้านบนสุด
- 1.3.3 ระบบสามารถให้ประสิทธิภาพของความถูกต้องไม่ต่ำกว่าร้อยละ 80

1.4 ข้อจำกัดงานวิจัย

- 1.4.1 ภาพถ่ายดิจิตอล 2 มิติ ขนาด 480 x 640 พิกเซล
- 1.4.2 ภาพถ่ายที่ใช้ทดสอบเป็นภาพที่มีการทับซ้อนของวัตถุ

1.5 วิธีการดำเนินการวิจัย

ในงานวิจัยนี้ศึกษาและประยุกต์ใช้เทคนิคการประมวลผลภาพกับการค้นหาวัดถุชั้นบนสุดในภาพที่มีการทับซ้อน ใช้การสร้างเครื่องหมาย/สัญลักษณ์เป็นตัวระบุวัดถุที่อยู่ด้านบน ซึ่งสามารถสรุปเป็นขั้นตอนดังนี้



ภาพที่ 1.3 ขั้นตอนการตรวจหาวัตถุที่อยู่ด้านบน

1.6 ประโยชน์ที่คาดว่าจะได้รับ

- 1.6.1 มีความรู้และความเข้าใจในหลักการด้านการประมวลผลภาพ
- 1.6.2 สามารถนำแนวคิดของวิจัยไปประยุกต์ใช้การทำงานของแขนกล ใช้ในการหยิบจับสินค้าด้านบนในกรณีมีการวางทับซ้อนของสินค้า
- 1.6.3 นำไปพัฒนาต่อในการนับจำนวนวัตถุในภาพ ที่มีการทับซ้อนของวัตถุให้สามารถนับจำนวนได้ถูกต้อง

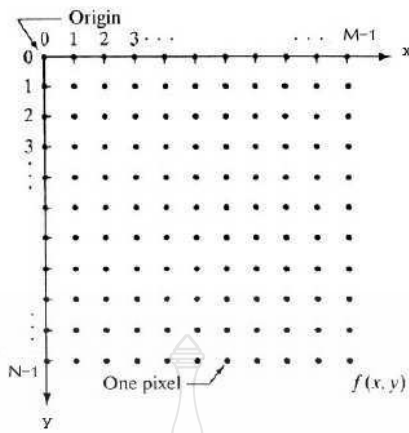
บทที่ 2

ทฤษฎีและงานวิจัยที่เกี่ยวข้อง

ในบทนี้เป็นการนำเสนอหลักการและทฤษฎีทางด้านการประมวลผลสัญญาณภาพที่เกี่ยวข้องกับงานวิจัย เพื่อนำมาประยุกต์ใช้ในการตรวจหาและระบุวัตถุที่อยู่ด้านบนสุดในภาพ 2 มิติ ซึ่งมีความจำเป็นต้องมีความรู้เกี่ยวกับทฤษฎีทางด้านการประมวลผลสัญญาณภาพ เช่น การหาขอบภาพ การกรองสัญญาณ และการปรับปรุงสัญญาณภาพ เป็นต้น

2.1 การประมวลผลภาพดิจิตอล

การประมวลผลภาพดิจิตอล (Digital Image Processing) เป็นกระบวนการที่เกี่ยวข้องกับการแปลงข้อมูลภาพให้อยู่ในรูปแบบข้อมูลดิจิตอล (Digital Format) สามารถนำเอาข้อมูลนี้จัดการผ่านกระบวนการต่างๆ ด้วยโปรแกรมคอมพิวเตอร์ได้ ภาพดิจิตอลเป็นภาพที่ประกอบด้วยจุดภาพเล็กๆ จำนวนมากเรียกว่า พิกเซล (Pixel) โดยใช้ตัวเลขแทนค่าของระดับสีหรือระดับความสว่างของแต่ละพิกเซล ซึ่งสามารถปรับแต่งเพื่อการแสดงผลภาพตามต้องการ ได้ ภาพดิจิตอลมีข้อดีที่สามารถนำข้อมูลมาประมวลผลปรับปรุงคุณภาพของข้อมูลด้วยกระบวนการต่างๆ โดยใช้คอมพิวเตอร์ได้ [1] สามารถอธิบายลักษณะและความหมายของพิกเซล พิกเซล คือ ความเข้มแสงที่รวมกันทำให้เกิดเป็นภาพ ในแต่ละภาพจะประกอบด้วยพิกเซลมากมายที่สร้างขึ้นซึ่งจะมีความหนาแน่นของพิกเซลแตกต่างกันออกไป ความหนาแน่นเป็นตัวบอกถึงความละเอียด (Resolution) ของภาพซึ่งมีหน่วยเป็น ppi (Pixel Per Inch) คือ จำนวนพิกเซลต่อนิ้ว ซึ่งโดยทั่วไปถือว่าภาพที่มีความละเอียดสูงหรือคุณภาพดีจะมีความละเอียด 300×300 ppi ขึ้นไป ยิ่งค่าจำนวนพิกเซลต่อพื้นที่นิ้วยิ่งสูงขึ้น ภาพจะมีความละเอียดและคมชัดมากขึ้น



N = จำนวนพิกเซลที่มากที่สุดในแกน Y

M = จำนวนพิกเซลที่มากที่สุดในแกน X

ภาพที่ 2.1 ตำแหน่งของพิกเซล [1]

สามารถอธิบายได้ในรูปแบบเมตริกซ์ของพิกเซลขนาด $N \times M$ ดังภาพที่ 2.2 โดยใช้ค่าลำดับ $f(i, j)$ แทนค่าแต่ละพิกเซลและค่าเฉลี่ยของความเข้มแสงที่พิกเซลนั้นๆ ของภาพ

	0	\dots	$J \rightarrow M$		
0	$f(0,0)$	$f(0,1)$	$f(0,2)$	$f(0,3)$	$f(0,4)$
1	$f(1,0)$	$f(1,1)$	$f(1,2)$	$f(1,3)$	$f(1,4)$
2	$f(2,0)$	$f(2,1)$	$f(2,2)$	$f(2,3)$	
3	$f(3,0)$	$f(3,1)$	$f(3,2)$		
4	$f(4,0)$	$f(4,1)$	$f(4,2)$		

ภาพที่ 2.2 เมตริกซ์ของพิกเซลในภาพ [1]

2.2 แบบจำลองของสี (Color Model)

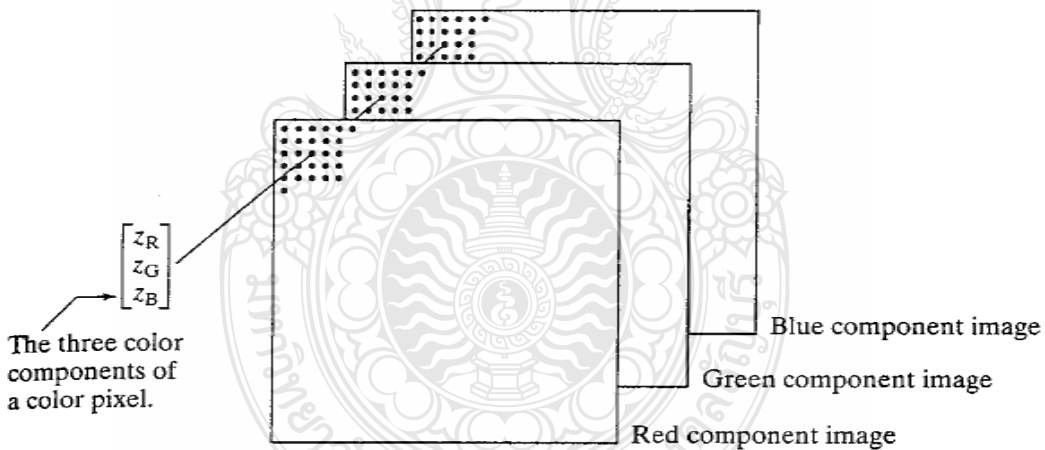
จุดประสงค์ของการสร้างแบบจำลองของสี (Color Model) หรือเรียกว่า Color Space หรือ Color Systems เพื่อใช้ในการระบุสีตามมาตรฐานให้สะดวกและง่ายขึ้น ด้วยวิธีการที่ยอมรับ

โดยทั่วไป สิ่งสำคัญของแบบจำลองสี คือ การระบุความสัมพันธ์ และค่าเฉพาะในระบบนั้นๆ ว่าสีที่ได้ถูกกำหนดค่าได้ไว้ที่จุดนั้นๆ

แบบจำลองสีที่ใช้อยู่ในปัจจุบันได้ถูกนำมาใช้ทั้งในอุปกรณ์หารดแวร์ เช่น จอคอมพิวเตอร์ เครื่องพิมพ์ หรือการประยุกต์ใช้ไดๆ คือตามที่มีเป้าหมายในเรื่องของสี อย่างเช่น การสร้างสีในการ์ตูน แอนนิเมชัน ในกระบวนการแบบจำลองสีที่ถูกนำมาใช้มากที่สุด คือ RGB (Red, Green, Blue) ซึ่งถูกนำมาใช้กับจอคอมพิวเตอร์และกล้องวิดิโอ ส่วนแบบจำลองสี CMY (Cyan, Magenta, Yellow) กับแบบจำลองสี CMYK (Cyan, Magenta, Yellow, Black) จะนำมาใช้ในระบบเครื่องพิมพ์ และแบบจำลองสี HSI (Hue, Saturation, Intensity) ที่เป็นแบบจำลองที่มีความใกล้เคียงกับการแปลงค่าสีของมนุษย์มากที่สุด โดยที่แบบจำลอง HSI นั้นมีข้อดี คือ มีข้อมูลของรูปภาพทั้งที่เป็นภาพสีและภาพขาวดำ

2.2.1 ภาพ RGB

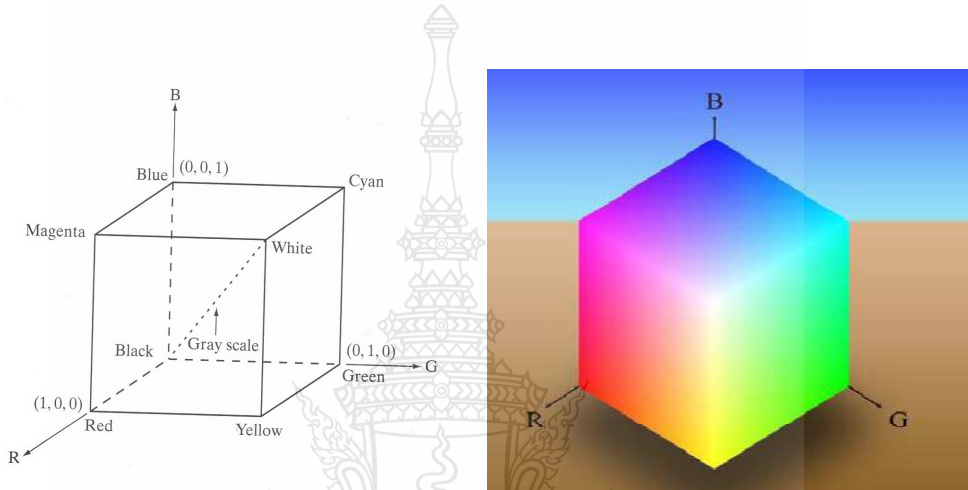
ภาพ RGB คือ ชุดการเรียงลำดับของพิกเซล สี $M \times N \times 3$ ซึ่งแต่ละพิกเซลสี ค่าความสัมพันธ์ทั้งสามขององค์ประกอบ คือ สีแดง สีเขียว สีน้ำเงิน ที่กำหนดไว้ภาพที่ 2.3



ภาพที่ 2.3 องค์ประกอบของภาพ RGB [2]

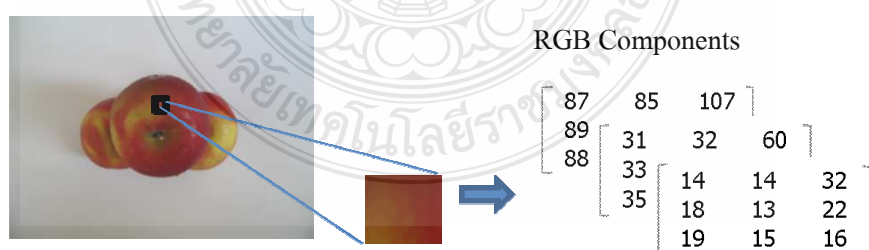
ภาพสี RGB สามารถแสดงผลในแบบของแผ่นช้อนทับของภาพสี 3 ภาพ เมื่อสีแดง สีเขียว สีน้ำเงิน ถูกส่งไปยังจอภาพสีเพื่อสร้างภาพสีบนจอภาพ โดยระบบแล้วการเกิดภาพสี RGB นั้นจะอ้างอิงถึงองค์ประกอบของสีแดง เขียว และน้ำเงินของภาพนั้นๆ การแบ่งกลุ่มข้อมูลขององค์ประกอบสีเขียวอยู่กับช่วงระยะที่กำหนดของข้อมูล กลุ่มข้อมูลของภาพ RGB จะเป็นแบบสองเท่า ช่วงค่าข้อมูล

จะเท่ากับ $[0, 1]$ และเข่นเดียวกันถ้าช่วงข้อมูลที่ $[0, 255]$ หรือ $[0, 65535]$ กลุ่มของภาพจะเป็น Unit 8 หรือ Unit 16 ตามลำดับ จะใช้จำนวนบิตเป็นค่าพิกเซลขององค์ประกอบสี เพื่อใช้ตัดสินค่า Bit Depth ของภาพ เช่น ในแต่ละองค์ประกอบสีมีค่าเท่ากับ 8 บิต ค่าความล้มเหลว RGB จะมีค่า 24 Bit Depth โดยทั่วไปแล้วจำนวนของบิต ในทุกองค์ประกอบภาพจะมีค่าเท่ากัน ในกรณีจำนวนสีที่เป็นไปได้ในภาพ RGB จะมีค่า $(2^8)^3$ โดย ๖ จำนวนของบิตในแต่ละองค์ประกอบภาพ ในกรณีของ 8 บิต จะมีค่าเท่ากับ 16,777,216 สี [3]



ภาพที่ 2.4 สีขั้นปฐมภูมิกับสีขั้นทุดิยภูมิ และลักษณะสีของ RGB Color Cube [3]

โดยลักษณะการเก็บข้อมูลของภาพ RGB จะเป็นลักษณะของเมตริกซ์ของค่าสีแดง สีเขียว และสีน้ำเงิน โดยภาพ RGB แสดงตัวอย่างของค่าพิกเซล ได้ดังภาพที่ 2.5



ภาพที่ 2.5 ภาพเชิงดิจิตอลประเภท RGB Image

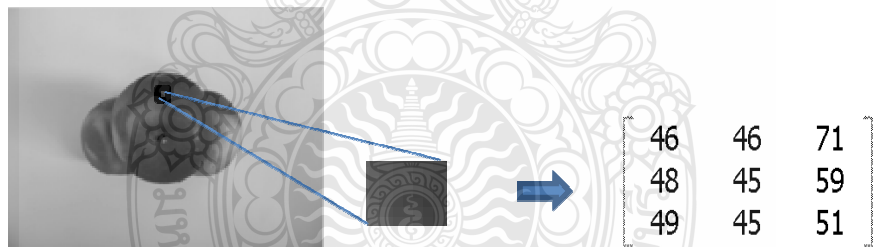
2.2.2 ภาพสีเทา (Gray Image)

ค่าในแต่ละพิกเซลของภาพสีเทา คือ ค่าความเข้มของแสง ณ แต่ละตำแหน่งของพิกเซลซึ่งจะอยู่ในภาพของภาพขาวดำระดับสีเทา ดังภาพที่ 2.6 ขั้นตอนการแปลงภาพสีให้เป็นภาพขาวดำระดับสีเทา ทำได้โดยแยกระดับสีแต่ละพิกเซลออกจากกันในภาพแบบสี RGB จากนั้นนำค่าสี RGB มาเข้าสู่สมการ เพื่อคำนวณหาค่าสีเทาและนำค่าที่ได้ไปแทนที่จุดพิกเซลเดิม โดยคำนวณได้จากสมการดังต่อไปนี้

$$G' = 0.3R + 0.59G + 0.11B \quad (2.1)$$

$$\text{หรือ} \quad G' = (R+G+B) / 3 \quad (2.2)$$

โดยกำหนดให้
 G' คือ ค่าระดับสีเทา
 R คือ ค่าระดับสีแดง
 G คือ ค่าระดับสีเขียว
 B คือ ค่าระดับสีน้ำเงิน

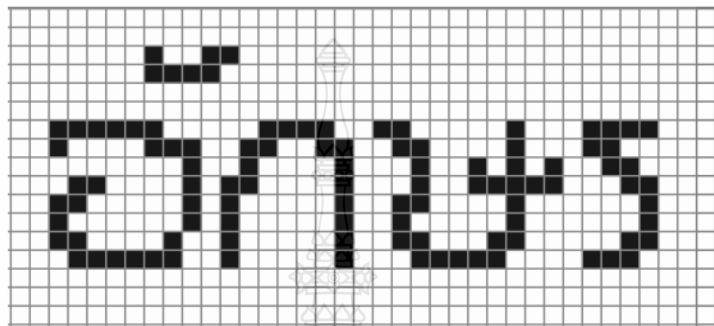


ภาพที่ 2.6 ภาพเชิงคณิตอลประเกตราะดับสีเทา

2.2.3 ภาพไบนารี (Binary Image)

ภาพไบนารี คือ ภาพซึ่งในแต่ละพิกเซลจะมีความเข้มส่องระดับ คือ ขาวกับดำ โดยถูกแทนด้วยเลข 0 และ 1 ด้วยความเข้มของแสงเพียงสองระดับ ภาพไบนารีจึงมีข้อจำกัดที่จะนำภาพมาใช้แสดงภาพโดยทั่วๆ ไป แต่ทำให้การประมวลผลทำได้รวดเร็วและมีประสิทธิภาพ การประมวลผลภาพไบนารีนำไปใช้มากในการประมวลผลเอกสารและการประมวลผลที่ต้องการความเร็วสูง เช่น การนับจำนวนชื่นส่วนที่อยู่บนสายพานที่กำลังเคลื่อนที่ เป็นต้น การมีความเข้มเพียงสองระดับใน

ภาพใบหนารีทำให้สามารถเลือกที่จะพิจารณาให้ความเข้มระดับหนึ่งแทนภาพของสิ่งที่เราสนใจ โดยเรียกพิกเซลที่มีความเข้มระดับนี้ว่า พิกเซลภาพและความเข้มอีกรอบดับแทนพื้นหลัง ใน การพิจารณาภาพใบหนารีจะไม่สนใจแต่ละพิกเซลที่แยกกัน แต่เราจะสนใจกลุ่มของพิกเซลที่อยู่ติดกัน เช่น กลุ่มของพิกเซลที่เรียงกันเป็นตัวอักษร



ภาพที่ 2.7 ลักษณะภาพใบหนารีที่แสดงกลุ่มของพิกเซลภาพที่ประกอบเป็นตัวอักษร [1]

การสร้างภาพใบหนารีทำได้โดยใช้เทคนิคการทำเทρช์ไฮลด์ (Thresholding Technique) โดยพิจารณาว่าพิกเซลใดเป็นสีขาวหรือสีดำ โดยทำการเปรียบเทียบระหว่างพิกเซลของภาพเริ่มต้นกับค่าคงที่ค่าหนึ่งที่เรียกว่า “ค่าเทρช์ไฮลด์” (Threshold Value) ข้อมูลภาพจะมีลักษณะที่ต่างกันระหว่างวัตถุ (Object) และพื้นหลัง (Background) โดยค่าของพิกเซลของภาพใดๆ ที่มีค่ามากกว่าหรือเท่ากับค่าเทρช์ไฮลด์จะถูกเปลี่ยนเป็น 0 (สีดำ) ในการสร้างภาพใบหนารีโดยใช้เทคนิคเทρช์ไฮลด์เพื่อให้ได้ผลลัพธ์ที่เหมาะสมและคมชัด ลิ่งที่สำคัญที่สุด คือ ค่าเทρช์ไฮลด์ เนื่องจากถ้าเลือกค่าเทρช์ไฮลด์ที่ไม่เหมาะสม (ค่าเทρช์ไฮลด์ที่น้อยเกินไปหรือมากเกินไป) ภาพที่ได้จะไม่สามารถทำที่ควร ดังนั้นปัญหาของการสร้างภาพใบหนารี คือ การกำหนดค่าเทρช์ไฮลด์ที่เหมาะสม ภาพที่จะนำมาทำการสร้างเป็นภาพใบหนารีมีวิธีการคำนวณหาค่าเทρช์ไฮลด์ได้หลายวิธี โดยแต่ละวิธีเหมาะสมกับลักษณะการทำงานที่แตกต่างกันไปแต่ละวิธีอธิบายได้ดังนี้

ก) การหาค่าเทρช์ไฮลด์โดยการกำหนดค่าล่วงหน้า (Pre-Assigned Threshold Value) เป็นการกำหนดค่าเทρช์ไฮลด์โดยการกำหนดค่าเองจากผู้ใช้ ซึ่งการกำหนดนี้จะขึ้นอยู่กับประสบการณ์ของผู้ใช้ โดยการเลือกค่าคงที่ค่าหนึ่งซึ่งเรียกว่า ค่าเทρช์ไฮลด์ ค่าที่เลือกมาจะเป็นค่าที่อยู่ระหว่างค่าต่ำสุด และค่าสูงสุดของระดับความเข้มแสงของภาพ เช่น ภาพอินพุทมีระดับความเข้มแสง 256 ระดับ ก็จะมีค่าได้ตั้งแต่ 0 - 255 เมื่อเลือกค่าเทρช์ไฮลด์ได้แล้วก็สามารถสร้างภาพใบหนารีได้

ข) การหาค่าเท rhez ไฮลจากค่ากลาง (Mid-Range Threshold Value) คือ การหาค่าเท rhez ไฮล โดยอัตโนมัติโดยไม่ต้องให้ผู้ใช้เป็นผู้กำหนด การหาค่าเท rhez ไฮลนี้ใช้วิธีทางสถิติ คือ การหาค่ากลางหรือค่าเฉลี่ย (Mean) ค่าเท rhez ไฮลที่คำนวณได้จากค่ากึ่งกลางที่อยู่ระหว่างค่าระดับความเข้มสูงสุด (Maximum Level) และระดับความเข้มต่ำสุด (Minimum Level) ของภาพเพื่อนำมาทำการคำนวณค่าเท rhez ไฮลได้แล้วก็สามารถสร้างภาพใบหนารีได้โดยนำค่าเท rhez ไฮลที่ได้มาใช้

2.3 การแยกภาพออกเป็นส่วน (Image Segmentation)

การแยกบริเวณของภาพนั้นๆ จะทำให้ได้ภาพที่เป็นวัตถุที่สนใจออกจากพื้นหลัง ที่จะทำให้ทราบว่าในภาพมีวัตถุอยู่กี่ชิ้นและพิกเซลใดเป็นของวัตถุชิ้นใด ซึ่งกระบวนการดังกล่าวเป็นพื้นฐานของการประมวลผลภาพที่จะนำไปสู่การตัดสินใจเกี่ยวกับคุณภาพของผลิตภัณฑ์ต่อไป วิธีการแยกบริเวณแบ่งออกเป็น 3 ประเภท หลักๆ คือ

2.3.1 Amplitude Segmentation Method

เป็นวิธีการแยกองค์ประกอบของภาพ โดยดูจากความเหมือนกันของคุณสมบัติของพิกเซลภายในพื้นที่เพียงอย่างเดียว เช่น วิธีการ Intensity Thresholding เป็นการแยกແยะวัตถุจากฉากหลัง โดยดูจาก Intensity ของพิกเซลเป็นหลัก ข้อดีของวิธีการนี้ คือ มีขั้นตอนในการทำงานที่ง่ายไม่ซับซ้อน ทำงานได้รวดเร็ว ส่วนข้อเสีย คือ ไม่สามารถใช้กับภาพที่มีสัญญาณรบกวนมากหรือภาพที่มีความสว่างไม่สม่ำเสมอ

2.3.2 Region Segmentation Method

เป็นวิธีการแยกองค์ประกอบของภาพ โดยดูจากตำแหน่งของพิกเซลและความเหมือนกันของคุณสมบัติของพิกเซลภายในพื้นที่หลัก โดยถ้าพิกเซลที่อยู่ติดกันและมีคุณสมบัติเหมือนกันจะถูกจัดกลุ่มเดียวกัน ข้อดีของการทำเช่นนี้จะ ได้พื้นที่ต่อเนื่อง ข้อเสียของวิธีการนี้ คือ การกำหนดกฎเกณฑ์ที่เหมาะสมที่ใช้ตรวจสอบว่าพิกเซลนั้นที่มีคุณสมบัติเหมือนกันเพื่อใช้ในการรวมกลุ่มเข้าด้วยกันทำได้ยาก วิธีการเหล่านี้อาจลอกอริทึม โครงสร้างข้อมูลที่ซับซ้อน และการประมวลผลที่ใช้เวลานาน

2.3.3 Edge Segmentation Method

เป็นวิธีการแยกองค์ประกอบของภาพ โดยอาศัยความไม่ต่อเนื่องของคุณสมบัติของพิกเซลที่บริเวณขอบของวัตถุดังนั้น ข้อดีของวิธีการนี้ คือ มุ่งที่จะตรวจหาขอบของวัตถุ ทำให้มีความเร็วในการประมวลผล เพราะวิธีการนี้ใช้เฉพาะข้อมูลบริเวณขอบของวัตถุเท่านั้น ส่วนข้อเสียของวิธีการนี้

คือ ผลลัพธ์ที่ได้จะอยู่ในรูปของ “ขอบ” ของวัตถุซึ่งอาจจะต้องผ่านกระบวนการอื่นๆ จึงจะสามารถใช้งานได้ นอกจากนี้ขอบของวัตถุที่ได้อาจไม่ต่อเนื่องถ้าวัตถุมีสีที่ไม่สม่ำเสมอ

2.4 การค้นหาขอบภาพ (Edge Detection)

หลักการประมวลผลภาพ คือ การประมวลผลสัญญาณบนสัญญาณ 2 มิติ เช่น ภาพนิ่ง (ภาพถ่าย) หรือภาพเคลื่อนไหว (วีดีโอ) และบั้งรวมถึงสัญญาณ 2 มิติ อื่นๆ ที่ไม่ใช่ภาพ วิธีบันทึกข้อมูลของภาพสำหรับการวัดจัดเก็บในรูปแบบของค่าพิกเซล การแยกวัตถุ 2 วัตถุ ออกจากกันหรือแยกออกจากพื้นหลัง (Background) ต้องใช้การค้นหาขอบวัตถุที่อยู่ในภาพนั้น การค้นหาขอบภาพ คือ การหาเส้นรอบรูปที่เกิดจากความสว่างของภาพที่เปลี่ยนไปทันที โดยดูจากขนาดหรืออัตราการเปลี่ยนขนาด การค้นหาขอบภาพเป็นการดึงส่วนประกอบของภาพที่มีจุดเด่นออกจากพื้นหลัง มีวิธีการแยกได้สองลักษณะ คือ การค้นหาขอบภาพโดยใช้ออนุพันธ์อันดับหนึ่ง (Gradient Method) และการค้นหาขอบภาพโดยใช้ออนุพันธ์อันดับสอง (Laplacian Method) [4]

2.4.1 การค้นหาขอบภาพโดยใช้ออนุพันธ์อันดับหนึ่ง

วิธีการค้นหาขอบภาพโดยใช้ออนุพันธ์อันดับหนึ่ง (Gradient Operator: ∇) มีหลักการ คือ บริเวณขอบของวัตถุในภาพ (เมื่อ $P(x, y)$ ฟังก์ชันของภาพ) จะมีค่าเกรเดียนต์ที่สูงการพิจารณาขนาดของเกรเดียนต์ (Gradient Magnitude: $|\nabla P|$) เปรียบเทียบกับค่าอ้างอิง (Threshold: T) ที่กำหนดขึ้นเมื่อค่าของ $|\nabla P|$ มีค่ามากกว่าค่าอ้างอิงแสดงว่าจุดดังกล่าว คือ ขอบของวัตถุที่ปรากฏบนภาพที่จุด $P(x, y)$ การค้นหาขอบของวัตถุโดยใช้ออนุพันธ์อันดับหนึ่งเป็นวิธีการแยกส่วนประกอบของภาพ และเมื่อความไม่ต่อเนื่องของค่าพิกเซลบริเวณรอยต่อระหว่างวัตถุกับพื้นหลัง และค่าอนุพันธ์ย่อยที่ไม่ต่อเนื่องตามทิศทางของเกรเดียนต์ของแนวแกน x และแกน y กำหนดค่าได้ดังสมการที่ 2.3 และ 2.4

$$\nabla_x P(x, y) = P(x, y) - P(x - 1, y) \quad (2.3)$$

$$\text{และ} \quad \nabla_y P(x, y) = P(x, y) - P(x, y - 1) \quad (2.4)$$

ขนาดของเกรเดียนต์ ของ $P(x, y)$ กำหนดค่าได้จาก

$$|\nabla P(x, y)| = \sqrt{(\nabla_x P(x, y))^2 + (\nabla_y P(x, y))^2} \quad (2.5)$$

เพื่อให้ง่ายต่อการคำนวณ ประมาณค่าขนาดของกรเดียนต์ ได้ว่า

$$|\nabla P(x, y)| = |(\nabla_x P(x, y))| - |(\nabla_y P(x, y))| \quad (2.6)$$

การค้นหาขอบภาพที่มีองค์ประกอบของเส้นตรงสามารถดำเนินการได้หลายวิธี คือ Sobel, Prewitt, Robert และ Canny ยกตัวอย่างเช่น วิธี Canny Edge Detection เป็นวิธีการแบ่งออกเป็นส่วนย่อยในแต่ละพิกเซล กำหนดครูปแบบการเปลี่ยนแปลงภาพให้มีความเรียบด้วยตัวกรองเกาส์เซียนก่อนคำนวณขนาด และทิศทางของกรเดียนต์ขึ้นมา ค่าของ Mask กำหนดค่าได้ดังสมการที่ 2.7 และ 2.8

$$Mask(E_x) = \begin{pmatrix} Z_{x1} & Z_{x2} & Z_{x3} \\ Z_{x4} & Z_{x5} & Z_{x6} \\ Z_{x7} & Z_{x8} & Z_{x9} \end{pmatrix} = E_x = \begin{pmatrix} -1 & 0 & 1 \\ -2 & 0 & 2 \\ -1 & 0 & 1 \end{pmatrix} \quad (2.7)$$

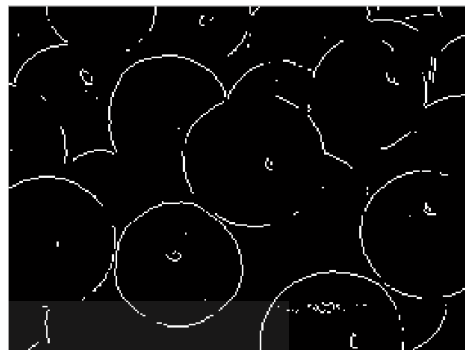
$$Mask(E_y) = \begin{pmatrix} Z_{y1} & Z_{y2} & Z_{y3} \\ Z_{y4} & Z_{y5} & Z_{y6} \\ Z_{y7} & Z_{y8} & Z_{y9} \end{pmatrix} = E_y = \begin{pmatrix} -1 & -2 & -1 \\ 0 & 0 & 0 \\ 1 & 2 & 1 \end{pmatrix} \quad (2.8)$$

กำหนดให้ขนาดของ Mask เท่ากับ 3×3 และมีค่าเท่ากับ E_x และ E_y หาก่อนพันธ์อันดับหนึ่งของส่วน $\frac{\partial P}{\partial x}$ และของส่วน $\frac{\partial P}{\partial y}$ ขนาดของกรเดียนต์หาได้จากสมการที่ 2.9

$$M(i, j) = \sqrt{E_x^2(i, j) + E_y^2(i, j)} \quad (2.9)$$



(ก) ภาพต้นฉบับ



(ข) การหาขอบภาพโดยวิธี Sobel

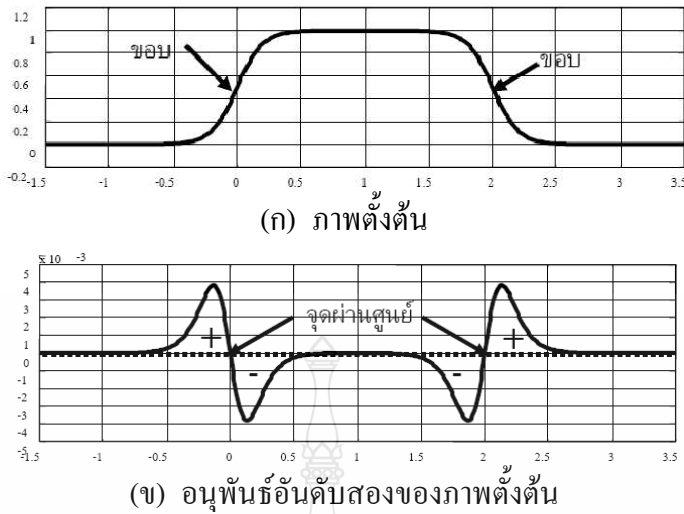
ภาพที่ 2.8 การหาขอบภาพโดยใช้อุปนัยอันดับหนึ่ง

2.4.2 การคืนหาขอบภาพโดยใช้อุปนัยอันดับสอง

การหาขอบภาพโดยใช้อุปนัยอันดับสองทางของภาพมี 2 วิธี คือ Zero Crossing และ Laplacian of a Gaussian (LOG) การคืนหาขอบภาพโดยใช้อุปนัยอันดับสองเปรียบได้กับการทำอุปนัยอันดับสองของภาพเพื่อให้ได้ขอบของภาพ โดยภาพที่ผ่านขั้นตอนการทำอุปนัยอันดับสอง (Laplacian Operator: $\nabla^2 P$) บริเวณที่เป็นส่วนของขอบจะเด่นชัดขึ้น ประมาณค่าของ $\nabla^2 P$ โดยใช้ Mask ของสมการที่ 2.7 และ 2.8 ซึ่งจะทำให้ตำแหน่งของบริเวณขอบของวัตถุในภาพเกิดจากค่าจุดผ่านศูนย์ (Zero Crossing) ของ $\nabla^2 P$ การหาอุปนัยอันดับสองสามารถหาได้จากการคำนวณค่าของ $\nabla^2 P$ ตามสมการที่ 2.10

$$\nabla^2 P = \frac{\partial^2 P}{\partial x^2} + \frac{\partial^2 P}{\partial y^2} \quad (2.10)$$

การคืนหาขอบภาพด้วยอุปนัยอันดับสอง เมื่อทำ $\nabla^2 P$ บริเวณขอบจะมีตำแหน่งเดียวกับค่าจุดผ่านศูนย์กลางของค่าจาก $\nabla^2 P$ พิจารณาได้จากตำแหน่งที่พิกเซลเปลี่ยนแปลงจากค่าที่เป็นบวกเป็นค่าที่เป็นลบหรือจากค่าที่เป็นลบไปเป็นค่าที่เป็นบวก ดังภาพที่ 2.9



ภาพที่ 2.9 ลักษณะการหาข้อบกพร่องโดยใช้อนุพันธ์อันดับสอง [4]



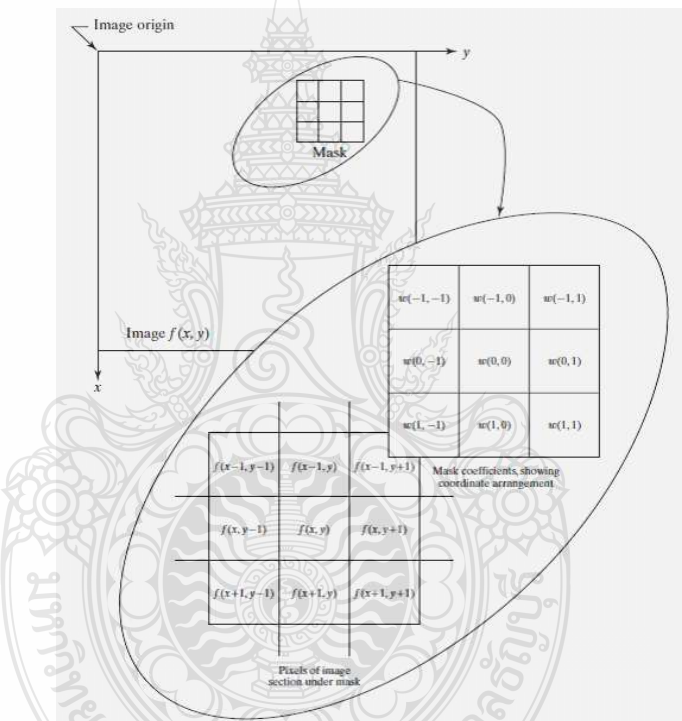
ภาพที่ 2.10 การหาข้อบกพร่องโดยใช้อนุพันธ์อันดับสอง

การหาข้อบกพร่องโดยใช้อนุพันธ์อันดับสอง ไม่สนใจทิศทางภาพในแนวแกน x และ y กำหนดค่า y เป็นจุดผ่านศูนย์ วิธีนี้ใช้เวลาในการคำนวณมากกว่าการค้นหาข้อบกพร่องโดยใช้อนุพันธ์อันดับหนึ่ง กล่าวคือ เราสามารถตรวจจับความไม่ต่อเนื่องของพิกเซลในโคลเมนรูปภาพได้โดยใช้อนุพันธ์ของพานิชเอง

2.5 การกรองข้อมูลภาพ (Image Filtering)

การกรองข้อมูลภาพ คือ การนำภาพไปผ่านตัวกรองสัญญาณเพื่อให้ได้ภาพผลลัพธ์ออกมาภาพผลลัพธ์ที่ได้จะมีคุณสมบัติแตกต่างจากภาพเริ่มต้น วัตถุประสงค์หลักของการกรองข้อมูลภาพ คือ การเน้น (Enhance) หรือลดthon (Attenuate) คุณสมบัติบางประการของภาพเพื่อให้ได้ภาพที่มีคุณสมบัติตามต้องการ

การกรองข้อมูลภาพ คือ การประมวลผลภาพอย่างหนึ่งที่จำเป็นมาก เนื่องจากการใช้งานจริงภาพที่ได้มาจะมีสัญญาณรบกวน หรือสัญญาณไม่พึงประสงค์อื่นๆ มาปะปนอยู่ด้วย การกรองข้อมูลภาพสามารถปรับปรุงให้ภาพมีคุณสมบัติที่ดีขึ้นเหมาะสมแก่การประมวลผล ดังภาพที่ 2.11



ภาพที่ 2.11 การกรองข้อมูลภาพ [3]

องค์ประกอบสำคัญของการกรองข้อมูลภาพ คือ ตัวกรอง ซึ่งคุณสมบัติของตัวกรองเป็นตัวกำหนดคุณสมบัติของภาพผลลัพธ์ เราอาจมองข้อมูลของภาพฯ หนึ่งให้เป็นสัญญาณฯ หนึ่งได้ด้วยการกำหนดให้ระดับความเข้มแสงของแต่ละจุด คือ ขนาด (Amplitude) ของสัญญาณ ณ ตำแหน่งนั้นๆ

การเปลี่ยนแปลงของข้อมูลภาพเป็นการเปลี่ยนแปลงเทียบกับตำแหน่งของจุดภาพ ความถี่ของการเปลี่ยนแปลงขึ้นอยู่กับอัตราการเปลี่ยนระดับความเข้มแสงของจุดที่อยู่ติดกันไป ตัวกรอง คือ

ระบบฯ หนึ่งซึ่งรับสัญญาณเข้ามาทำการประมวลผลสัญญาณและส่งสัญญาณออก โดยทั่วไปตัวกรองจะถูกสร้างให้เป็นระบบเชิงเส้น (Linear System) เนื่องจากออกแบบได้ง่ายและมีประสิทธิภาพดีปัจจุบันมีทฤษฎีและเทคนิคมากมายเกี่ยวกับการออกแบบแบบตัวกรองสัญญาณแบบระบบเชิงเส้น

ในการกรองข้อมูลภาพจะพิจารณาว่าภาพ คือ สัญญาณ 2 มิติ ที่ประกอบขึ้นจากสัญญาณความถี่ต่างๆ ผสมกันอยู่ในสัดส่วนที่ต่างกัน การออกแบบตัวกรองจึงเป็นการกำหนดว่าเราต้องการกำจัดสัญญาณความถี่ใดออกไปหรือต้องการเลือกใช้สัญญาณความถี่ใด

ในการกรองสัญญาณใดๆ เราจะต้องทราบความถี่หรือช่วงความถี่ของสัญญาณที่เราต้องการและสัญญาณที่เราไม่ต้องการ จากนั้นเราจะเลือกตัวกรองที่เหมาะสมมาใช้เพื่อจำกัดสัญญาณที่ไม่ต้องการออกหรือเน้นสัญญาณที่ต้องการให้เด่นชัดยิ่งขึ้น

2.5.1 การกรองโดยการเฉลี่ยจากหลายภาพ หากเรามีชุดของภาพคุณภาพต่างๆ ภาพซึ่งถ่ายภาพจากมุมกล้องเดียวกัน เราสามารถสร้างภาพใหม่ที่มีคุณภาพสูงกว่าจากชุดภาพนั้นได้ หากสัญญาณรบกวนเกิดขึ้นแบบสุ่มภาพที่เก็บ แต่ละครั้งย่อมมีลักษณะต่างกัน หากความเข้มแสงของจุดในภาพหนึ่งถูกรบกวนเราสามารถนำข้อมูลความเข้มแสงของจุดจากภาพอื่นๆ ณ ตำแหน่งเดียวกันมาแทน แต่ละจุดในภาพผลลัพธ์ที่ได้ จะเกิดจากการเฉลี่ย จากจุดที่ตรงกันของภาพต่างๆ ในชุดภาพ

2.5.2 การกรองข้อมูลโดยใช้ค่าเฉลี่ยแบบคณิตศาสตร์ (Mean Filtering) วิธีการนี้จะใช้ค่าเฉลี่ยแบบคณิตศาสตร์ของจุดทั้งหมด วิธีนี้เป็นการลดทอนสัญญาณรบกวน ภาพที่ได้จะมีสัญญาณรบกวนลดลง หากมีภาพขนาด $N \times M$ ทั้งหมด K ภาพ เราสามารถคำนวณหาภาพใหม่ได้

$$\hat{I}(x, y) = \frac{1}{K} \sum_{j=1}^K I_j(x, y) \quad (2.11)$$

$\hat{I}(x, y)$ คือ ความเข้มแสงของจุด ณ ตำแหน่ง (x, y) ในภาพผลลัพธ์

$I_j(x, y)$ คือ ความเข้มแสงของจุด ณ ตำแหน่ง (x, y) ในภาพที่ j

2.5.3 การกรองข้อมูลภาพโดยใช้ค่ามัธยฐาน (Median Filtering) วิธีการนี้จะนำเอาความเข้มแสงของจุดที่ตรงกันในภาพต่างๆ มาเรียงลำดับ (Sort) จากน้อยไปมากจากนั้นจะเลือกค่าที่อยู่ตรงกลางไปใช้ หากจำนวนภาพทั้งหมดเป็นจำนวนคู่ ค่าทั้งสองอยู่ที่ตรงกลางจะนำมาหาค่าเฉลี่ย วิธีการนี้จะต้องใช้การเรียงลำดับซึ่งเป็นกระบวนการที่ใช้เวลาในการคำนวณสูง แต่ข้อดี คือ ไม่สูญเสียความคมชัด

2.5.4 การกรองข้อมูลภาพโดยใช้ค่า尼ยม (Modal Filtering) วิธีการนี้คือถ้ากับวิธีใช้ค่ามัธยฐานแต่ไม่ใช้การเรียงลำดับข้อมูลระดับความเข้มแสงที่ใช้บอยที่สุดจะถูกเลือกไปใช้ วิธีนี้สามารถให้ผลคะแนนเดียง ผู้ที่ได้คะแนนเดียงสูงที่สุด คือ ผู้ชนะ วิธีนี้เหมาะสมสำหรับการลดสัญญาณรบกวนที่เกิดขึ้นไม่บอย

2.5.5 การกรองโดยใช้หน้าต่าง การกรองข้อมูลภาพวิธีนี้จะใช้หน้าต่างในการกำหนดขอบเขตของการพิจารณาเพื่อหาระดับความเข้มแสงของจุดต่างๆ ในภาพผลลัพธ์ ความเข้มของแสงที่อยู่จุดรอบๆ จุดกึ่งกลางของหน้าต่างจะถูกนำมาหาค่าเฉลี่ย ค่าเฉลี่ยที่ได้ คือ ค่าความเข้มแสงของจุดในภาพผลลัพธ์หน้าต่างจะถูกเลื่อนไปยังตำแหน่งต่างๆ ในภาพจนครบทุกจุด

2.5.6 การกรองโดยวิธีคอนโวลูชัน (Convolution Filtering) วิธีการกรองข้อมูลภาพที่กล่าวมา ส่วนใหญ่อาศัยหลักของการหาค่าเฉลี่ยของจุดเดียวกันจากหลายภาพ หรืออาจจะเป็นการหาค่าเฉลี่ยจากจุดต่างๆ ที่อยู่รอบๆ จุดที่เราสนใจ เนื่องจากการหาค่าเฉลี่ยเป็นการลดการเปลี่ยนแปลงของข้อมูล วิธีการที่ผ่านมาจึงใช้ได้กับการจำจัดสัญญาณรบกวนที่เป็นสัญญาณความถี่สูง ดังที่ได้กล่าวมาแล้ว ว่าการกรองสัญญาณมีวัตถุประสงค์เพื่อเน้นคุณสมบัติบางอย่างที่ต้องการในภาพให้เด่นชัดขึ้นในขณะที่ลดทอนคุณสมบัติที่ไม่ต้องการลง หากเราต้องการเน้นการเปลี่ยนแปลงของระดับความเข้มของจุดต่างๆ ภายในภาพให้เด่นชัดขึ้น ในที่นี้จะเสนอ กับการกรองสัญญาณความถี่สูงผ่าน เราจะไม่สามารถใช้วิธีการหาค่าเฉลี่ยได้ วิธีที่สามารถนำมาใช้ได้ คือ การคอนโวลูชัน ซึ่งเป็นการกระทำกันระหว่างเทมเพลต (Template) กับภาพ (Image) เทมเพลต คือ เมตริกซ์ขนาด $N \times M$ ของชุดตัวเลขที่จะนำไปซ้อนทับกับภาพที่ต้องการ เพื่อหาผลลัพธ์ของการคอนโวลูชัน กำหนดให้เทมเพลต $T(i, j)$ เป็นเทมเพลตกับภาพ โดย $\hat{I}(X, Y)$ คือ ภาพผลลัพธ์จากการคอนโวลูชันสามารถแสดงได้ดังสมการที่ 2.12

$$\hat{I}(X, Y) = T^* I = \sum_{i=0}^{n-1} \sum_{j=0}^{m-1} T(i, j) \cdot I(X - i, Y - j) \quad (2.12)$$

จากสมการที่ 2.12 จะเห็นว่าระดับความเข้มแสง ณ จุด (X, Y) ในภาพผลลัพธ์ได้จากการหาผลรวมของผลคูณระหว่างค่าในเทมเพลตกับค่าระดับความเข้มแสงของภาพในบริเวณที่เทมเพลตซ้อนทับอยู่จากการคำนวณ ตัวซึ่งตำแหน่งจุดในภาพ $(X - i, Y - j)$ และแสดงให้เห็นว่ามีการพลิกเทมเพลตทางแนวนอน และแกนตั้ง ดังสมการที่ 2.13 แสดงการคอนโวลูชันที่ไม่ต้องมีการพลิกเทมเพลต ซึ่งวิธีการนี้มีชื่อที่แท้จริงว่า Cross-Correlation และเป็นที่นิยมใช้ในด้านการประมวลผลภาพ

$$\hat{I}(X, Y) = T^* I = \sum_{i=0}^{n-1} \sum_{j=0}^{m-1} T(i, j) I(X+i, Y+j) \quad (2.13)$$

ขั้นตอนจะประกอบด้วยการเลื่อน การบวก และการคูณ เราสามารถใช้การคูณโวลุชันในการประมวลผลภาพได้ในหลายลักษณะ เช่น การกรองสัญญาณภาพการหาข้อความหรือการหารูปทรงของวัตถุในภาพ เป็นต้น

2.6 การปรับปรุงขอบภาพ

2.6.1 กระบวนการมอร์โฟโลยี (Morphology Processing)

มอร์โฟโลยีจัดเป็นคณิตศาสตร์แขนงหนึ่งที่อยู่ในพากของพีชคณิต ที่สามารถนำมาใช้ในการประมวลผลภาพได้อย่างมีประสิทธิภาพ เนื่องจากตัวดำเนินการของมันสามารถสร้างขึ้นมาให้เหมาะสมตามลักษณะการใช้งาน และสามารถจำแนกวัตถุที่มีรูปร่างต่างกันในภาพอย่างมีเหตุผลผู้ที่ริเริ่มน้ำทางญี่ปุ่นมาใช้ คือ Hadwiger โดยในช่วงแรกๆ จะใช้การประมวลผลกับเซตที่มีค่าเป็นจริงกับเท็จ ซึ่งต่อมาได้มีผู้พัฒนานำมาใช้กับการประมวลผลภาพในนารี และได้พัฒนาเรื่อยจนสามารถนำมาใช้กับภาพเกรย์สเกล โดยมอร์โฟโลยีมี 2 ส่วน คือ การขยายพิกเซล (Dilation) และการลดหรือการกัดกร่อน (Erosion) ในที่นี้จะอธิบายเฉพาะการทำกระบวนการรูปร่างลักษณะสำหรับข้อมูลภาพแบบขาวดำกระบวนการรูปร่างลักษณะจะคล้ายกับการทำคูณโวลุชัน ซึ่งจะต้องใช้ Mask Coefficient แต่ในการกระทำนี้จะเรียกว่า Structure Element (SE) การทำการรูปร่างลักษณะมีได้หลายแบบด้วยกันตัวอย่าง เช่น การขยายพิกเซล การลดขนาดพิกเซล การทำรูปภาพในพื้นที่ว่างให้เปิดกว้างมากขึ้น (Opening) และการทำรูปภาพในพื้นที่ว่างให้ปิดมากขึ้น (Closing) การขยายหรือลดพิกเซล และการทำรูปภาพให้เปิดมากขึ้นหรือปิดมากขึ้นจะขึ้นอยู่กับ Structure Element [3]

2.6.2 เทคนิคการกัดกร่อน (Erosion)

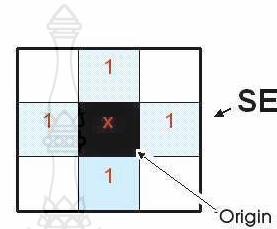
เทคนิคการกัดกร่อน คือ จะลดขนาดของพิกเซลโดยการสแกนค่าของ Structuring Element บนแต่ละค่าของพิกเซลภาพ โดยทำการสแกนจากตำแหน่งบนซ้ายไปยังตำแหน่งล่างขวาซึ่งจะเปลี่ยนค่าพิกเซลที่มีค่าเป็น 1 ให้มีค่าเป็น 0 เมื่อพิกเซลใดพิกเซลหนึ่งบน Structuring Element มีค่าตรงกับค่าพิกเซลภาพและจะมีค่าคงเดิม เมื่อทุกพิกเซลของ Structuring Element มีค่าตรงกับค่าของพิกเซลภาพดังแสดงในภาพที่ 2.12 และ 2.13 โดยมีสมการดังนี้

$$A \Theta B = \{z \mid (B)_z \subseteq A\} \quad (2.14)$$

เมื่อ A คือ ภาพที่ต้องการประมวลผล

B คือ Structuring Element

Z คือ เซตข้อมูลจุดภาพ



ภาพที่ 2.12 ค่าของ Structuring Element [3]

The diagram illustrates a convolution operation. On the left, a 7x7 input image is shown with a 3x3 kernel highlighted in yellow. The kernel slides across the input. On the right, the resulting output image is shown, where the central cell of the kernel has been updated based on the input values under it.

0	0	0	0	1	0	0	0	0
0	0	0	1	1	0	0	0	0
0	0	1	1	1	1	0	0	0
0	0	1	1	1	1	0	0	0
0	0	1	1	1	1	0	0	0
0	0	0	1	1	1	0	0	0
0	0	0	0	0	0	0	0	0

ภาพที่ 2.13 การทำงานของเทคนิคการกัดกร่อน [3]



(ก) ภาพต้นฉบับ



(ข) ผลลัพธ์

ภาพที่ 2.14 ผลของการทำงานของเทคนิคการกัดกร่อน [3]

2.6.3 เทคนิคการขยาย (Dilation)

เทคนิคการขยาย คือ การขยายพิกเซลของภาพโดยการสแกนค่าของ Structuring Element บนแต่ละค่าของพิกเซลภาพโดยทำการสแกนจากตำแหน่งบนซ้ายไปยังตำแหน่งด่างขวา ซึ่งจะเปลี่ยนค่าของพิกเซลที่มีค่าเป็น 0 ให้มีค่าเป็น 1 เมื่อค่าของพิกเซลใดๆ พิกเซลหนึ่งบน Structuring Element มีค่าตรงกับค่าของพิกเซลภาพและจะมีค่าคงเดิมเมื่อทุกค่าของ Structuring Element มีค่าตรงกับทุกค่าของพิกเซลภาพแสดงดังภาพที่ 2.15 โดยมีสมการดังนี้

$$A \oplus B = \left\{ z \mid \left[(\hat{B})_z \cap A \right] \subseteq A \right\}$$

(2.15)

เมื่อ A คือ ภาพที่ต้องการประมวลผล

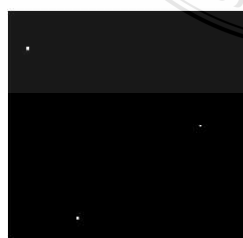
B คือ Structuring Element

Z คือ เซตข้อมูลจุดภาพ

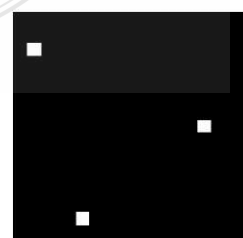
0	1	0	1	0	0	0	0
0	1	1	1	0	0	0	0
0	1	1	1	0	0	0	0
0	0	1	1	0	0	0	0
0	0	0	1	0	0	0	0
0	0	0	1	0	0	0	0
0	0	0	0	0	0	0	0

0	0	0	0	0	0	0	0
0	1	1	1	1	0	0	0
0	1	1	1	1	0	0	0
0	1	1	1	1	0	0	0
0	0	1	1	1	0	0	0
0	0	1	1	1	0	0	0
0	0	0	0	0	0	0	0

ภาพที่ 2.15 การทำงานของเทคนิคการขยาย [3]



(ก) ภาพต้นฉบับ



(ข) ผลลัพธ์

ภาพที่ 2.16 ผลของการทำงานของเทคนิคการขยาย [3]

2.6.4 เทคนิคการปรับปรุงขอบภาพ Opening

เทคนิคการปรับปรุงขอบภาพ Opening เป็นการนำเทคนิคการกัดกร่อนขอบภาพ จากนั้นทำการขยายโดยใช้เทคนิคการขยายภาพ สามารถเขียนสมการของ Opening ได้ดังสมการที่ 2.16 และสมการที่ 2.17

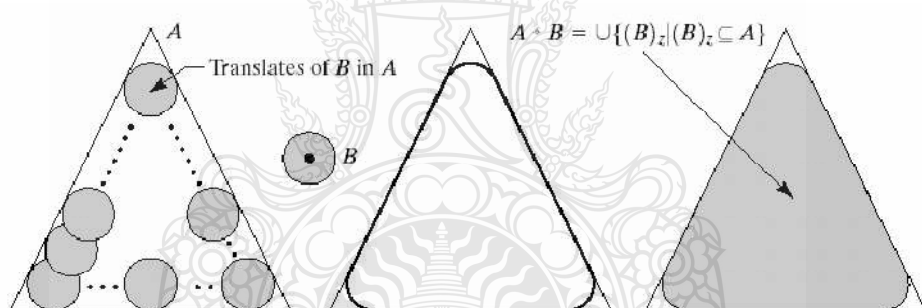
$$A \circ B = (A \ominus B) \oplus B \quad (2.16)$$

$$A \circ B = U \left\{ (B)_z \mid (B)_z \subseteq A \right\} \quad (2.17)$$

เมื่อ A คือ ภาพที่ต้องการประมวลผล

B คือ Structuring Element

Z คือ เซตข้อมูลจุดภาพ



ภาพที่ 2.17 การทำงานของ Opening [3]

2.7 ดิสแตนทรานฟอร์ม (Distance Transform)

การหาระยะห่างระหว่างพิกเซล 2 พิกเซล สามารถหาได้โดยใช้การกระทำกันของพิกเซลจำนวน 4 พิกเซล จากนั้นพิจารณาความต่างของระยะระหว่าง 2 พิกเซล คือ $f(i, j)$ และ $f(m, n)$ ดังสมการที่ 2.18

$$d(f(i, j), f(m, n)) = |i - m| + |j - n| \quad (2.18)$$

ดิสแตนทรานฟอร์ม คือ การแทนที่ค่าของพิกเซลในพื้นที่ของวัตถุที่มีระยะห่างน้อยที่สุด ค่าที่ได้เป็นพื้นที่ของขอบภาพ ตัวแปลงที่ใช้เป็นวิธีการแบบอนุกรมบนพื้นฐานของพื้นที่ใกล้เคียงกัน การสแกนพื้นที่ 2 รอบ รอบแรกสแกนหาลำดับจากซ้ายไปขวา รอบที่สองจากบนลงล่าง โดยให้ $f(i, j)$ เป็นค่าพิกเซลต้นฉบับโดยปราศจากค่าการสูญเสีย ดังสมการที่ 2.19

$$f(i, j) = \begin{cases} 1, & \text{if } f(i, j) \text{ is in an object area} \\ 0, & \text{others} \end{cases} \quad (2.19)$$

เมื่อคำนินการหาระยะการเปลี่ยนของพิกเซล (i, j) เมื่อเราได้ค่าพิกเซลของ 2 พิกเซล ที่มี การคำนินการลักษณะเดียวกันที่ใกล้เคียงกันให้ $s(i, j)$ เป็นผลลัพธ์ที่ได้จากการสแกนรอบแรก จาก สมการที่ 2.20

$$s(i, j) = \begin{cases} 0, & f(i, j) = 0 \\ \min \{(s(i, j-1)+1), s(i-1, j)+1\}, & f(i, j) = 1 \end{cases} \quad (2.20)$$

ผลการสแกนรอบแรกจะให้ผลพื้นที่ภายนอกในที่อยู่ใกล้เคียงกัน ซึ่งค่าที่ได้ทางด้านขวาและ ด้านล่างยังไม่ใช่พื้นที่ที่น้อยที่สุดที่สามารถเป็นขอบภาพได้จึงต้องทำการสแกนรอบสอง โดยสแกน จากขวาไปซ้าย และล่างขึ้นบน หลังจากสแกนรอบสองผลลัพธ์ที่ได้ของ ดิสแตนทรานฟอร์มให้ $d(i, j)$ เป็นผลการสแกนรอบสอง จากสมการที่ 2.21

$$d(i, j) = \begin{cases} 0, & s(i, j) = 0 \\ \min \{(d(i+1, j)+1), (d(i, j+1)+1), s(i, j)\}, & s(i, j) = 1 \end{cases} \quad (2.21)$$

2.8 จุดศูนย์กลาง (Centroid)

ถ้าอธิบายภาพวัตถุด้วยภาพใบหนารี $f(x, y)$ เราสามารถเขียนพื้นที่ A ของวัตถุให้อยู่ในรูป ของผลรวมได้ ดังสมการที่ 2.22

$$A = \sum_x \sum_y f(x, y) \quad (2.22)$$

โดยที่

$f(x, y) = 1$ ถ้าเป็นพื้นที่ของวัตถุ

$f(x, y) = 0$ ถ้าเป็นพื้นที่ของพื้นหลัง

เมื่อเราได้ค่า x และ y ครบทั้งภาพ เราสามารถคำนวณหาค่าเฉลี่ยแกน x และ y ของวัตถุ โดยหาผลรวมได้จากสมการที่ 2.23 และ 2.24

$$\bar{x} = \frac{\sum \sum x f(x, y)}{\sum \sum f(x, y)} = \frac{1}{A} \sum \sum x f(x, y) \quad (2.23)$$

$$\bar{y} = \frac{\sum \sum y f(x, y)}{\sum \sum f(x, y)} = \frac{1}{A} \sum \sum y f(x, y) \quad (2.24)$$

ค่าเฉลี่ยของแกน (\bar{x}, \bar{y}) เราเรียกว่า Centroid หรือจุดศูนย์ถ่วง หรือจุดศูนย์กลางมวลของวัตถุ [5]

2.9 การแบ่งภาพโดยใช้เทคนิค Watershed Segmentation

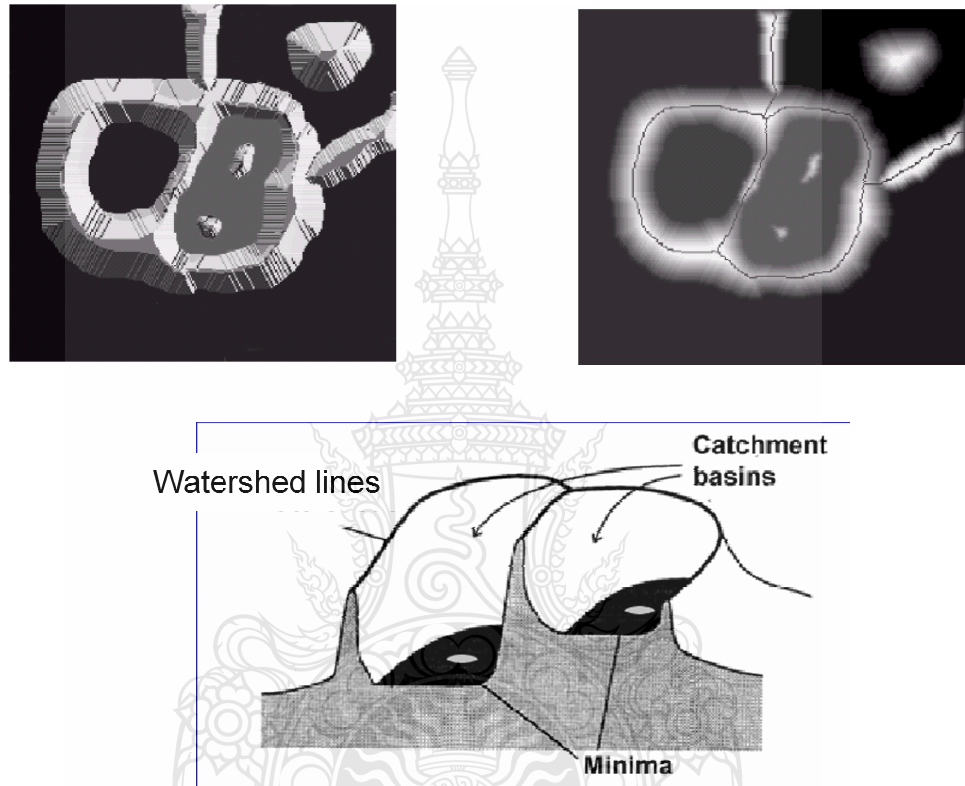
การแบ่งภาพออกเป็นส่วนๆ โดยใช้เทคนิค Watershed Segmentation เป็นการหาความต่อเนื่องของเส้นรอบรูปของพื้นที่หรือวัตถุ แนวคิดของ Watershed จะมองภาพในลักษณะภาพ 3 มิติ พิกัดเชิงพื้นที่และภาพระดับสีเทา พิจารณา 3 จุด ด้วยกัน คือ จุดที่เป็นค่าของพื้นที่ที่มีค่าน้อยที่สุด จุดที่หยดน้ำจะลดลงไป远ๆ ที่สุด เรียกว่า อ่างเก็บกักน้ำ (Catchment Basins) และจุดที่น้ำมีค่าเท่ากับหรือมากกว่าพื้นที่ของพื้นที่ที่มีค่าน้อยที่สุด ซึ่งจุดดังกล่าวเรียกว่า เส้นแบ่ง หรือ Watershed Lines

แนวคิดเบื้องต้นของอัลกอริทึมนี้ คือ เส้นแบ่งเกิดจากช่องว่างที่เกิดขึ้นของแหล่งบริเวณที่มีค่าน้อยที่สุดและลักษณะของการท่วม การเพิ่มขึ้นของน้ำในอ่างที่จะนำไปสู่การเกิดการผาณกันจนเกิดเป็นแนวสันเขื่อน หรือเส้นรอบรูปของสันเขื่อนในแต่ละส่วน

ในส่วนของอัลกอริทึมให้ $M1, M2, \dots, MR$ เป็นเซตใช้แสดงค่าพิกัดของจุดในบริเวณที่มีค่าน้อยที่สุดของภาพ $g(x, y)$ ให้ $C(Mi)$ เป็นค่าที่ใช้แสดงพิกัดของจุดในอ่างเก็บกักน้ำที่เกี่ยวข้องกับบริเวณที่มีค่าน้อยที่สุดของ Mi (จุดต่างๆ ในอ่างเก็บกักน้ำมาจากการเชื่อมต่อขององค์ประกอบ)

เครื่องหมาย \min และ \max จะใช้แสดงค่า minimum และ maximum ของ $g(x, y)$ ฉุดท้ายให้ $T[n]$ แสดงค่าพิกัด (s, t) เมื่อ $g(s, t) < n$ ดังสมการ

$$T[n] = \{(s, t) | g(s, t) < n\} \quad (2.25)$$



ภาพที่ 2.18 ลักษณะของ Watershed Lines [3]

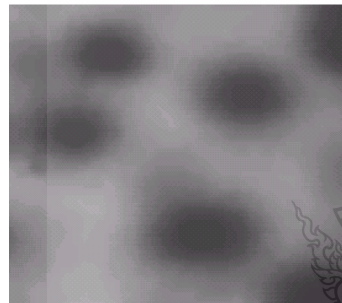
ในทางเรขาคณิต $T[n]$ เป็นค่าพิกัดของจุดใน $g(x, y)$ จะสมมุติให้ $g(x, y) = n$ การเพิ่มการทำท่วมหรือการไหลในบริเวณจะใช้ตัวเลขจำนวนเต็มจาก $n = \min + 1$ ถึง $n = \max + 1$ ที่ขึ้นตอน n ใดๆ ของกระบวนการอัลกอริทึมการทำท่วมของน้ำต้องการรู้ตัวเลขของจุดที่ทำลักษณะที่สุด เกี่ยวกับค่าพิกัด $T[n]$ ที่อยู่ด้านล่างของระนาบ $g(x, y) = n$ ระบุเป็นสีดำ และพิกัดอื่นๆ ระบุเป็นสีขาว

ให้ $C_n(M_i)$ เป็นเซตค่าจุดพิกัดของอ่างเก็บกักน้ำที่เกี่ยวข้องกับค่าที่น้อยที่สุด M_i เมื่อมีการทำท่วมในพื้นที่ของ n ดังที่ได้อธิบายแล้วข้างต้น $C_n(M_i)$ หากมองในลักษณะของการไฟบนกราฟได้

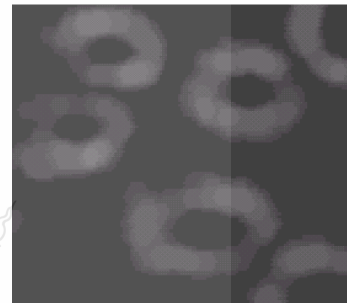
$$Cn(Mi) = C(Mi) \cap T[n] \quad (2.26)$$

จะได้ $Cn(Mi) = 1$ ถ้า $(x, y) \in C(Mi) \text{ AND } (x, y) \in T[n]$ และ $Cn(Mi) = 0$ ในกรณีค่าอื่นๆ อธิบายในทางเรขาคณิตเราใช้ตัวดำเนินการ AND ในการแยกแบ่งส่วนพื้นที่ทั่วไปของภาพใบหนารี $T[n]$ ที่เกี่ยวข้องกับบริเวณที่น้อยที่สุด Mi

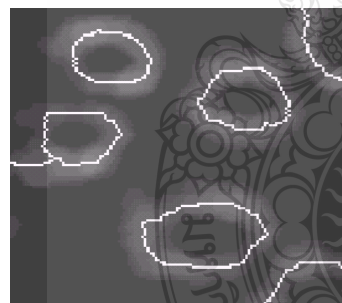
อัลกอริทึมของ Watershed ถูกนำมาใช้กับภาพระดับสีเทา ซึ่งประสิทธิภาพที่ได้จะขึ้นอยู่ กับค่า n ที่เลือกใช้ โดยสามารถหาค่าดังกล่าวได้จากค่าสูงสุดหรือต่ำสุดในชิลโตร์มของ $g(x, y)$



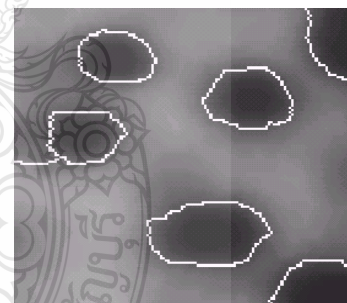
(ก) ภาพต้นฉบับ



(ข) ภาพระดับสีเทา



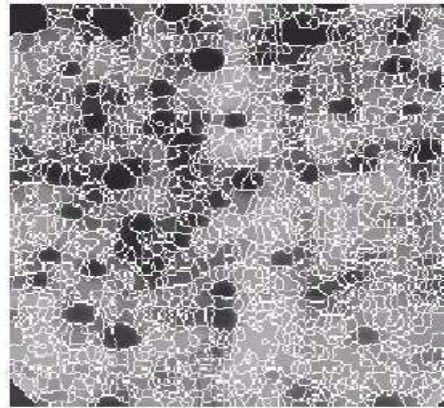
(ค) Watershed Lines



(ง) Watershed Lines บนภาพต้นฉบับ

ภาพที่ 2.19 การประยุกต์ใช้อัลกอริทึมของเทคนิค Watershed [3]

อัลกอริทึมการแบ่งส่วนของเทคนิค Watershed Segmentation ถูกนำมาใช้ในการแบ่งภาพ ตั้งแต่แบบพื้นฐานจนถึง Oversegmentation ซึ่งภาพ Oversegmentation ในกรณีนี้เราจะหมายถึงภาพที่ มีจำนวนวัตถุมากๆ ในพื้นที่ ดังแสดงตัวอย่างในภาพที่ 2.20 คือ จะมีสัญญาณรบกวนและมีความ ผิดปกติอื่นๆ ทำให้ประสิทธิภาพของอัลกอริทึมที่นำมาใช้ได้ผลไม่ดีเท่าที่ควร



ภาพที่ 2.20 ลักษณะภาพ Oversegmentation [3]

แนวทางในการแก้ไขปัญหาดังกล่าว คือ การจำกัดจำนวนของพื้นที่โดยทำการรวมกันตั้งแต่ในขั้นตอนการแบ่งส่วน ซึ่งวิธีการที่ถูกนำมาใช้ในการควบคุม Oversegmentation เป็นขั้นตอนพื้นฐานของการระบุจุด (Marker) การระบุจุดเป็นการแสดงการเชื่อมต่อขององค์ประกอบในภาพการระบุจุดภายใน (Internal Marker) ใช้กับวัตถุที่เราสนใจและการระบุจุดภายนอก (External Marker) ใช้กับพื้นหลังภาพ



(ก) ระบุจุดภายในและภายนอก

(ข) ผลการแบ่งเขตวัตถุ

ภาพที่ 2.21 การระบุจุดและสร้าง Watershed Lines [3]

2.10 งานวิจัยที่เกี่ยวข้อง

ในส่วนนี้ผู้วิจัยนำเสนอเกี่ยวกับงานวิจัยอื่นๆ ที่นำเทคนิคการประมวลผลภาพมาประยุกต์ใช้ในงานวิจัยด้านต่างๆ เช่น ทางด้านอุตสาหกรรม และการแพทย์ ซึ่งมีผลเกี่ยวข้องกับวิทยานิพนธ์นี้ ได้แก่ งานวิจัยที่นำเทคนิคการประมวลผลภาพมาประยุกต์ใช้เกี่ยวกับคัดแยกขนาด

ผลไม้ [6, 7] ประยุกต์ใช้กับการตรวจหาวัตถุในภาพถูกนำมาใช้ในการตรวจสอบคุณภาพของสินค้า เพื่อหาข้อบ่งชี้ของชิ้นงานหรือลักษณะ แทนการตรวจสอบโดยใช้สายตาตามนูญย์ [8 - 10] ประยุกต์ใช้เกี่ยวกับทางด้านการแพทย์ [11 - 13]

ในงานวิจัยของ [6] มะละกอเป็นผลไม้ส่งออกที่สำคัญ โดยที่มีการควบคุมคุณภาพและจัดลำดับของขนาด ซึ่งลำดับของขนาดผลไม้เป็นตัวกำหนดน้ำหนัก ด้วยเหตุนี้ในการปฏิบัติงานในการคัดแยกเป็นสิ่งที่เสียเวลา และแรงงาน บทความนี้จึงนำ Computer Vision มาใช้ในการจัดลำดับขนาดและวิเคราะห์คุณลักษณะ โดยนำภาพสี RGB มาแปลงเป็นภาพใบนารี ใช้วิธีหาค่าเทเรซโซล อัตโนมัติด้วยวิธีของ Otsu's ใช้กระบวนการ Morphological ที่เกี่ยวข้องกับการปรับปรุงภาพมาช่วยในการแยกแบ่งวัตถุที่เป็นมะละกอกับพื้นหลัง เมื่อได้คุณลักษณะรูปร่างซึ่งประกอบด้วย พื้นที่ ขนาด เส้นผ่าศูนย์กลาง และเส้นรอบรูปของภาพผลมะละกอ สามารถแบ่งคุณลักษณะที่ต้องการศึกษาได้ตามลักษณะเฉพาะที่ได้มาระบุโดยใช้การเรียนรู้และทดสอบ วิธีการดังกล่าวแสดงให้เห็นว่าสามารถแบ่งขนาดของมะละกอได้ถูกต้องร้อยละ 94

ในงานวิจัยของ [7] ได้นำเสนอการคัดแยกสับปะรด โดยวิเคราะห์ภาพด้วยวิธีการประมวลผลภาพ และการวิเคราะห์ผลด้วยสถิติค่าความแปรปรวนของตัวแปรขนาด โดยทำการแปลงภาพให้อยู่ในรูปแบบขาวดำเพื่อรับรู้ตำแหน่งของวัตถุและแยกภาพพื้นหลัง นำภาพที่ได้มาคำนวณเพื่อหาขนาดในการหาขนาดพื้นที่ คือ การนับจำนวนพิกเซลที่เป็นสีดำ จากนั้นนำค่าพิกเซลมาเทียบกับพื้นที่ขนาดมาตรฐานเพื่อทำการแบ่งลำดับขนาด ผลที่ได้แบ่งสับปะรดออกเป็น 3 ขนาด คือ เล็ก กลาง และใหญ่ การทดสอบให้ค่าความถูกต้องของการคัดแยกร้อยละ 92.60 อัตราส่วนของสิ่งเจือปนร้อยละ 7.40 และสมรรถนะ 3,296.80 ผลต่อชั่วโมง จากการวิจัยทั้งสองจะเป็นการคัดแยกวัตถุหรือระบุขนาดของวัตถุในภาพในลักษณะของวัตถุเดียว คือ ทำการถ่ายภาพวัตถุครึ่งผลแล้วนำมาเปรียบเทียบกับฐานข้อมูลในการคัดแยกวัตถุ หรือระบุขนาดของวัตถุ

ในงานวิจัยของ [8] นำเสนอการตรวจหาสิ่งแปลกปลอมบน ABS ของอาร์คิดิสก์ไดรฟ์ ทดสอบการตรวจสอบโดยใช้สายตาของพนักงานซึ่งอาจเกิดความผิดพลาดเนื่องจากความเหนื่อยหล้า หรือกระบวนการตัดสินใจของแต่ละบุคคล วิธีการนี้ใช้เครื่องภาพถ่ายแบบอัตโนมัติ นำภาพที่ได้มาทำการแปลงเป็นภาพขาวดำ จากนั้นผ่านขั้นตอนการกำจัดสิ่งแปลกปลอมที่พื้นผิว และบนขอบของ ABS ซึ่งสิ่งแปลกปลอมถูกตรวจจับโดยพิจารณาจากความแตกต่างระหว่างภาพหัวอ่านที่ทำการวิเคราะห์กับภาพหัวอ่านด้านบนที่ไม่มีสิ่งแปลกปลอม ซึ่งผลที่ได้สามารถตรวจหาสิ่งแปลกปลอมได้อย่างมีประสิทธิภาพ

ในงานวิจัยของ [9] นำเสนอวิธีการในการคัดแยกเมล็ดเลี้ยงออกได้มากกว่า 10 รูปแบบในการคัดแยก โดยใช้สี เนื้อผ้าภายนอกและแบ่งแยกโดย SVM (Support Vector Machine) ยังพัฒนาให้สามารถตรวจจับภาพที่มีจำนวนตัวอย่างของเมล็ดมากๆ ได้ การตรวจจับภาพถูกออกแบบมาให้ตรวจจับภาพที่มีแสงไม่แน่นอนในระดับต่างๆ มีการสะท้อน และเงาของเมล็ดพืชตัวอย่าง ได้ คุณภาพที่ได้จากเครื่องมีค่าคงชัดและมีความแม่นยำของสีสูง ในการแยกภาพเลือกใช้ชิสโตร์แกรมของภาพ RGB และ HSV มาใช้งานร่วมกัน โดยใช้หลักของ Gray Level Co-Occurrence Matrix (GLCM) และประยุกต์ใช้ Local Binary Pattern (LBP) แทนคุณลักษณะ อธิบายขั้นตอนการทดลองดังนี้ สร้างกล่องควบคุมแสงในการถ่ายภาพต้นฉบับ ทำการลดสัญญาณรบกวน โดยใช้ Median Filter หรือ Connected Component Labeling สุดท้ายแยกคุณลักษณะของภาพ โดยใช้ชิสโตร์แกรมในภาพ RGB และ HSV ซึ่งเป็นพื้นฐานของ GLCM และ LBP ในการแบ่งแยกภาพตามคุณลักษณะของภาพ วิธีการที่นำเสนอได้ทำการทดลองกับตัวอย่างภาพ 10,000 ภาพ ให้ผลความแม่นยำร้อยละ 95.60 สำหรับเมล็ดพืชทั่วไป และร้อยละ 80.60 สำหรับกลุ่มของเมล็ดพืชเลี้ยง โดยที่ผลการทดลองเบื้องต้นมีประโยชน์ต่อการพัฒนาระบบควบคุมคุณภาพในทางปฏิบัติ

ในงานวิจัยของ [10] นำเสนอการตรวจหาข้อบกพร่องโดยตรวจหาการติดกันหรือการร้าวของรหัสที่แสดงผลหน้าจอ VFD (Vacuum Fluorescent Display) โดยใช้กระบวนการประมวลผลภาพ ทำการเทرزไฮล์โดยใช้วิธีการของ Otsu's ในการดำเนินการภาพที่ได้จะเป็นภาพไบナรี จากนั้นใช้เทคนิкомอร์ฟโอลอยด์ในการแบ่งบริเวณภาพในการระบุขอบเขตการเชื่อมต่อของสัญลักษณ์ ทำการนับจำนวนของคุณลักษณะที่บกพร่องของ VFD จากนั้นตรวจสอบขอบเขตการเชื่อมต่อเพื่อหาข้อบกพร่อง ผลการทดลองแสดงให้เห็นว่าวิธีการตรวจหาให้ผลที่ดี ในการตรวจหาวัตถุของงานวิจัยที่นำเสนอในการตรวจหาวัตถุนั้น จะมีการสร้างการเรียนรู้หรือภาพต้นแบบสำหรับใช้ในการประยุกต์

ในงานวิจัยของ [11] นำเสนออัลกอริทึมบนพื้นฐานของมอร์ฟโอลอยด์ในการแบ่งแยกวัตถุที่มีการทับซ้อนแบบอัตโนมัติ โดยใช้เทคนิคดิสแตนทรานฟอร์มและเทคนิค Dilation พิจารณาพื้นที่ที่มีจุดเชื่อมต่อในการออกแบบและทำให้บรรลุผลสำเร็จในการแบ่งแยกวัตถุ งานวิจัยนี้นำหลักการดังกล่าวมาประยุกต์กับปัญหาการแบ่งแยกเซลล์ในภาพทางการแพทย์ของตับ เป็นการวิเคราะห์โรคตับอักเสบ ผลการทดลองที่ได้แสดงให้เห็นว่าเทคนิคนี้มีความเร็วและผลการแบ่งแยกเป็นที่น่าพอใจ จากนั้นทำการแบ่งแยกวัตถุในภาพที่มีการทับซ้อนแล้วทำการนับวัตถุที่อยู่ในภาพ นำเทคนิคของงานวิจัยนี้มาประยุกต์ใช้การงานวิจัยในการใช้หลักการเทคนิคดิสแตนทรานฟอร์ม ในการแบ่งวัตถุในภาพซึ่งเป็นองค์ประกอบพารามิเตอร์หนึ่งในการประยุกต์ใช้เทคนิคmarjin ลดสเปช

ในงานวิจัยของ [12] การวิเคราะห์ภาพเซลล์โดยอัตโนมัติมีความน่าสนใจและมีความสำคัญ โดยที่การแบ่งภาพออกเป็นส่วนๆ และการแยกหมวดหมู่เป็นขั้นตอนที่มีความสำคัญในการที่จะมาทำการวิเคราะห์ผลของเทคนิค Otsu's และการสร้างสัญลักษณ์การเชื่อมต่อบริเวณ (Connected Region Labeling) บทความนี้ใช้หลักการเลือกค่าจากภาพสี RGB โดยใช้ K - L Transform ในการลดความชัดช้อนของภาพ จากนั้นใช้การหาค่าเทรสโอลอัตโนมัติโดยวิธีของ Otsu's ในการแปลงภาพให้เป็นภาพใบหนารี นำข้อมูลภาพใบหนารีมาใช้ในการแบ่งภาพออกเป็นส่วนๆ สุดท้ายใช้วิธีการสร้างสัญลักษณ์การเชื่อมต่อบริเวณมาทำการแยกภาพใบหนารีออกเป็นหมวดหมู่ บทความนี้จะเป็นการประยุกต์ใช้การแบ่งภาพและการแยกเป็นหมวดหมู่ของภาพเซลล์ชนิดต่างๆ ผลที่ได้มีประสิทธิภาพและให้ค่าความถูกต้องของข้อมูล

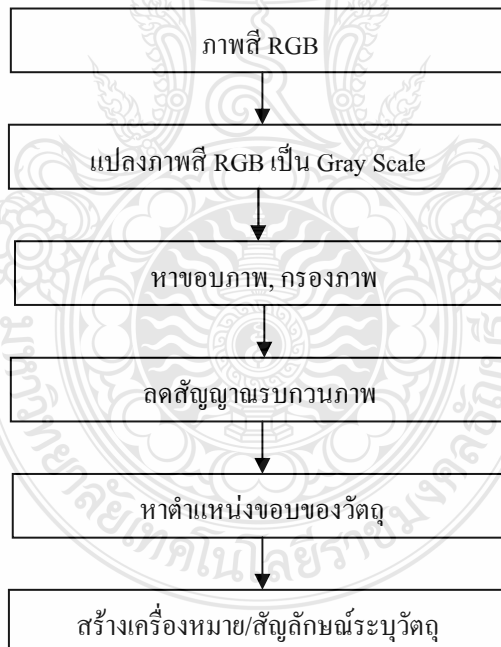
ในงานวิจัยของ [13] นำเสนอการนับเซลล์เม็ดเลือดแดง ใช้การตรวจนับจำนวนวัตถุบนภาพขาว - ดำ โดยวิธี Sum - Result Indexing เป็นวิธีที่มีการพัฒนาจากวิธีการเข้ารหัสแบบ Run-Length Encoding (RLE) การระบุตัวตนของกลุ่มพิกเซลหลังจากที่มีการรวมโดยจัดกลุ่มจุดที่อยู่ติดกันในแนวนอนและหาความสัมพันธ์ของแต่ละกลุ่ม ความถูกต้องในการนับให้ผลเหมือนกันแต่ใช้เวลาในการคำนวณน้อยกว่าวิธี Contour Tracing Technique

ในงานวิจัยการแบ่ง การแยก หรือการนับวัตถุในภาพจะเป็นลักษณะของวัตถุที่ไม่มีการทับซ้อนของวัตถุ หรือการทับซ้อนไม่นำก็คือเป็นลักษณะของวัตถุที่มีการวางทับซ้อนกันไม่นำก็จะถูกแบ่ง [12] หรือถ้าหากมีการทับซ้อน วัตถุจะถูกจัดเป็นกลุ่มของวัตถุแล้วทำการนับวัตถุเป็นหนึ่งวัตถุ [13] จากงานวิจัยที่นำเสนอจะเห็นได้ว่า งานวิจัยที่เกี่ยวกับการคัดแยก ระบุขนาด และการตรวจหาวัตถุ จะใช้ภาพวัตถุที่เป็นวัตถุเดียวในภาพ ซึ่งในการวิจัยนี้ต้องการตรวจหาวัตถุโดยใช้ภาพที่มีจำนวนวัตถุมากกว่าหนึ่งวัตถุในภาพ และในการทดสอบจะใช้การตรวจหาแบบอัตโนมัติไม่ต้องมีการเรียนรู้ภาพต้นฉบับก่อนในการตรวจหาวัตถุ ภาพที่นำมาใช้ในทดสอบหากมีการวางทับซ้อนของวัตถุ ผลการทดลองจะมีความผิดพลาดเกิดขึ้น ดังนั้นเพื่อเพิ่มประสิทธิภาพในการตรวจหาวัตถุในกรณีภาพที่มีการทับซ้อน ในบทความนี้จึงนำเสนอเทคนิคในการตรวจหาวัตถุที่อยู่ด้านบนสุด โดยนำเทคนิคการหาขอบภาพ การลดสัญญาณรบกวนภาพ และเพิ่มเติมการระบุวัตถุที่อยู่ด้านบนสุด โดยการประยุกต์ใช้เทคนิคการจินอลสเปชและเทคนิคmorphology

บทที่ 3

วิธีดำเนินการวิจัย

เนื้อหาในบทนี้จะกล่าวถึงวิธีดำเนินการงานวิจัยการตรวจหาวัตถุทรงกลมที่อยู่บนสุดในภาพ 2 มิติ ซึ่งภาพในลักษณะภาพ 2 มิติ คือ ภาพที่มีองค์ประกอบตามแนวแกน x (ความกว้าง) และตามแนวแกน y (ความยาว) แตกต่างจากลักษณะภาพ 3 มิติ ที่สามารถมองเห็นตามแนวแกน x (ความกว้าง) แนวแกน y (ความยาว) และแนวแกน z (ความลึก) ภาพ 3 มิติ ที่ออกแบบมาทำให้เหมือนภาพที่เรามองจากสายตาตามนุxyz ที่สามารถระบุวัตถุที่อยู่บนสุดในภาพได้ แต่ในภาพ 2 มิติ เราจะสามารถระบุวัตถุที่อยู่ต้านบนได้อย่างไร งานวิจัยจึงมุ่งศึกษาการตรวจหาวัตถุบนภาพ 2 มิติ ของวัตถุที่ทับซ้อน นำเทคนิคด้านการประมวลผลภาพมาประยุกต์ใช้ทั้งการหาขอบภาพ การลดสัญญาณรบกวน การตรวจหาและระบุตำแหน่งวัตถุที่อยู่ต้านบนได้ ทำการทดสอบกับภาพถ่ายผลไม้ภาพที่นำมาทดสอบเป็นภาพถ่ายดิจิตอลขนาด 480×640 พิกเซล สามารถสรุปเป็นขั้นตอนได้ดังแสดงในภาพที่ 3.1

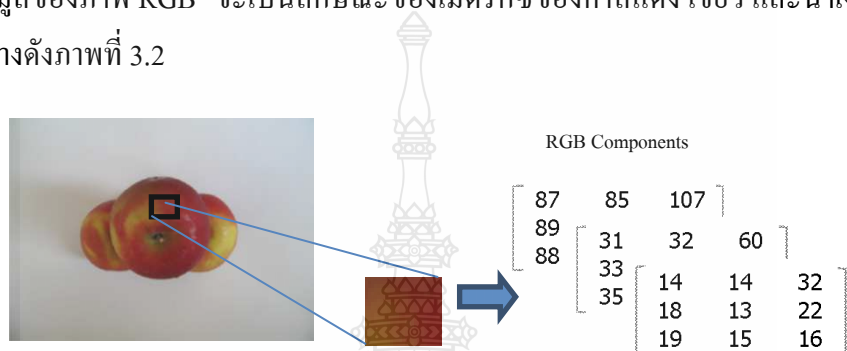


ภาพที่ 3.1 ขั้นตอนการตรวจหาวัตถุที่อยู่ต้านบน

3.1 แปลงภาพสีเป็นภาพระดับสีเทา

3.1.1 ภาพสี (RGB Image)

ในแต่ละพิกเซลของภาพสี ประกอบไปด้วยเวกเตอร์ที่แสดงค่าของสีแดง (R) สีเขียว (G) และสีน้ำเงิน (B) อย่างละ 8 บิต ดังนั้นข้อมูล 1 พิกเซล ของภาพจะประกอบไปด้วยจำนวนบิต 24 บิต ของทั้ง 3 ค่าสี (RGB) ทำให้ภาพสีจะมีจำนวนสีที่เป็นไปได้ทั้งหมด 2^{24} สีหรือ 16 ล้านสี โดยลักษณะ การเก็บข้อมูลของภาพ RGB จะเป็นลักษณะของเมตริกซ์ของค่าสีแดง เขียว และน้ำเงิน แสดงภาพ RGB ตัวอย่างดังภาพที่ 3.2



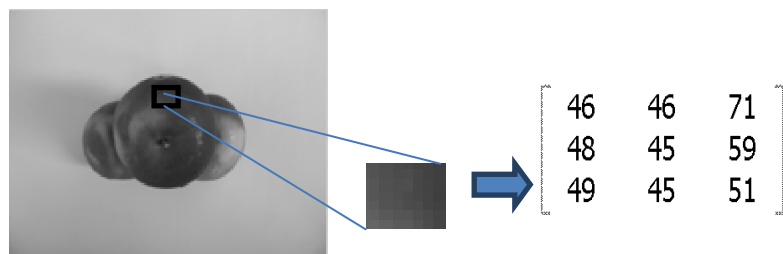
ภาพที่ 3.2 ภาพเชิงดิจิตอลประเภท RGB Image

3.1.2 ภาพสีเทา (Gray Image)

ค่าในแต่ละพิกเซลของภาพสีเทา คือ ค่าความเข้มของแสง ณ แต่ละตำแหน่งของพิกเซลซึ่ง จะอยู่ในภาพระดับสีเทา (Gray Level) ขั้นตอนการแปลงภาพสีให้เป็นภาพสีเทา ทำได้โดยแยกระดับสี แต่ละพิกเซลออกจากกันในภาพแบบสี RGB จากนั้นนำค่าสี RGB มาเข้าสู่สมการเพื่อคำนวณหาค่าสี เทาและนำค่าที่ได้ไปแทนที่จุดพิกเซลเดิม ในงานวิจัยนี้แปลงภาพ RGB เป็นภาพสีเทาโดยใช้สมการที่ 2.1 จากภาพที่ 3.2 แสดงตัวอย่างการแทนค่าพิกเซลตำแหน่งที่ (0, 0) ค่า R = 87, G = 31 และ B = 14 นำค่าดังกล่าวแทนค่าในสมการจะได้

$$\begin{aligned} \text{Grayscale}(0, 0) &= 0.3(87) + 0.59(31) + 0.11(14) \\ &= 46 \end{aligned}$$

จากตัวอย่างเราจะได้ค่าระดับสีเทาของพิกเซล (0, 0) ทำการคำนวณค่าพิกเซลทุกๆ ตำแหน่งของภาพจะได้ค่าระดับสีเทา ดังในภาพที่ 3.3



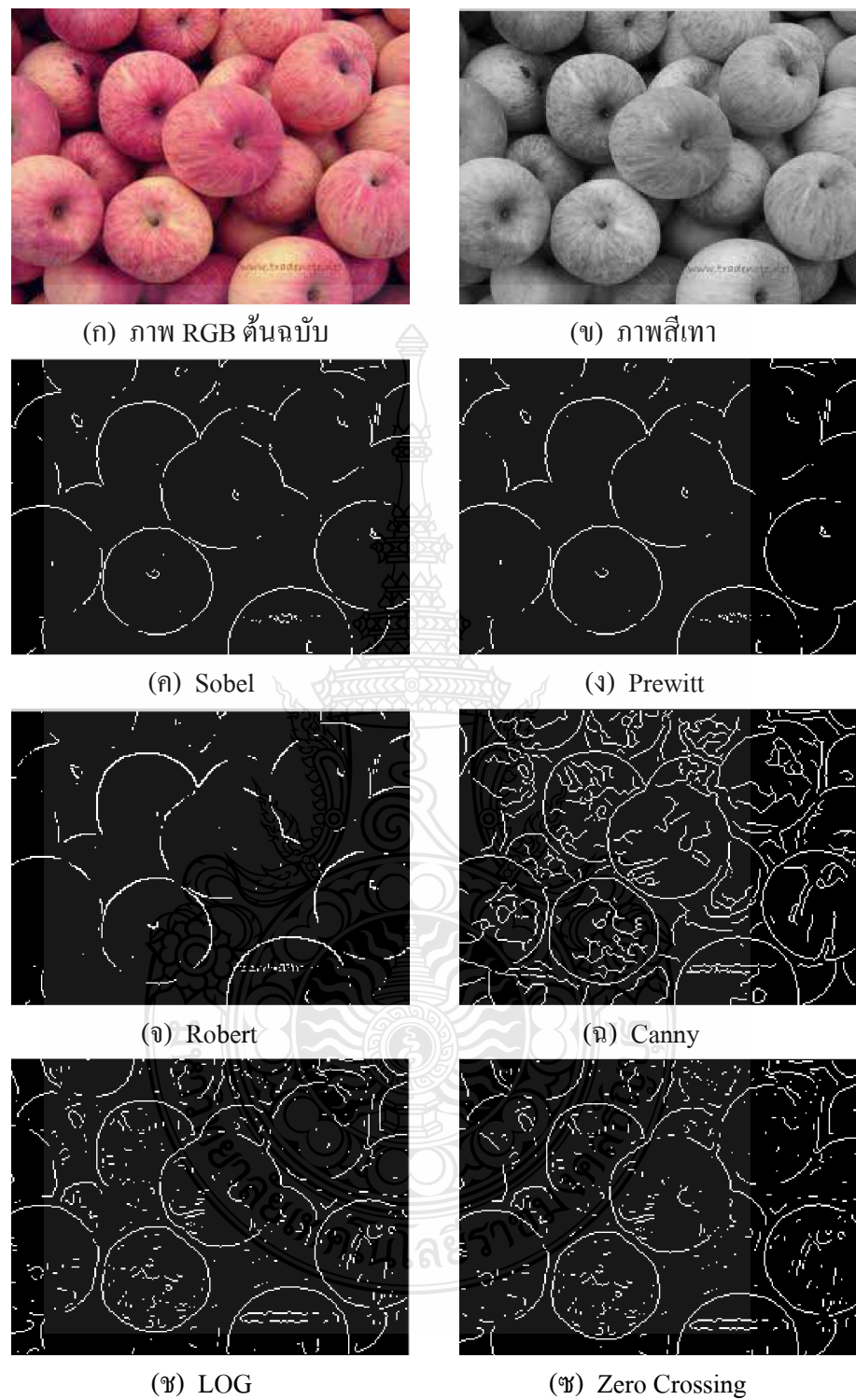
ภาพที่ 3.3 ภาพเชิงดิจิตอลประเกตภาพสีเทา

ผลจากการแปลงภาพ RGB เป็นภาพสีเทาจะทำให้ได้ภาพที่มีค่าความเข้มระดับสีเทาที่มีค่าตั้งแต่ 0 - 255 โดยที่ค่า 0 คือ สีดำ และค่า 255 คือ สีขาว

3.2 การหาขอบภาพ

ทำการแยกวัตถุที่ต้องการออกจากภาพพื้นหลัง โดยที่การแยกวัตถุ 2 วัตถุ ออกจากกันหรือแยกออกจากพื้นหลังต้องใช้การค้นหาขอบวัตถุที่อยู่ในภาพนั้น การค้นหาขอบภาพ คือ การหาเส้นรอบรูปที่เกิดจากความสว่างของภาพที่เปลี่ยนไปทันที โดยดูจากขนาดหรืออัตราการเปลี่ยนของขนาด การค้นหาขอบภาพเป็นการดึงส่วนประกอบของภาพที่มีจุดเด่นออกจากพื้นหลัง มีวิธีการแยกได้สองลักษณะ คือ การค้นหาขอบภาพโดยใช้อัอนุพันธ์อันดับหนึ่ง (Gradient Method) และการค้นหาขอบภาพโดยใช้อัอนุพันธ์อันดับสอง (Laplacian Method)

นำภาพ RGB ที่ผ่านการแปลงภาพเป็นภาพระดับสีเทา ทำการหาขอบภาพ ทดลองใช้การค้นหาขอบภาพโดยใช้อัอนุพันธ์อันดับหนึ่ง เช่น Sobel, Prewitt, Robert และ Canny ผลที่ได้ คือ เทคนิค Sobel, Prewitt และ Robert มีความความสมบูรณ์ของภาพน้อย ข้อมูลของขอบไม่สมบูรณ์ ส่วนเทคนิค Canny ขอบภาพที่ได้มีความสมบูรณ์ของขอบภาพแต่ภาพยังคงมีสัญญาณรบกวน ทำให้ยากในการนำข้อมูลไปใช้ทำการทดลอง โดยใช้อัอนุพันธ์อันดับสอง คือ LOG และ Zero Crossing ผลของขอบภาพที่ได้จากการใช้อัอนุพันธ์อันดับสองทั้ง 2 เทคนิคจะเห็นว่าให้ขอบภาพที่สมบูรณ์มากกว่าเมื่อเทียบกับการใช้อัอนุพันธ์อันดับหนึ่ง จึงการนำเทคนิคดังกล่าวมาประยุกต์ใช้ในงานวิจัย



ภาพที่ 3.4 ผลการหาขอบภาพโดยใช้เทคนิคต่างๆ

การหาขอบภาพโดยใช้อุปนิธ้อนดับสอง ในงานวิจัยนี้เลือกเทคนิคการหาขอบภาพโดยใช้เทคนิค LOG เทคนิคดังกล่าวเป็นการดำเนินการในลักษณะเชิงเส้น หลักการของการหาขอบภาพโดยใช้เทคนิค LOG ใช้การวนภาพผลที่ได้ คือ ทำให้ภาพรำเรียน (ลดสัญญาณรบกวน) และการคำนวณลากลaczทำให้เกิดขอบภาพซ้อน ซึ่งการหาขอบภาพจะใช้การผ่านศูนย์ระหว่างขอบที่เกิดขึ้น



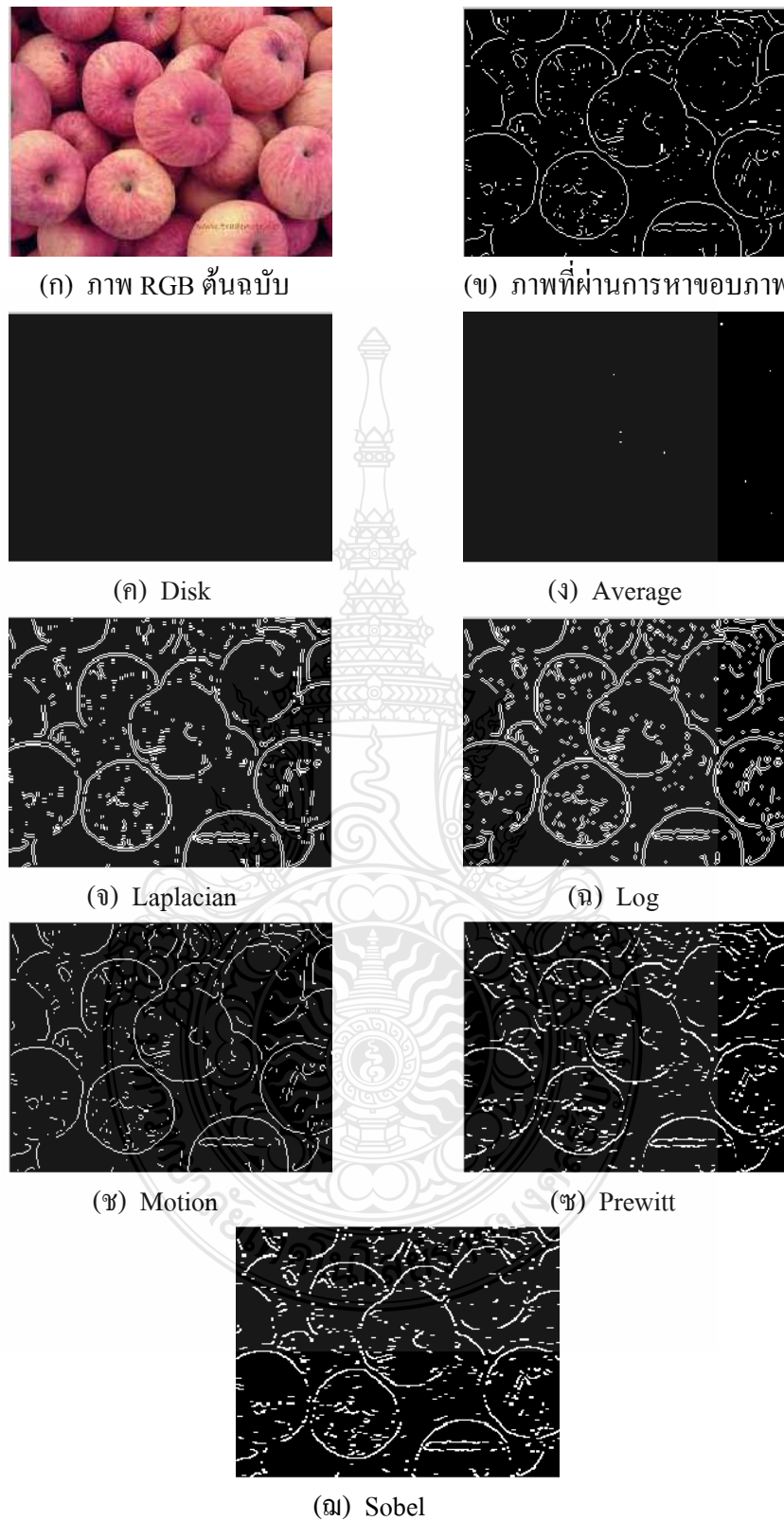
ภาพที่ 3.5 ผลการหาขอบภาพโดยใช้วิธี LOG

3.3 การกรองภาพและปรับปรุงขอบภาพ

ภาพที่ผ่านการหาขอบภาพยังคงมีสัญญาณรบกวน จึงต้องมีการกรองข้อมูลภาพเพื่อลดสัญญาณรบกวนดังกล่าว ในงานวิจัยนี้ใช้วิธีการคอนโว Luisan ซึ่งเป็นการกระทำกันระหว่างเทมเพลตในลักษณะต่างๆ กับภาพต้นฉบับ เทมเพลตเป็นเมตริกซ์ขนาด $M \times N$ ของชุดตัวเลขที่จะนำไปทับซ้อนกับภาพต้นฉบับที่ต้องแนบต่างๆ เพื่อหาผลลัพธ์ของการคอนโว Luisan

ทำการทดลองการกรองภาพโดยใช้เทมเพลตในลักษณะต่างๆ เช่น Disk, Average, Log, Laplacian, Motion, Prewitt และ Sobel เพื่อคุณประสิทธิภาพในการกรองสัญญาณของเทมเพลต ดังแสดงในภาพที่ 3.6

ผลของการกรองภาพโดยใช้เทมเพลตต่างๆ ผลที่ได้ คือ ตัวกรอง Disk และ Average ขอบภาพวัตถุในภาพหายไป ตัวกรอง Laplacian และ Log ขอบภาพหนาขึ้น เส้นขอบภาพเบลอและสัญญาณรบกวนมีความปริมาณมาก ตัวกรอง Prewitt และ Sobel ขอบภาพของวัตถุในภาพยังคงอยู่แต่ มีความผิดเพี้ยนไปของขอบภาพ คือ ขอบภาพวัตถุมีความหนาเพิ่มขึ้นและสัญญาณรบกวนมีปริมาณเพิ่มขึ้น ตัวกรอง Motion ยังคงรักษาขอบภาพได้สมบูรณ์ที่สุดและมีปริมาณสัญญาณรบกวนที่เกิดขึ้นน้อยที่สุดเมื่อเทียบกับเทมเพลตอื่นๆ จึงเลือกใช้ตัวกรองดังกล่าวในงานวิจัยนี้ ผลการทดลองดังแสดงผลในภาพที่ 3.7

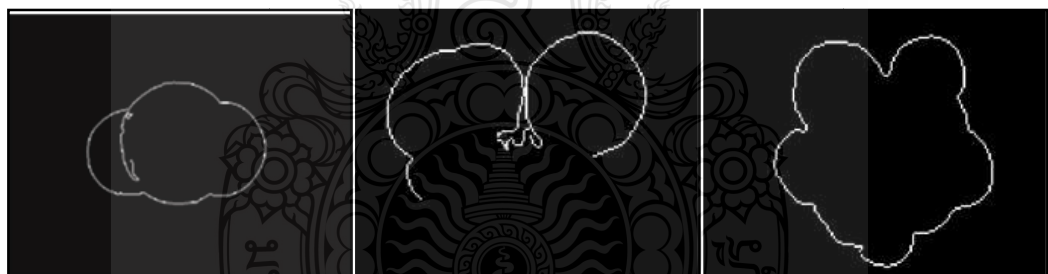


ภาพที่ 3.6 กรองภาพโดยใช้เทมเพลตในลักษณะต่างๆ



ภาพที่ 3.7 กรองภาพโดยใช้ตัวกรอง Motion

หลังจากทำการกรองภาพเพื่อลดสัญญาณรบกวน ผลการทดลองของขอบภาพที่ได้ขึ้นคงมีสัญญาณรบกวน นำกระบวนการมอร์โฟโลยีมาประยุกต์ใช้ โดยการใช้เทคนิค Opening ใน การตัดวัตถุ ในภาพที่มีค่าพิกเซลน้อยๆ หรือสัญญาณรบกวนออกจากภาพเพื่อให้คงไว้แต่พิกเซลของวัตถุที่อยู่ด้านบนหรือวัตถุที่มีความสมบูรณ์ของขอบภาพ ผลที่ได้หลังผ่านการใช้เทคนิค Opening ของภาพวัตถุมีความชัดเจนของขอบ โดยสามารถตัดในส่วนของพิกเซลที่ไม่ใช่ขอบภาพวัตถุได้ แต่ขอบภาพวัตถุบางส่วนหายไป ดังแสดงในภาพที่ 3.8



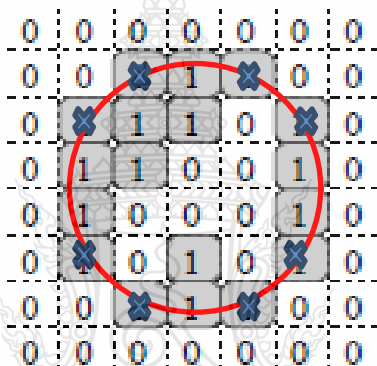
ภาพที่ 3.8 ผลหลังผ่านการใช้เทคนิค Opening

3.4 ตรวจหาและระบุวัตถุที่อยู่ด้านบน

ทำการตรวจหาและระบุวัตถุที่อยู่ด้านบนในภาพ 2 มิติ โดยนำเทคนิคด้านการประมวลภาพมาประยุกต์ใช้ เช่น การสร้างกรอบครอบวัตถุที่อยู่ด้านบน โดยใช้เทคนิคดิสแตนทรานฟอร์ม การระบุโดยใช้การหาจุดศูนย์ถ่วง และระบุโดยใช้เทคนิค Watershed Segmentation เพื่อพิจารณาประสิทธิภาพในการตรวจหาและระบุวัตถุที่อยู่ด้านบนของแต่ละเทคนิค

3.4.1 การสร้างกรอบวงกลมครอบวัตถุที่อยู่ด้านบนโดยใช้เทคนิคดิสแตนทรานฟอร์ม

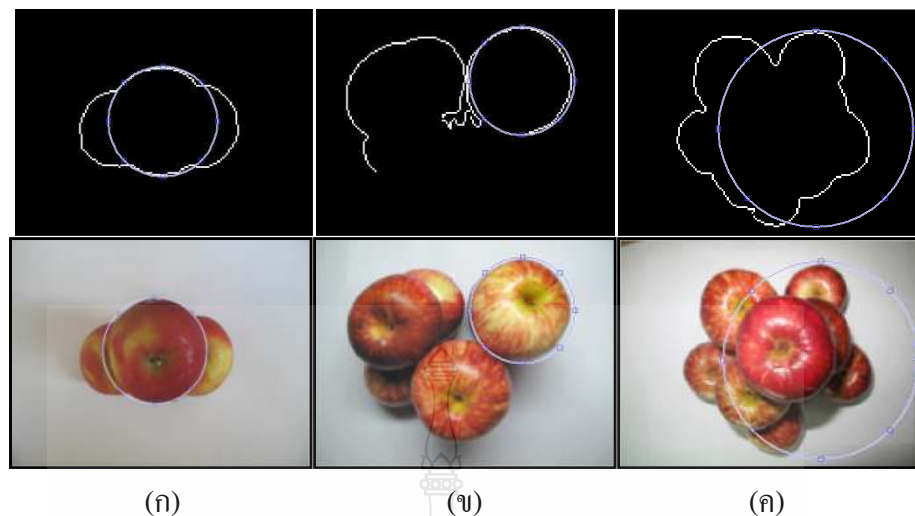
หาตำแหน่งของขอบภาพวัตถุที่มีความสมบูรณ์ของขอบภาพ เพื่อทำการระบุวัตถุที่อยู่ด้านบนในภาพ จากการประยุกต์ใช้เทคนิคดิสแตนทรานฟอร์ม ซึ่งเป็นลักษณะของการพิจารณาความเหมือนและแตกต่างกันของพิกเซลที่อยู่ใกล้เคียงกัน ว่าเป็นขอบภาพวัตถุหรือพื้นหลัง แล้วเพื่อรับตำแหน่งจากซ้ายไปขวา ขวาไปซ้าย บนลงล่าง และล่างขึ้นบน เมื่อตรวจพบความแตกต่างกันของพิกเซลที่อยู่ใกล้เคียงกันจะทำการตรวจสอบว่าตำแหน่งที่พบเป็นตำแหน่งของพิกเซลที่เป็นขอบภาพวัตถุหรือไม่ ถ้าใช่ทำการระบุตำแหน่ง ระบุตำแหน่งได้ครบแล้วทำการสร้างวงกลมครอบวัตถุ ดังแสดงในภาพที่ 3.9



ภาพที่ 3.9 ลักษณะการระบุตำแหน่งโดยใช้เทคนิคดิสแตนทรานฟอร์ม

ผลของการนำเทคนิคดังกล่าวมาประยุกต์ใช้ตรวจหาและระบุวัตถุที่อยู่ด้านบน แสดงในภาพที่ 3.10 ซึ่งจะแสดงผลในรูปแบบของขอบภาพและภาพเด้นฉบับ RGB

เมื่อทำการทดลองจะเห็นว่า สามารถสร้างกรอบวงกลมครอบวัตถุที่อยู่ด้านบนได้ ผลการทดลองที่ได้มี 2 ลักษณะ กือ พบวัตถุที่อยู่ด้านบนในลักษณะวัตถุเดี่ยว และพบวัตถุในลักษณะกลุ่มวัตถุ จากภาพที่ 3.10 เราจะให้ลักษณะของภาพ (ก) และ (ข) เป็นการตรวจพบวัตถุที่อยู่ด้านบนในลักษณะวัตถุเดี่ยว ส่วนภาพ (ค) เป็นการตรวจพบวัตถุที่อยู่ด้านบนในลักษณะของกลุ่mvัตถุ



ภาพที่ 3.10 สร้างกรอบวงกลมครอบวัตถุที่อยู่ด้านบน

3.4.2 การสร้างจุดระบุวัตถุที่อยู่ด้านบนโดยใช้เทคนิคจุดศูนย์กลาง (Centroid)

ขอบภาพที่ผ่านการลดสัญญาณรบกวนโดยใช้เทคนิค Opening ภาพที่ได้เป็นภาพใบหน้าพื้นที่ของพื้นหลังเป็น 0 (สีดำ) และพื้นที่ของวัตถุเป็น 1 (สีขาว) นำขอบภาพที่ได้มาทำการคำนวณหาจุดศูนย์กลาง สมการที่ 2.23 ถึง 2.25 แสดงในตัวอย่าง

	0	1	2	3	4	5	6	7	8
0	■	■	■	■	■	■	■	■	■
1	■	■	■	■	■	■	■	■	■
2	■	■	■	■	■	■	■	■	■
3	■	■	■	■	■	■	■	■	■
4	■	■	■	■	■	■	■	■	■
5	■	■	■	■	■	■	■	■	■

ภาพที่ 3.11 ตัวอย่างในการคำนวณหาค่าจุดศูนย์กลาง [5]

จากภาพตัวอย่างแทนค่าในสมการที่ 2.23 จะได้ค่า

$$A = \sum_{x} \sum_{y} f(x, y) = 23$$

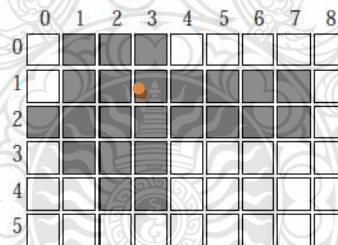
แทนค่าในสมการที่ 2.24 จะได้ค่า

$$\begin{aligned}\bar{x} &= \frac{\sum \sum xf(x,y)}{A} \\ &= \frac{1+2+3+1+2+3+4+5+6+7+0+1+2+3+4+5+6+7+1+2+3+2+3}{23} \\ &= \frac{73}{23} \approx 3.2\end{aligned}$$

แทนค่าในสมการที่ 2.25 จะได้ค่า

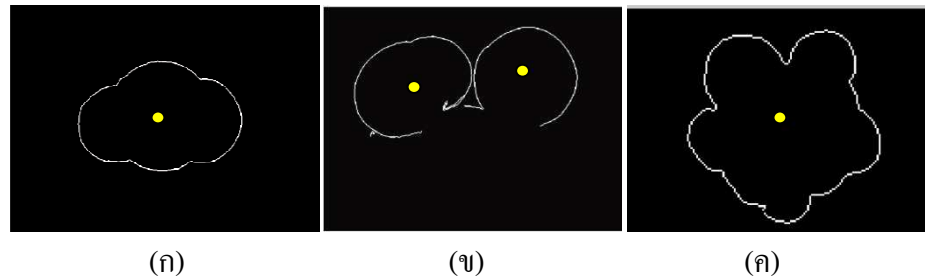
$$\begin{aligned}\bar{y} &= \frac{\sum \sum yf(x,y)}{A} \\ &= \frac{2+0+1+2+3+0+1+2+3+4+0+1+2+3+4+1+2+1+2+1+2+1+2}{23} \\ &= \frac{40}{23} \approx 1.7\end{aligned}$$

นำค่า \bar{x} และ \bar{y} มาพล็อตลงในภาพที่ 3.11 ซึ่งตำแหน่งที่ได้คือ จุดศูนย์กลางของภาพ

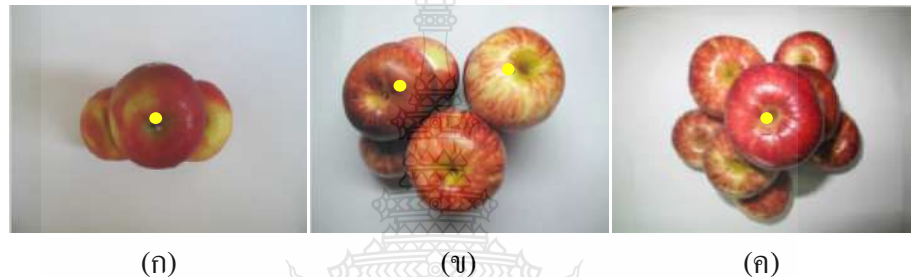


ภาพที่ 3.12 ระบุตำแหน่งจุดศูนย์กลางที่ได้จากการคำนวณ [5]

จากหลักการดังกล่าวนำมาใช้กับภาพวัตถุที่เราทำการหาขอบภาพเพื่อใช้จุดศูนย์กลาง ดังกล่าวเป็นจุดระบุตำแหน่งของวัตถุที่อยู่ด้านบนสุด ภาพที่ 3.13 (ก) ถึง (ค) แสดงจุดที่ระบุตำแหน่งจุดศูนย์กลางบนภาพที่เป็นภาพขอบวัตถุที่ผ่านการปรับปรุงขอบภาพ เพื่อให้เห็นความสัมพันธ์ของขอบภาพกับผลการระบุตำแหน่งของเทคนิคจุดศูนย์กลาง ภาพที่ 3.14 (ก) ถึง (ค) แสดงจุดที่ระบุตำแหน่งจุดศูนย์กลางบนภาพสี RGB ต้นฉบับ



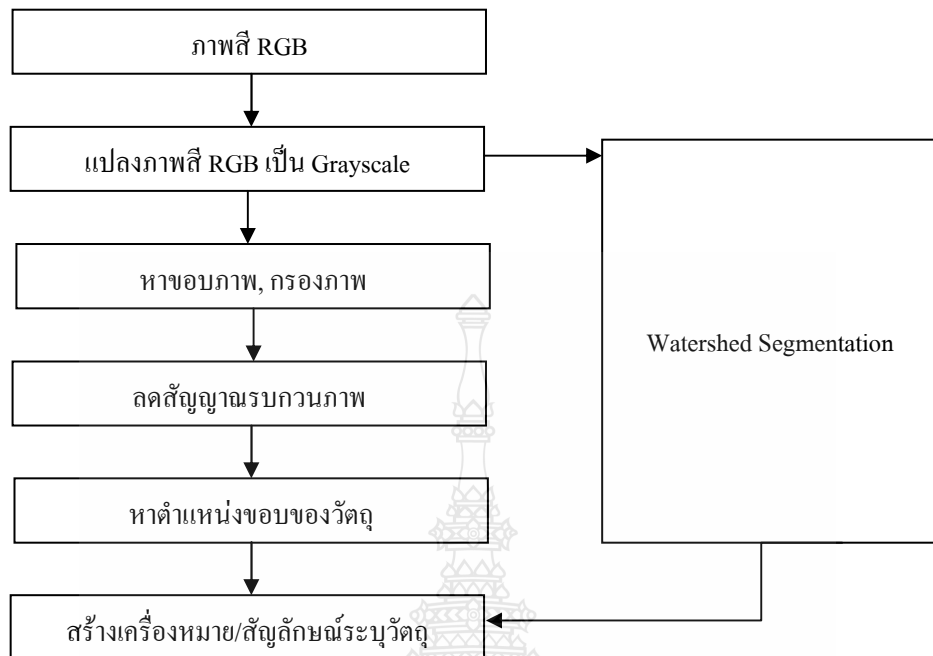
ภาพที่ 3.13 ผลการระบุตำแหน่งวัตถุของเทคนิคจุดศูนย์กลางบนภาพของวัตถุ



ภาพที่ 3.14 ผลการระบุตำแหน่งวัตถุของเทคนิคจุดศูนย์กลางบนภาพ RGB

3.4.3 การระบุวัตถุที่อยู่ด้านบนสุดโดยใช้เทคนิค Watershed Segmentation

เทคนิค Watershed Segmentation [14] การทำงานของ Watershed Segmentation จะแบ่งภาพสี RGB ให้เป็นภาพสีเทา หลังจากนั้นทำการกรองภาพที่ได้ โดยผลจากทำการกรองภาพในส่วนที่มีค่าเกรดีบันต์สูงจะเป็นเส้นขอบของวัตถุ และที่มีค่าเกรดีบันต์ต่ำจะเป็นพื้นที่ด้านในของวัตถุ ทำการระบุตำแหน่งที่เป็นพื้นที่ของวัตถุและพื้นที่ของพื้นหลัง คำนวนโดยใช้ Watershed Transform เป็นฟังก์ชันในการแบ่งพื้นที่ สร้าง Watershed Lines เป็นเครื่องหมายระบุการแบ่งพื้นที่ ในงานวิจัยนี้เรานำพื้นที่ที่ทำการแบ่งมาใช้เป็นพื้นที่ของวัตถุที่ต้องการตรวจหาและใช้เทคนิคการหาจุดศูนย์กลางมาระบุวัตถุที่อยู่ด้านบนสุดจากพื้นที่ดังกล่าว ในงานวิจัยนี้มีขั้นตอนในการประยุกต์ใช้ดังนี้



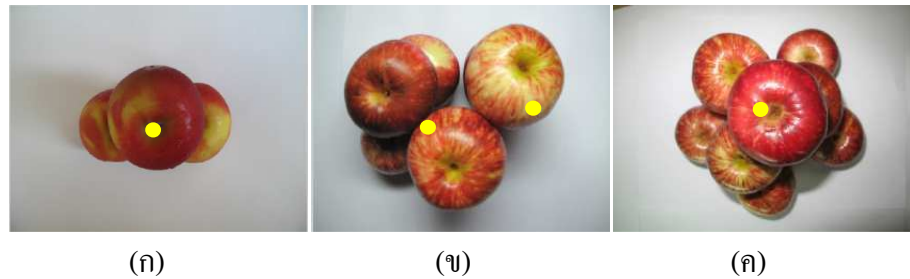
ภาพที่ 3.15 ขั้นตอนการประยุกต์ใช้เทคนิค Watershed Segmentation

ทดลองกับภาพผลไม้ 3 - 8 ผล โดยแสดง Watershed Lines บนภาพสี RGB ตัวอย่าง เพื่อแสดงให้เห็น Watershed Lines ที่เกิดขึ้น



ภาพที่ 3.16 แบ่งพื้นที่วัตถุโดยใช้เทคนิค Watershed Segmentation

จากภาพที่ 3.16 (ก) ถึง (ค) จะใช้ฟีล์มีที่ได้จากการสร้าง Watershed Lines ของ Watershed Transform มาทำการตรวจหาและระบุตำแหน่งของวัตถุที่อยู่ด้านบนสุด โดยใช้เทคนิคจุดศูนย์กลาง ซึ่งแสดงผลการตรวจหาวัตถุ ดังในภาพที่ 3.17 (ก) ถึง (ค) ตามลำดับ



ภาพที่ 3.17 ระบุวัตถุที่อยู่ด้านบนสุดโดยใช้เทคนิค Watershed Segmentation

3.5 ทดลองภาพที่มีการทับซ้อนมากขึ้น

เพื่อเป็นการทดสอบประสิทธิภาพการทำงานของทั้ง 3 เทคนิค ที่นำเสนอในงานวิจัยนี้ จึงทำการทดลองเพิ่มเติมกับตัวอย่างภาพที่มีจำนวนของวัตถุวางทับซ้อนมากขึ้น โดยใช้วัตถุที่มีลักษณะรูปทรงเดียวกันในภาพ



ภาพที่ 3.18 วัตถุที่มีการทับซ้อนมากขึ้น

3.6 ทดลองวัตถุที่มีขนาดต่างกัน

ทดสอบประสิทธิภาพการทำงานของทั้ง 3 เทคนิค จึงได้ทำการทดลองโดยใช้ภาพวัตถุที่มีขนาดต่างกันมาทำการวางแผนช้อน



ภาพที่ 3.19 วัตถุที่มีขนาดต่างกัน

3.7 ทดลองวัตถุรูปทรงสี่เหลี่ยม

ทำการทดลอง โดยใช้ภาพถ่ายวัตถุที่มีลักษณะรูปทรงสี่เหลี่ยม ในการทดลองเราริบภาพกล่องนมและก้อนสนุ่น มาทำการวางทับซ้อนกันในลักษณะต่างๆ เพื่อทดสอบประสิทธิภาพการทำงานของทั้ง 3 เทคนิค ที่นำมาประยุกต์ใช้



ภาพที่ 3.20 วัตถุรูปทรงสี่เหลี่ยม (กล่องนม)



ภาพที่ 3.21 วัตถุรูปทรงสี่เหลี่ยม (ก้อนสนิม)



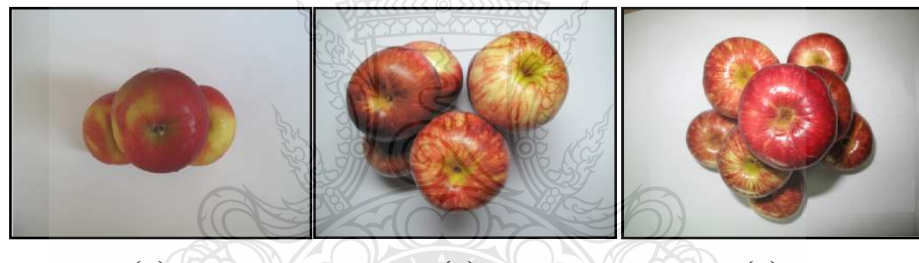
บทที่ 4

ผลการวิจัย

ทดสอบเพื่อตรวจหาวัตถุทรงกลมที่อยู่บนสุดของภาพถ่ายดิจิตอลที่มีการทับซ้อนของวัตถุในภาพ ทดสอบความสามารถในการตรวจหาและระบุวัตถุในเงื่อนไขที่วัตถุมีการวางทับซ้อนของวัตถุในลักษณะต่างๆ โดยนำเทคนิคในการประมวลผลสัญญาณภาพมาประยุกต์ใช้พิจารณาผลการทดสอบการทำงานในเงื่อนไขต่างๆ

4.1 ผลการตรวจหาขอบภาพ

ในขั้นตอนแรกนำภาพถ่ายดิจิตอล RGB ขนาด 480×640 พิกเซล ถ่ายในลักษณะของภาพ 2 มิติ โดยตัวอย่างที่นำมาทดสอบใช้ผลแอบเปิล จำนวนตัวอย่าง 3 - 8 ผลต่อภาพ



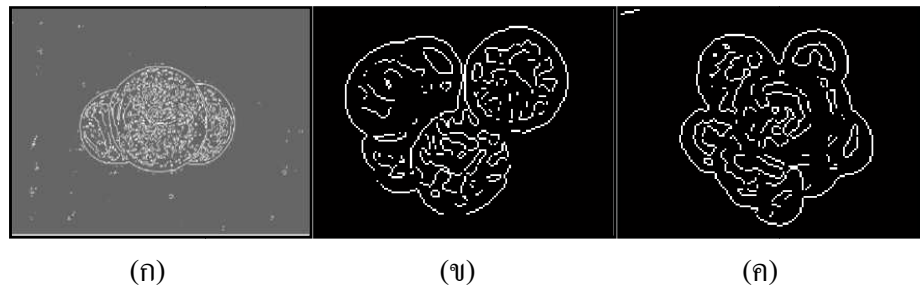
(ก)

(ข)

(ค)

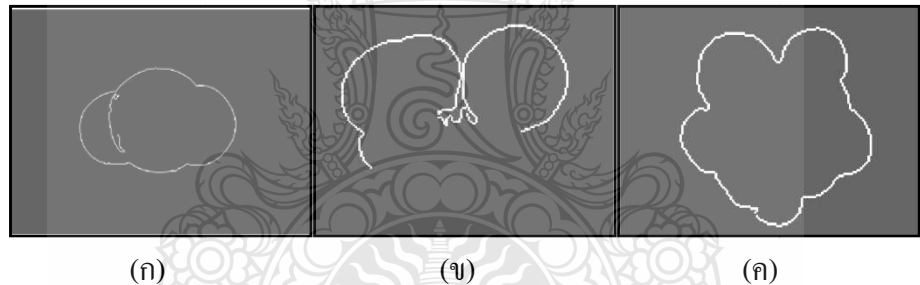
ภาพที่ 4.1 ภาพถ่ายผลแอปเปิล

ทำการแปลงภาพสี RGB เป็นภาพสีเทา โดยใช้สมการที่ 2.1 เพื่อหาขอบภาพของวัตถุ งานวิจัยนี้ใช้การหาขอบภาพ วิธีการของอนุพันธ์อันดับสอง เลือกใช้เทคนิค LOG เป็นตัวดำเนินการจากตัวอย่างภาพที่ 4.1 (ก) ถึง (ค) และคงผลการหาขอบภาพได้ดังภาพที่ 4.2 (ก) ถึง (ค) ตามลำดับ



ภาพที่ 4.2 ผลการหาขอบภาพโดยใช้เทคนิค LOG

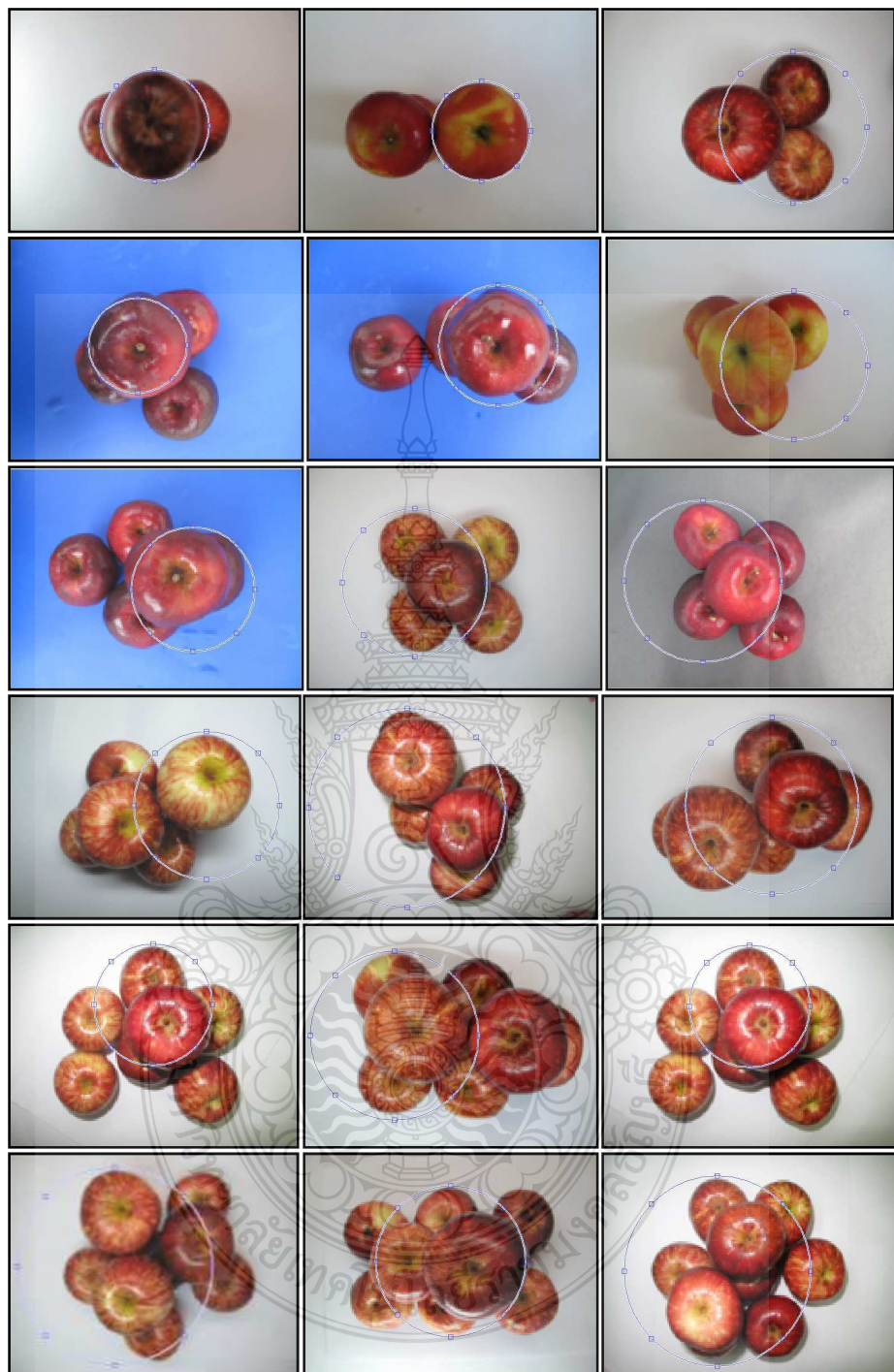
ภาพที่ผ่านการหาขอบภาพยังคงมีสัญญาณรบกวน จึงต้องทำการกรองภาพเพื่อลดสัญญาณรบกวน ในงานวิจัยนี้ใช้การกรองภาพโดยวิธีการคอนโวลูชัน จากนั้นทำการตัดวัตถุในภาพที่มีค่าพิกเซลน้อยๆ หรือสัญญาณรบกวนออกจากภาพ โดยใช้เทคนิค Opening ให้คงไว้แต่พิกเซลของวัตถุที่อยู่ด้านบนหรือวัตถุที่มีความสมบูรณ์ของขอบภาพดังแสดงในภาพที่ 4.3



ภาพที่ 4.3 ผลการลดสัญญาณรบกวนโดยใช้เทคนิค Opening

4.2 ระบุวัตถุที่อยู่บนสุดโดยใช้เทคนิคดิสแตนทรานฟอร์ม

เมื่อได้ขอบภาพของวัตถุ หาตำแหน่งของขอบภาพวัตถุ โดยหาตำแหน่งของขอบภาพที่มีความสมบูรณ์เพื่อใช้เป็นจุดหรือตำแหน่งในการสร้างสัญลักษณ์ หาตำแหน่งของขอบภาพใช้หลักการของเทคนิคดิสแตนทรานฟอร์ม ซึ่งใช้การสร้างสัญลักษณ์เป็นกรอบรูปทรงกลม ผลของการสร้างกรอบวัตถุแสดงในภาพที่ 4.4



ภาพที่ 4.4 ระบุวัตถุที่อยู่ด้านบนสุดโดยสร้างวงกลมครอบ

ตารางที่ 4.1 สรุปผลการทดสอบเทคนิคดีแทนทราบฟอร์ม

ชื่อ	จำนวนภาพ	ผลการทดสอบ	
		พบกลุ่มวัตถุ	พบวัตถุเดียว
แอปเปิล 3 ผล	10	4	6
แอปเปิล 4 ผล	10	6	4
แอปเปิล 5 ผล	10	9	1
แอปเปิล 6 ผล	10	9	1
แอปเปิล 7 ผล	10	10	0
แอปเปิล 8 ผล	10	10	0
รวม	60	48	12
รวมคิดเป็นร้อยละ	100	80	20

จากตารางผลการทดสอบที่ 4.1 เทคนิคนี้สามารถตรวจหาวัตถุที่อยู่ด้านบนของภาพ 2 มิติ ในลักษณะของภาพที่ตรวจพบภาพวัตถุเดียวที่อยู่บนสุดในระนาบ Z ได้ร้อยละ 20.00 และตรวจพบภาพในลักษณะกลุ่มวัตถุ ได้ร้อยละ 80.00 ผลที่ได้เกิดจากขอบภาพของวัตถุที่ได้ไม่ใช่ขอบภาพของวัตถุที่อยู่ด้านบนสุด จึงทำให้มีการทำกราฟแท่งและระบุวัตถุที่อยู่ด้านบนสุดเกิดความผิดพลาด ซึ่งผลที่ได้จะเห็นว่าในกรณีรูปมีจำนวนวัตถุในภาพไม่นัก เทคนิคนี้จะให้ประสิทธิภาพในการตรวจพบวัตถุเดียวได้ดีกว่าภาพที่มีวัตถุจำนวนมาก

4.3 ระบุวัตถุที่อยู่บนสุดโดยใช้เทคนิคจุดศูนย์กลาง (Centroid)

เมื่อได้ขอบภาพของวัตถุจากข้อ 4.1 นำขอบภาพที่ได้มาทำการตรวจหาและระบุวัตถุที่อยู่บนสุด โดยใช้การหาจุดศูนย์กลางจากขอบภาพเพื่อระบุวัตถุ จากภาพผลการทดสอบจุด (Point) ที่ระบุวัตถุที่อยู่ด้านบนสุดโดยใช้เทคนิคจุดศูนย์กลาง ในระนาบ Z ของภาพ 2 มิติ จะมีการสร้างตำแหน่งในภาพ 1 ถึง 2 จุด ทั้งนี้ขึ้นอยู่กับความสมมูลณ์ของขอบภาพวัตถุ ภาพที่มีการระบุจุดของวัตถุบนภาพมากกว่า 1 จุด เกิดจากมีความสมมูลณ์ของขอบภาพวัตถุมากกว่า 1 ขอบภาพวัตถุ จากผลการทดสอบจะเห็นได้ว่าทั้ง 2 จุดจะเป็นวัตถุที่ไม่ถูกหับซ้อน ถึงแม้จะไม่ได้อยู่บนสุดของภาพเมื่อใช้สายตามนูญ์ในกระบวนการ



ภาพที่ 4.5 ผลการระบุจุดที่อยู่ด้านบนสุดโดยใช้เทคนิคจุดศูนย์ก่วง

ตารางที่ 4.2 สรุปผลการทดลองเทคนิคจุดศูนย์ถ่วง

ชื่อ	จำนวนภาพ	ผลการทดลอง
แอปเปิล 3 ผล	10	9
แอปเปิล 4 ผล	10	10
แอปเปิล 5 ผล	10	9
แอปเปิล 6 ผล	10	8
แอปเปิล 7 ผล	10	6
แอปเปิล 8 ผล	10	7
ผลรวม	60	49
ผลรวมคิดเป็นร้อยละ	100	81.67

จากตารางสรุปผลการทดลองที่ 4.2 ตรวจหาวัตถุที่อยู่บนสุดโดยใช้การหาจุดศูนย์ถ่วงของขอบภาพ สามารถระบุวัตถุในลักษณะของวัตถุเดียวที่อยู่ด้านบนสุดได้ร้อยละ 81.67 ในส่วนของความผิดพลาดที่ไม่สามารถระบุวัตถุที่อยู่บนสุดได้ ลักษณะดังกล่าวเกิดจากขอบภาพวัตถุในส่วนของวัตถุที่ไม่ได้อยู่ด้านบนสุดมีความสมบูรณ์มากกว่าวัตถุที่อยู่ด้านบน ผลที่ได้จะพบว่าเทคนิคนี้ให้ประสิทธิภาพที่ดีกับภาพวัตถุที่มีความซับซ้อนไม่นักนั่น 3 - 5 ผล มากกว่าเนื่องจากด้วยจำนวนวัตถุที่ไม่นักและลักษณะของวัตถุรูปทรงที่เป็นทรงกลม จึงทำให้ลักษณะในการเรียงทับซ้อนวัตถุที่อยู่ด้านบนสุดมีความสมบูรณ์ของขอบภาพ มากกว่าขอบภาพของวัตถุที่มีจำนวนวัตถุในภาพ 6 - 8 ผล

4.4 ระบุวัตถุที่อยู่บนสุดโดยใช้เทคนิค Watershed Segmentation

เมื่อได้ขอบภาพของวัตถุจากหัวข้อที่ 4.1 นำขอบภาพที่ได้มาทำการตรวจหาวัตถุที่อยู่บนสุดโดยการประยุกต์ใช้เทคนิค Watershed Segmentation ในการแบ่งพื้นที่ที่จะระบุวัตถุที่อยู่ด้านบนสุดในภาพ



ภาพที่ 4.6 ผลการระบุจุดที่อยู่ด้านบนสุดโดยใช้เทคนิค Watershed Segmentation

ตารางที่ 4.3 สรุปผลการทดลองเทคนิค Watershed Segmentation

ชื่อ	จำนวนภาพ	ผลการทดลอง
แอปเปิล 3 ผล	10	9
แอปเปิล 4 ผล	10	9
แอปเปิล 5 ผล	10	10
แอปเปิล 6 ผล	10	9
แอปเปิล 7 ผล	10	10
แอปเปิล 8 ผล	10	9
ผลรวม	60	56
ผลรวมคิดเป็นร้อยละ	100	93.33

จากตารางสรุปผลการทดลองที่ 4.3 การตรวจหาวัตถุที่อยู่บนสุด โดยการประยุกต์ใช้เทคนิคนี้สามารถตรวจหาและระบุวัตถุที่อยู่ด้านบนสุดในลักษณะที่ตรวจพบวัตถุเดียวได้ร้อยละ 93.33 ในส่วนของร้อยละ 6.67 ของเทคนิคนี้ สามารถระบุวัตถุที่อยู่ในภาพในลักษณะของวัตถุเดียวได้แต่ไม่ใช่วัตถุที่อยู่ด้านบนสุด ผลการระบุที่ผิดพลาดเกิดจากค่าเกรดรีนต์ของวัตถุที่ไม่ใช่วัตถุด้านบนสุดมีค่ามากกว่าวัตถุที่อยู่ด้านบนสุด เมื่อสร้าง Watershed Lines ทำให้เส้นขอบที่เกิดขึ้นไม่ใช่ตำแหน่งของวัตถุที่อยู่ด้านบนสุด

4.5 เปรียบเทียบผลการทดลอง

4.5.1 ทดลองวัตถุทรงกลม: ผลแอปเปิลจำนวน 3 - 8 ผลต่อภาพ

นำผลการทดลองที่ประยุกต์ใช้เทคนิคดิสแตนทรานฟอร์ม เทคนิคการหาจุดศูนย์ถ่วงและเทคนิค Watershed Segmentation มาทำการเปรียบเทียบผลการทดลอง ภาพที่ใช้จะเป็นชุดเดียวกันจำนวน 60 ภาพ โดยผลที่ใช้ในการเปรียบเทียบจะใช้ผลการทดลองที่สามารถระบุวัตถุที่อยู่บนสุดในลักษณะวัตถุเดียว

ตารางที่ 4.4 เปรียบเทียบผลการทดลองภาพผลแอปเปิล 3 - 8 ผลต่อภาพ

ชื่อ	จำนวน ภาพ	ผลการทดลอง		
		ดิสแตนทรานฟอร์ม (วัตถุเดียว)	จุดศูนย์ถ่วง	Watershed Segmentation
3 ผล	10			
4 ผล	10			
5 ผล	10			
6 ผล	10			
7 ผล	10			
8 ผล	10			

ตารางที่ 4.5 สรุปผลการทดลอง 3 เทคนิค: วัตถุทรงกลมผลแอปเปิล 3 - 8 ผลต่อภาพ

ชื่อ	จำนวนภาพ	ผลการทดลอง		
		คิดแทนทรงฟอร์ม (วัตถุเดี่ยว)	จุดศูนย์กลาง	Watershed Segmentation
แอปเปิล 3 ผล	10	6	9	9
แอปเปิล 4 ผล	10	4	10	9
แอปเปิล 5 ผล	10	1	9	10
แอปเปิล 6 ผล	10	1	8	9
แอปเปิล 7 ผล	10	0	6	10
แอปเปิล 8 ผล	10	0	7	9
ผลรวม	60	12	49	56
ผลรวมคิดเป็นร้อยละ	100	20.00	81.67	93.33

จากตารางสรุปผลจะเห็นได้ว่า การตรวจหาวัตถุโดยใช้การสร้างกรอบครอบวัตถุของ เทคนิคคิดแทนทรงฟอร์ม (วัตถุเดี่ยว) มีประสิทธิภาพในการตรวจหาวัตถุที่อยู่บนสุดในลักษณะวัตถุเดี่ยวได้ร้อยละ 20.00 เทคนิคการหาจุดศูนย์กลางมีประสิทธิภาพในการตรวจหาวัตถุที่อยู่บนสุดได้ร้อยละ 81.67 และการประยุกต์ใช้เทคนิค Watershed Segmentation มีประสิทธิภาพในการตรวจหาวัตถุที่อยู่บนสุดได้ร้อยละ 93.33 จากการทดลองเบรี่บันเทียนพบว่าเทคนิค Watershed Segmentation นี้มีประสิทธิภาพในการตรวจหาวัตถุที่อยู่บนสุดได้มีประสิทธิภาพสูงสุด เมื่อเทียบกับเทคนิคดังกล่าวใช้ค่าเกรเดียนต์ในการสร้าง Watershed Lines ซึ่งวัตถุที่อยู่ด้านบนของภาพจะมีค่ามากกว่าวัตถุที่อยู่ด้านล่าง และด้วยจำนวนวัตถุในภาพที่มีการทับซ้อนไม่มากนัก ทำให้เทคนิคดังกล่าวมีประสิทธิภาพสูงกว่าเทคนิคคิดแทนทรงฟอร์มและเทคนิคจุดศูนย์กลางที่ใช้ค่าของขอบภาพในการตรวจหาและระบุวัตถุที่อยู่บนสุด

4.5.2 ทดลองภาพวัตถุที่มีการทับซ้อนมากขึ้น

ทำการทดลองเพิ่มจำนวนวัตถุในภาพตัวอย่างให้มีจำนวนของวัตถุวางทับซ้อนมากขึ้น โดยใช้วัตถุที่มีลักษณะรูปทรงกลม ทดลองเบรี่บันเทียนผลการทดลองภาพที่มีการทับซ้อนมากขึ้นของห้อง 3 เทคนิค ดังแสดงตัวอย่างภาพผลการทดลองในตารางที่ 4.6 เบรี่บันเทียนผลการทดลองภาพที่มีการทับซ้อน

ตารางที่ 4.6 เปรียบเทียบผลการทดลองภาพที่มีการหับช้อน

ชื่อ	จำนวนภาพ	ผลการทดลอง		
		ดิสแตนทรานฟอร์ม	จุดศูนย์ถ่วง	Watershed Segmentation
ส้ม (1)	15			
ส้ม (2)	10			
แตงโม	20			

ตารางที่ 4.7 สรุปผลการทดลอง 3 เทคนิค: วัดถูกทรงกลมที่มีการหับช้อนมากขึ้น

ชื่อ	จำนวนภาพ	ผลการทดลอง		
		ดิสแตนทรานฟอร์ม	จุดศูนย์ถ่วง	Watershed Segmentation
ส้ม (1)	15	3	13	2
ส้ม (2)	10	0	10	1
แตงโม	20	3	8	3
ผลรวม	45	6	31	6
ผลรวมคิดเป็นร้อยละ	100	13.33	68.88	13.33

ตารางที่ 4.7 จะเห็นได้ว่า เมื่อนำภาพที่มีจำนวนของวัตถุทางทับซ้อนมากขึ้น การตรวจหาและระบุวัตถุที่อยู่บนสุดในลักษณะของวัตถุเดียว โดยใช้เทคนิคจุดศูนย์กลางมีประสิทธิภาพในการตรวจหาวัตถุและระบุวัตถุที่อยู่บนสุด ได้ร้อยละ 68.88 ซึ่งเมื่อเทียบกับการสร้างกรอบครอบวัตถุที่ใช้เทคนิคดิสแตนทรานฟอร์มและการประยุกต์ใช้เทคนิค Watershed Segmentation ที่ได้ผลการทดลองเท่ากัน คือ ร้อยละ 13.33 จากการทดลองพบว่าเทคนิคจุดศูนย์กลางมีประสิทธิภาพในการตรวจหาวัตถุที่อยู่บนสุดของภาพที่มีการทับซ้อนได้สูงกว่าเทคนิคอื่นๆ ที่นำเสนอเนื่องจากเมื่อภาพมีจำนวนวัตถุมากๆ เทคนิคดิสแตนทรานฟอร์มที่ใช้หลักการสแกนหาขอบจะเกิดความผิดพลาดเนื่องจากภาพจะมีขอบภาพวัตถุจำนวนมากในภาพจึงทำให้ผลการสแกนหาพบขอบภาพที่ไม่ใช่วัตถุที่อยู่ด้านบนสุดก่อนจึงทำการระบุผิดพลาด ในส่วนของการประยุกต์ใช้เทคนิค Watershed Segmentation เมื่อจำนวนวัตถุในภาพมีจำนวนมาก Watershed Lines ที่สร้างขึ้นจะมีจำนวนมากขึ้นด้วยการทำการระบุวัตถุที่อยู่บนสุดเกิดความผิดพลาด ไม่สามารถระบุวัตถุที่อยู่บนสุดได้ ค่าความผิดพลาดดังกล่าวเรียกว่า Oversegmentation

4.5.3 ทดลองวัตถุที่มีขนาดต่างกัน

เพื่อเป็นการทดสอบประสิทธิภาพการทำงานของทั้ง 3 เทคนิค จึงได้ทำการทดลองโดยใช้ภาพวัตถุที่มีขนาดต่างกันมาทำการวางแผนช้อน จำนวนของภาพที่นำเสนอในแต่ละรูปแบบที่ใช้ในการทดลองมีจำนวนมากกว่า 1 ภาพ แต่เมื่อทำการทดลองภาพที่รูปแบบในภาพเหมือนกัน ผลการทดลองที่ได้มามีผลเช่นเดียวกัน ดังเช่น ภาพตัวอย่างภาพผลบัญชีของบันลอกองรุ่น ทำการทดลอง 7 ภาพ โดยเคลื่อนย้ายผลบัญชีไปตามจุดต่างๆ ผลที่ได้ทั้ง 7 ภาพ เมื่อนอกันดังแสดงผลในตารางที่ 4.8 ผลการทดลองเมื่อวัตถุมีขนาดต่างกัน (ผลบัญชีของบันลอกองรุ่น) คือ ใช้วิธีสร้างกรอบวงกลมครอบวัตถุโดยใช้เทคนิคดิสแตนทรานฟอร์มและเทคนิคจุดศูนย์กลางสามารถตรวจหาและระบุวัตถุที่อยู่บนสุดได้ แต่เทคนิค Watershed Segmentation ไม่สามารถตรวจหาและระบุวัตถุที่อยู่บนสุดได้ โดยผลที่ได้คือ จะทำการระบุวัตถุที่ไม่ใช่วัตถุที่อยู่บนสุด

ตารางที่ 4.8 ผลการทดลองเมื่อวัดถุน้ำขนาดต่างกัน (ผลบัวขวางบนผลอุ่น)

ลำดับภาพ	ผลการทดลอง		
	ดิสแตนทรานฟอร์ม	จุดศูนย์ถ่วง	Watershed Segmentation
1			
2			
3			
4			
5			
6			
7			

ตารางที่ 4.9 ผลการทดลองเมื่อวัดคุณภาพตามต่างกัน

ชื่อ	ผลการทดลอง		
	ดิสแตนทรานฟอร์ม	จุดศูนย์ถ่วง	Watershed Segmentation
แตงโม+ส้ม			
องุ่น+บัวย			
ส้ม+แอปเปิล			
ส้ม+สาลี			
ส้ม+องุ่น			
บัวย+องุ่น			

จากผลการทดลองเมื่อวัตถุมีขนาดต่างกันดังแสดงในตารางที่ 4.9 ผลการทดลองเมื่อวัตถุมีขนาดต่างกัน เราจะเห็นว่าในกรณีที่วัตถุมีขนาดต่างกัน คือ เล็ก - ใหญ่ และสีของวัตถุต่างกัน ปัจจัยดังกล่าวมีผลต่อผลการทดลอง ผลที่ได้หากทำการวิเคราะห์ในแต่ละคุณลักษณะ เช่น สีของวัตถุที่ต่างกัน หากวัตถุที่ขัดความด้านบนมีสีที่อ่อนกว่าสีของวัตถุที่อยู่ด้านล่าง ผลการทดลองที่ได้สามารถตรวจหาและระบุวัตถุที่อยู่บนสุดได้ โดยใช้เทคนิคดิสแตนทรานฟอร์มและการใช้เทคนิคการหาจุดศูนย์ถ่วง แต่การประยุกต์ใช้เทคนิค Watershed Segmentation ผลการตรวจหาและระบุวัตถุมีความผิดพลาดไม่สามารถตรวจหาและระบุวัตถุได้ในทางกลับกันหากวัตถุที่อยู่ด้านบนมีสีเข้มกว่าวัตถุที่อยู่ด้านล่างเมื่อทำการทดลองจะพบว่าทั้ง 3 เทคนิค ไม่สามารถตรวจหาและระบุวัตถุที่อยู่บนสุดได้ นอกจากนี้ยังขึ้นอยู่กับคุณลักษณะในด้านของขนาดรูปทรงเข้ามาเกี่ยวข้องด้วย คือ หากวัตถุที่อยู่ด้านบนมีสีอ่อนกว่าสีของวัตถุที่อยู่ด้านล่างแต่วัตถุดังกล่าวมีขนาดเล็กกว่าวัตถุที่อยู่ด้านล่าง ผลที่ได้ก็จะแตกต่างไป เช่น ภาพผลสัมภានบันผลแต่งไม ผลที่ได้คือสามารถตรวจหาและระบุวัตถุที่อยู่ด้านบนโดยใช้เทคนิคดิสแตนทรานฟอร์มและการประยุกต์ใช้เทคนิค Watershed Segmentation แต่เทคนิคการหาจุดศูนย์ถ่วง ไม่สามารถตรวจหาและระบุวัตถุที่อยู่บนสุดได้ วัตถุที่อยู่ด้านบนมีสีอ่อนกว่าและมีขนาดใหญ่กว่าวัตถุที่อยู่ด้านล่างผลการทดลองที่ได้ คือ มีประสิทธิภาพในการตรวจหาและระบุวัตถุที่อยู่บนสุดได้ โดยใช้เทคนิคดิสแตนทรานฟอร์มและการใช้เทคนิคการหาจุดศูนย์ถ่วง ซึ่งการประยุกต์ใช้เทคนิค Watershed Segmentation ผลการตรวจหาและระบุวัตถุเกิดความผิดพลาดไม่สามารถตรวจหาและระบุวัตถุที่อยู่บนสุดได้

4.5.4 ทดลองวัตถุที่มีรูปทรงสี่เหลี่ยม

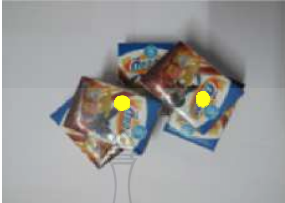
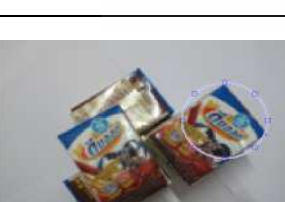
จากการทดลองเปลี่ยนรูปทรงวัตถุในภาพที่มีการวางแผนช้อนเป็นวัตถุรูปทรงสี่เหลี่ยม เพื่อจุดประสิทธิภาพการตรวจหาและวัตถุที่อยู่บนสุดในภาพทั้ง 3 เทคนิค ที่นำมาประยุกต์ใช้ในงานวิจัยนี้ วัตถุที่นำทดลองจะใช้กล่องน้ำแข็งก้อนสบู่ เพื่อคุ้มประสิทธิภาพการทำงานเบื้องต้น ในส่วนของการใช้เทคนิคดิสแตนทรานฟอร์ม การสร้างกรอบครอบวัตถุที่ใช้ยังคงใช้กรอบครอบที่เป็นทรงกลมในการระบุวัตถุที่อยู่บนสุด ในงานวิจัยต่อไปศึกษาและพัฒนาเพิ่มเติมการเปลี่ยนการสร้างกรอบวัตถุให้มีรูปทรงตามรูปทรงของวัตถุที่นำมาใช้เป็นตัวอย่างในการทดลอง

ตารางที่ 4.10 สรุปผลการทดลองวัดคุณภาพน้ำต่อไปนี้

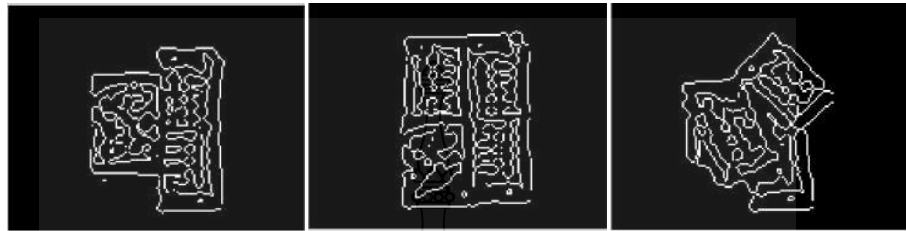
ชื่อ	จำนวนภาพ	ผลการทดลอง		
		ดิสแตนทรานฟอร์ม (กลุ่มวัดคุณภาพ)	ชุดคุณภาพต่อไปนี้	Watershed Segmentation
กล่องน้ำ	31	15	7	9
คิดเป็นร้อยละ	100	48.39	22.58	29.03

ผลการทดลองจะพบว่าการตรวจหาและระบุวัดคุณภาพน้ำต่อไปนี้ ได้ใช้เทคนิคดิสแตนทรานฟอร์มจะให้ผลในลักษณะพนักคุณภาพต่อไปนี้ 48.39 ซึ่งภาพการทดลองชุดนี้ไม่สามารถตรวจพบวัดคุณภาพต่อไปนี้ได้ เนื่องจากขอบภาพที่ได้ยังคงมีขอบภาพของคลื่นลมของกล่องน้ำ ที่ไม่สามารถตัดสัญญาณรบกวนดังกล่าวได้ เมื่อทำการสแกนหาขอบภาพวัดคุณภาพต่อไปนี้ให้เกิดความผิดพลาด เทคนิคการหาชุดคุณภาพต่อไปนี้มีประสิทธิภาพในการตรวจหาและระบุวัดคุณภาพต่อไปนี้อยู่บนสุดในลักษณะของตรวจพบวัดคุณภาพต่อไปนี้ได้ถูกต้องร้อยละ 22.58 และการประยุกต์ใช้เทคนิค Watershed Segmentation มีประสิทธิภาพในการตรวจหาและระบุวัดคุณภาพต่อไปนี้อยู่บนสุดได้ร้อยละ 29.03

ตารางที่ 4.11 ผลการทดลองวัดถูรปทรงคี่เหลี่ยม (กล่องนม)

ผลการทดลอง		
ดิสแตนทรานฟอร์ม	จุดศูนย์ถ่วง	Watershed Segmentation
		
		
		
		
		
		

ผลในการตรวจหาและระบุวัตถุที่อยู่บนสุด เมื่อวัดถูมีรูปทรงสี่เหลี่ยม (กล่องนम) มีประสิทธิภาพในการตรวจหาและระบุวัตถุที่อยู่บนสุดพบน้อยมาก เมื่อเปรียบเทียบกับผลตารางที่ 4.5 ทางผู้วิจัยดึงข้อสังเกตว่าวัตถุสี่เหลี่ยม (กล่องนม) ที่นำมาใช้มีลวดลายและสีต่างๆ บนวัตถุ เมื่อทำการประมวลผลภาพทำให้เกิดขอบภาพของลวดลายนอกเหนือจากขอบภาพของวัตถุ (กล่องนม)



ภาพที่ 4.7 ขอบภาพวัตถุที่มีรูปทรงสี่เหลี่ยม (กล่องนม)

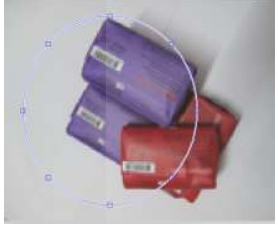
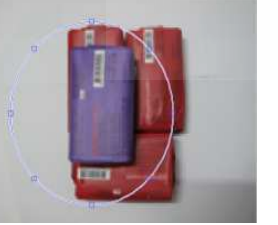
จากการทดลองโดยใช้วัตถุในภาพเป็นกล่องนม ผลการทดลองที่ได้มีความผิดพลาดสูง จึงดำเนินการเปลี่ยนวัตถุที่ใช้เป็นภาพวัตถุที่มีรูปทรงสี่เหลี่ยม (ก้อนสนูป) ที่มีลวดลายและสีบนพื้นของวัตถุน้อยกว่าภาพที่มีรูปทรงสี่เหลี่ยม (กล่องนม)

ตารางที่ 4.12 สรุปผลการทดลองวัตถุรูปทรงสี่เหลี่ยม (ก้อนสนูป)

ชื่อ	จำนวนภาพ	ผลการทดลอง		
		คิตแแตนทรานฟอร์ม (กลุ่มวัตถุ)	จุดศูนย์ถ่วง	Watershed Segmentation
ก้อนสนูป	39	38	24	29
คิตเป็นร้อยละ	100	97.44	61.54	74.36

ผลการทดลองการตรวจหาและระบุวัตถุรูปทรงสี่เหลี่ยม (ก้อนสนูป) โดยการประยุกต์ใช้เทคนิคคิตแแตนทรานฟอร์ม จะมีประสิทธิภาพตรวจหาและระบุวัตถุที่อยู่บนสุดในลักษณะพบกลุ่มวัตถุร้อยละ 97.44 ซึ่งไม่สามารถตรวจพบวัตถุในลักษณะเดียวได้ เนื่องจากขอบภาพที่ได้ข้าง Kong มีขอบภาพของลวดลายของวัตถุ ในขณะที่เทคนิคการหาจุดศูนย์ถ่วงมีประสิทธิภาพตรวจหาและระบุวัตถุที่อยู่บนสุดในลักษณะวัตถุเดียวได้ถูกต้องร้อยละ 61.54 และการประยุกต์ใช้เทคนิค Watershed Segmentation มีประสิทธิภาพตรวจหาและระบุวัตถุที่อยู่บนสุดในลักษณะวัตถุเดียวได้ร้อยละ 74.36

ตารางที่ 4.13 ผลการทดลองวัดถูรูปทรงคิ่งเหลี่ยม (ก้อนสนุ่ง)

ผลการทดลอง		
ดิสแตนทรานฟอร์ม	จุดศูนย์ถ่วง	Watershed Segmentation
		
		
		
		
		

บทที่ 5

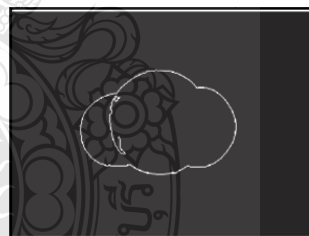
สรุปผลการวิจัย การอภิปรายผลและข้อเสนอแนะ

5.1 การหาขอบภาพวัตถุ

นำเสนองานการตรวจหาและระบุวัตถุที่อยู่บนสุดของภาพที่ทับซ้อน ภาพถ่ายดิจิตอล 2 มิติ ภาพขนาด 640 x 480 พิกเซล ใช้ภาพถ่ายวัตถุที่ถูกจัดวางทับซ้อนในลักษณะต่างๆ การทดลองนี้เราใช้เทคนิคในการหาขอบภาพของวัตถุแล้วทำการตรวจจับขอบของวัตถุที่มีความสมบูรณ์ของขอบภาพ จากนั้นทำการระบุวัตถุที่อยู่บนสุดโดยใช้เทคนิคต่างๆ ซึ่งในการหาขอบภาพของวัตถุในงานวิจัยนี้ใช้การหาขอบภาพโดยใช้อัลกอริทึมด้านสอง เทคนิคของ LOG ที่ให้ผลการหาขอบภาพวัตถุที่มีความสมบูรณ์ นอกจากนั้นเรายังใช้การกรองภาพแบบคอนโวโลชัน ที่ใช้ตัวกรอง Motion ที่เป็นตัวดำเนินการเชิงเส้นเข้ามาช่วยในการกรองสัญญาณรบกวนในภาพ ในกระบวนการระบุวัตถุที่อยู่บนสุดใช้แนวคิดที่ว่าวัตถุที่มีขอบภาพสมบูรณ์ ขอบภาพนั้นจะเป็นขอบภาพของวัตถุที่อยู่บนสุด ทำการตัดพิกเซลที่มีค่าน้อยออกจากภาพ เพื่อให้เหลือพิกเซลของขอบภาพวัตถุที่มีความสมบูรณ์โดยใช้เทคนิค Opening ซึ่งเป็นส่วนหนึ่งในการประยุกต์ใช้เทคนิคmorphology



(ก) ขอบภาพวัตถุที่ผ่านการกรอง



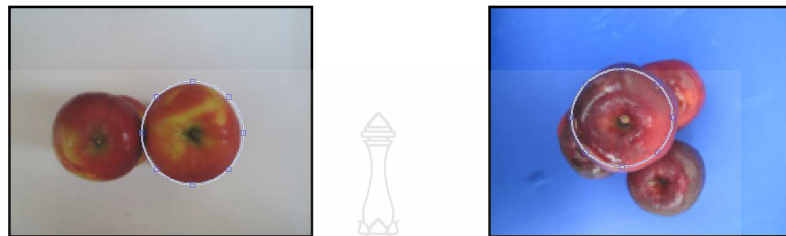
(ข) ขอบภาพวัตถุที่ผ่านเทคนิค Opening

ภาพที่ 5.1 การหาขอบภาพวัตถุ

5.2 ผลการทดลองการตรวจหาและระบุวัตถุที่อยู่บนสุดโดยใช้เทคนิคดิสแตนทรานฟอร์ม

หลักการของเทคนิคดิสแตนทรานฟอร์มในการตรวจหาและระบุวัตถุที่อยู่บนสุด ใช้ความเหมือนและแตกต่างของพิกเซลที่อยู่ใกล้เคียงกัน เพื่อเป็นการระบุว่าพิกเซลใดเป็นวัตถุและพื้นที่ใดเป็นพื้นหลัง ทำการระบุเพิ่มเติม คือ พื้นที่ใดเป็นพื้นที่ของวัตถุที่เราสนใจ พื้นที่ที่เราสนใจ คือ พื้นที่ของวัตถุที่อยู่บนสุดในภาพ 2 มิติ ทำการระบุจุดของพื้นที่ที่ตรวจพบว่าเป็นขอบภาพวัตถุ แล้วสร้าง

วงกลมครอบวัตถุตามจุดที่ตรวจพบ ผลจากการใช้เทคนิคดิสแตนทรานฟอร์มในการตรวจหาและระบุวัตถุที่อยู่บนสุดในงานวิจัยนี้ผลการทดลองที่ได้จะมี 2 ลักษณะ คือ ตรวจพบวัตถุเดี่ยว และพบกลุ่มวัตถุ



ภาพที่ 5.2 ผลการตรวจพบวัตถุเดี่ยว



ภาพที่ 5.3 ผลการตรวจพบกลุ่มวัตถุ

จากการทดลองใช้ภาพตัวอย่างผลแอปเปิล จำนวน 3 - 8 ผลต่อภาพ จำนวน 60 ภาพ พบว่า เทคนิคนี้มีประสิทธิภาพในการตรวจพบวัตถุที่อยู่บนสุดในลักษณะพบกลุ่มวัตถุร้อยละ 80.00 และ ลักษณะพบวัตถุเดี่ยวร้อยละ 20.00 โดยข้อผิดพลาดเกิดขึ้นจากการควบคุมทิศทางของแสงที่ตก กระแทบวัตถุในภาพไม่สม่ำเสมอจึงทำให้ขอบวัตถุในภาพไม่สมบูรณ์

5.3 ผลการทดลองการตรวจหาและระบุวัตถุที่อยู่บนสุดโดยใช้เทคนิคหาจุดศูนย์ถ่วง

นำขอบภาพวัตถุที่ทำการตัดพิเศษๆ ที่มีค่าน้อยๆ ออกจากภาพแล้ว คงเหลือแต่ขอบภาพ วัตถุที่สมบูรณ์มาใช้ในการตรวจหาและระบุวัตถุที่อยู่บนสุดโดยใช้เทคนิคหาจุดศูนย์ถ่วงในการคำนวณพื้นที่ของจากขอบภาพเพื่อหาตำแหน่งของวัตถุ และทำการระบุตำแหน่งของวัตถุด้วยการสร้างจุดลงบนภาพ RGB



ภาพที่ 5.4 ผลการระบุวัตถุที่อยู่ด้านบนโดยใช้เทคนิคจุดศูนย์กลาง

จากการทดลองใช้ภาพตัวอย่างผลแอปเปิลจำนวน 3 - 8 ผลต่อภาพ จำนวน 60 ภาพ พบว่า เทคนิคนี้มีประสิทธิภาพในการตรวจพบวัตถุที่อยู่บนสุดได้ร้อยละ 81.67 ทั้งนี้ประสิทธิภาพในการ ตรวจหาและระบุวัตถุที่อยู่บนสุดในระนาบ Z ของภาพ 2 มิติ ของเทคนิคหาจุดศูนย์กลางจะขึ้นอยู่กับ ความสมบูรณ์ของขอบภาพวัตถุ

5.4 ผลการทดลองการตรวจหาและระบุวัตถุที่อยู่บนสุดโดยใช้เทคนิค Watershed Segmentation

เทคนิค Watershed Segmentation จะเป็นลักษณะของการแบ่งพื้นที่ของวัตถุในภาพ ออกเป็นส่วนๆ โดยใช้หลักการสร้างเส้นแบ่งพื้นที่ของ Watershed Transform ซึ่งพื้นที่ดังกล่าว นำมาใช้หาจุดศูนย์กลางของพื้นที่ที่ถูกแบ่งโดยใช้เทคนิคจุดศูนย์กลาง



ภาพที่ 5.5 ผลการระบุวัตถุที่อยู่บนสุดโดยใช้เทคนิค Watershed Segmentation

จากการทดลองใช้ภาพตัวอย่างผลแอปเปิลจำนวน 3 - 8 ผลต่อภาพ จำนวน 60 ภาพ พบว่า เทคนิคนี้มีประสิทธิภาพในการตรวจพบวัตถุที่อยู่บนสุดได้ร้อยละ 93.33 ในลักษณะที่ตรวจพบวัตถุ เดียวได้ ในส่วนของภาพที่มีความผิดพลาดไม่สามารถตรวจพบวัตถุที่อยู่บนสุดได้เกิดจากพื้นที่ถูก สร้างเส้นแบ่งไม่ใช่พื้นที่ของวัตถุที่อยู่บนสุดในภาพดังแสดงในภาพที่ 5.6



(ก) Watershed Lines



(ข) ระบุวัตถุ

ภาพที่ 5.6 ลักษณะของการระบุวัตถุที่ผิดพลาด

จากภาพที่ 5.6 แสดงให้เห็นว่าพื้นที่ที่สร้างเส้นแบ่งไม่ใช้พื้นที่ของวัตถุที่อยู่บนสุด แต่เป็นพื้นที่ของวัตถุด้านล่างที่ไม่ถูกทับซ้อน ซึ่งในการตรวจหาพื้นที่ของ Watershed Segmentation พบว่าพื้นที่ดังกล่าวมีค่าเกรดียนต์มากกว่าพื้นที่ของวัตถุที่อยู่บนสุด

5.5 เปรียบเทียบผลการทดลอง 3 เทคนิค: วัตถุทรงกลมผลแอปเปิล 3 - 8 ผลต่อภาพ

นำผลการทดลองของทั้ง 3 เทคนิค มาทำการเปรียบเทียบผลการทำงานในลักษณะของการตรวจพบวัตถุเดียว จะพบว่าการประยุกต์ใช้เทคนิค Watershed Segmentation มีประสิทธิภาพในการตรวจพบวัตถุร้อยละ 93.33 ซึ่งมากกว่าเทคนิคดิสแตนทรานฟอร์มที่ตรวจพบวัตถุร้อยละ 20.00 และเทคนิคหาจุดศูนย์ถ่วง สามารถตรวจพบวัตถุร้อยละ 81.67 จึงสรุปได้ว่าในการทดลองภาพผลแอปเปิลจำนวน 3 - 8 ผลต่อภาพ ซึ่งมีจำนวนของวัตถุที่มีความทับซ้อนของวัตถุไม่มาก และลักษณะของวัตถุเป็นรูปทรงกลม การประยุกต์ใช้เทคนิค Watershed Segmentation มีประสิทธิภาพสูงสุด

5.6 เปรียบเทียบผลการทดลอง 3 เทคนิค: วัตถุทรงกลมที่มีการทับซ้อนมากขึ้น

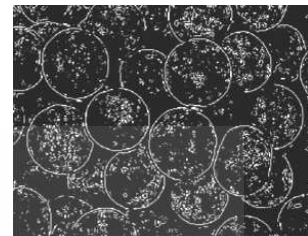
นำภาพวัตถุทรงกลมที่มีการทับซ้อนมากขึ้นจำนวน 45 ภาพ มาทดลองกับทั้ง 3 เทคนิค ผลที่ได้จะพบว่าเมื่อวัตถุมีความทับซ้อนมากขึ้น เทคนิคการหาจุดศูนย์ถ่วงมีประสิทธิภาพในการตรวจหาและระบุวัตถุที่อยู่บนสุดมากที่สุด คือ ร้อยละ 68.88 ลำดับถัดไปเป็นการใช้เทคนิคดิสแตนทรานฟอร์มที่ตรวจพบวัตถุในลักษณะวัตถุเดียวได้ร้อยละ 13.33 ซึ่งเท่ากับการประยุกต์ใช้เทคนิค Watershed Segmentation

จากการทดลองจะพบว่า เมื่อภาพวัตถุมีความทับซ้อนมากขึ้นประสิทธิภาพของการประยุกต์ใช้เทคนิค Watershed Segmentation ลดลงเป็นอย่างมากทั้งนี้ เพราะเมื่อวัตถุมากขึ้นจะเกิดการแบ่งพื้นที่ผิดพลาดที่เรียกว่า Oversegmentation ในส่วนของการใช้เทคนิคดิสแตนทรานฟอร์มมี

ประสิทธิภาพในการตรวจหาและระบุวัตถุที่เป็นลักษณะเดี่ยวได้ดีขึ้น เพราะเมื่อภาพมีความทับซ้อนมากขึ้นความคมชัดของขอบภาพวัตถุที่อยู่ด้านบนจะมีความชัดเจนขึ้น



(ก) วัตถุมีการทับซ้อนน้อย



(ข) วัตถุมีการทับซ้อนมาก

ภาพที่ 5.7 ลักษณะขอบภาพของวัตถุ

5.7 เปรียบเทียบผลการทดลอง 3 เทคนิค: วัตถุทรงกลมที่มีขนาดต่างกัน

นำภาพวัตถุรูปทรงกลมที่มีขนาดต่างกันและต่างชนิดกันมาทำการทดลองกับทั้ง 3 เทคนิค ผลที่ได้จะพบว่าภาพแต่ละรูปแบบให้ผลการทดลองที่แตกต่างกันไป เช่น เมื่อภาพมีลักษณะเป็นภาพที่วัตถุด้านบนมีสีอ่อนกว่าวัตถุด้านล่าง ผลที่ได้จากการทดลองทั้ง 3 เทคนิค คือ เทคนิคดิสแตนทรานฟอร์มและเทคนิคการหาจุดศูนย์ถ่วงสามารถตรวจพบวัตถุที่อยู่บนสุดได้ แต่การประยุกต์ใช้เทคนิค Watershed Segmentation ไม่สามารถตรวจพบได้เนื่องจากภาพที่ใช้มีความทับซ้อนมากจึงเกิดความผิดพลาดในการแบ่งพื้นที่ หรือหากวัตถุที่อยู่ด้านบนมีสีเข้มกว่าวัตถุที่อยู่ด้านล่าง ผลการทดลองที่ได้ทั้ง 3 เทคนิค ไม่สามารถตรวจพบวัตถุที่อยู่ด้านบนได้ ซึ่งผลของเทคนิคดิสแตนทรานฟอร์มและเทคนิคหาจุดศูนย์ถ่วงเกิดจากการหาขอบภาพวัตถุมีความผิดพลาด วัตถุที่อยู่ด้านล่าง (สีอ่อนกว่า) ให้ขอบภาพที่มีความสมบูรณ์มากกว่าวัตถุที่อยู่ด้านบน จึงทำให้ผลผิดพลาดดังกล่าวและในส่วนของการประยุกต์ใช้เทคนิค Watershed Segmentation ไม่สามารถตรวจพบได้เนื่องจากภาพที่ใช้มีความทับซ้อนมากจึงเกิดความผิดพลาดในการแบ่งพื้นที่

5.8 เปรียบเทียบผลการทดลอง 3 เทคนิค: วัตถุที่มีรูปทรงสี่เหลี่ยม

ผลการทดลองเปลี่ยนรูปทรงวัตถุที่ใช้ในการทดลองเพื่อทดสอบประสิทธิภาพการทำงานของทั้ง 3 เทคนิค โดยใช้ภาพวัตถุรูปทรงสี่เหลี่ยมในการทดลองนี้ทดลองใช้ภาพกล่องnm และก้อนสูญ ผลที่ได้ คือ เทคนิคดิสแตนทรานฟอร์มสามารถตรวจหาพบวัตถุในลักษณะพบรากุ่มวัตถุของภาพกล่องnm ได้ร้อยละ 48.39 และภาพก้อนสูญได้ร้อยละ 97.44 เทคนิคจุดศูนย์ถ่วงสามารถตรวจพบวัตถุ

ที่อยู่บนสุด ได้ร้อยละ 22.58 และ 61.54 ตามลำดับ การประยุกต์ใช้เทคนิค Watershed Segmentation สามารถตรวจพบวัตถุที่อยู่บนสุด ได้ร้อยละ 29.03 และ 74.36 ตามลำดับ ผลการทดลองที่ได้จะเห็นว่า เมื่อเราใช้ภาพที่มีความลายและสีต่างๆ บนวัตถุน้อยลง จากผลการทดลองของภาพกล่องน้ำ เปรียบเทียบกับผลการทดลองของภาพก้อนสนูป ประสิทธิภาพในการตรวจหาและระบุวัตถุที่อยู่บนสุด เพิ่มขึ้นทั้ง 3 เทคนิค

การทดลองที่ได้มีเมื่อเทียบกับผลการทดลองในการตรวจหาและระบุวัตถุที่อยู่บนสุด วัตถุทรงกลม (ผลแอปเปิล) 3 - 8 ผล (ตารางที่ 4.1) ผลการทดลองโดยใช้เทคนิคดิสแตนทราฟอร์มกับภาพวัตถุทรงกลมสามารถตรวจหาและระบุวัตถุที่อยู่บนสุดในลักษณะวัตถุเดียวได้ร้อยละ 20.00 และพบกลุ่mwัตถุร้อยละ 80.00 ต่างจากผลการทดลองที่ทดลองวัตถุรูปทรงสี่เหลี่ยม (กล่องน้ำ) และวัตถุรูปทรงสี่เหลี่ยม (ก้อนสนูป) ที่ไม่สามารถทำการตรวจพบวัตถุในลักษณะวัตถุเดียว ตรวจพบแต่วัตถุในลักษณะกลุ่mwัตถุของกล่องน้ำร้อยละ 49.00 และก้อนสนูปร้อยละ 97.44 จากผลการทดลองจะพบว่า เมื่อวัตถุที่ใช้ในการทดลองมีจำนวนไม่ทันซ่อนมาก ประสิทธิภาพในการตรวจหาและระบุวัตถุที่อยู่บนสุดของการประยุกต์ใช้เทคนิค Watershed Segmentation มีประสิทธิภาพมากที่สุด ไม่ว่าวัตถุที่ใช้ในการทดลองจะเป็นวัตถุรูปทรงกลมหรือรูปทรงสี่เหลี่ยม

5.9 ข้อเสนอแนะและแนวคิดเพื่อการพัฒนาเพิ่มเติมในอนาคต

ในงานวิจัยนี้จะเห็นว่ามีข้อผิดพลาดที่เกิดจากข้อมูลของภาพของวัตถุที่ไม่สมบูรณ์ ซึ่งเกิดจากแสงที่ตกกระทบวัตถุในขั้นตอนของการถ่ายภาพตัวอย่าง เนื่องจากทางผู้วิจัยทำการถ่ายภาพวัตถุโดยใช้แสงจริงตามธรรมชาติ ไม่ได้ทำการควบคุมแสง เนื่องจากมองว่าการนำไปประยุกต์ใช้งานจริงนั้น คงเป็นไปได้ยากหากใช้งานกับสถานที่ๆ ต้องมีการควบคุมแสง ในขั้นตอนของการสร้างกรอบครอบวัตถุ ในงานวิจัยนี้ใช้อัลกอริทึมพื้นฐานในการสร้างกรอบครอบ ลักษณะของกรอบที่ได้จึงไม่สามารถครอบวัตถุตามขอบภาพหรือตามรูปทรงของวัตถุได้ และเมื่อทำการเปลี่ยนรูปทรงของวัตถุ ทางผู้วิจัยยังไม่ได้ทำการพัฒนาลักษณะกรอบครอบให้เหมาะสมกับรูปทรงของวัตถุที่เปลี่ยนไป ซึ่งนำไปสู่แนวคิดเพื่อการศึกษาและพัฒนาเพิ่มเติมในอนาคต

ศึกษาและพัฒนางานวิจัยให้มีประสิทธิภาพในการตรวจหาวัตถุที่อยู่บนสุดของภาพที่ทับซ้อนเพิ่มขึ้น ประยุกต์ใช้กับวัตถุที่มีรูปทรงหลากหลาย ให้สามารถตรวจหาและระบุวัตถุที่ในลำดับถัดไปเพื่อที่จะทำการนับจำนวนของวัตถุในภาพ 2 มิติ ที่มีการทับซ้อน นำผลการตรวจหาและระบุวัตถุที่อยู่บนสุดมาประยุกต์ใช้ในการหาพื้นที่หรือขนาดของวัตถุที่อยู่บนสุด

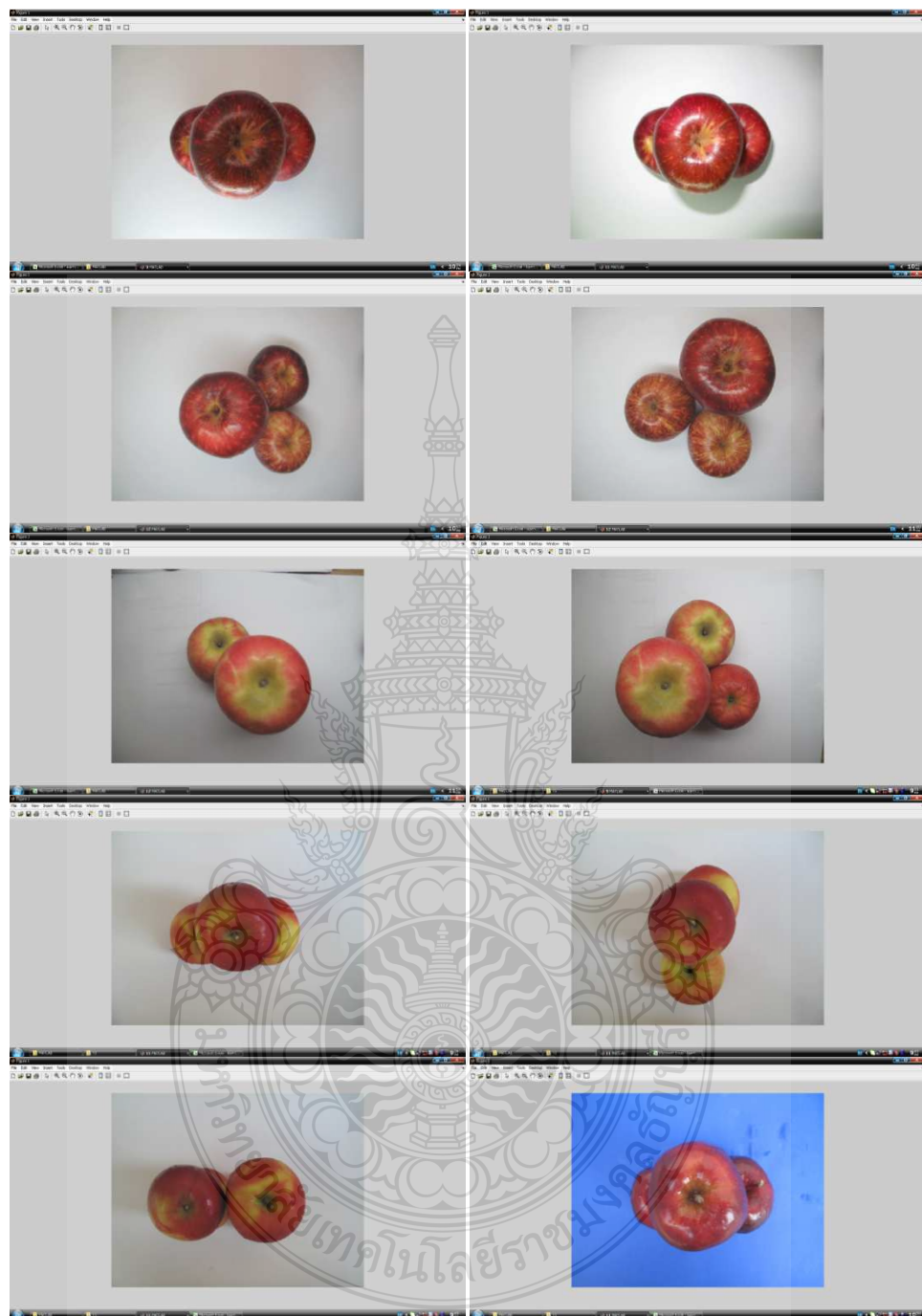
รายการอ้างอิง

- [1] เกศินี ตะละ, การตรวจหาป้ายจำกัดความเร็วในเงื่อนไขที่ถูกสภาพแวดล้อมบดบังด้วยการประมวลผลภาพ, วิทยานิพนธ์ปริญญาโท วิศวกรรมไฟฟ้า คณะวิศวกรรมศาสตร์ มหาวิทยาลัยเทคโนโลยีราชมงคลชั้นนำ, 2554.
- [2] Gonzalez, Rafael C., Woods Richard E. and Eddins Steven L., **Digital Image Processing using MATLAB**. Newjersey: Prentice Hall, 2004.
- [3] Gonzalez, Rafael C., Woods Richard E., **Digital Image Processing**. 2nd ed. Newjersey: Prentice Hall, 2002.
- [4] วิโรมน์ องอาจ, การประมวลภาพวัดขนาดเส้นผ่านศูนย์กลางเส้นใยโพลิเมอร์จากการปั่นด้วยไฟฟ้าสถิต, วิทยานิพนธ์ปริญญาโท วิศวกรรมไฟฟ้า คณะวิศวกรรมศาสตร์สถาบันเทคโนโลยีพระจอมเกล้าพระนครเหนือ, 2549.
- [5] **Chapter 8 Object representation and analysis** (online). Available:
<http://www.cs.uu.nl/docs/vakken/ibv/reader/chapter8.pdf> (19/10/2012).
- [6] Slamet R., et al., "Shape Characteristics Analysis for Papaya Size Classification," **The 5th Student Conference on Research and Development-SCOReD 2007**, 11-12 December 2007, Malaysia, 2007.
- [7] วิชิต นางแล และ นิติพงษ์ ใจสิน, "การสร้างเครื่องมือคัดแยก ตับปะรด โดยวิธีการคัดแยกด้วยภาพ," การประชุมวิชาการมหาวิทยาลัยราชภัฏเชียงราย ประจำปี 2552, จังหวัดเชียงราย, 2552.
- [8] Kiratiratanapruk, K. and Sinthupinyo, W., "Color and Texture for Corn Seed Classification by Machine Vision," **19th International Symposium on Intelligent Signal Processing and Communication Systems (ISPACS)**, 7-9 December 2011, Chiang Mai Thailand, 2011.
- [9] ฉุเมธ น้ำสตาพร และคณะ, "วิธีการตรวจหาสิ่งแปลกปลอมบนภาพถ่ายของหัวอ่อนของสาร์ดีสก์ไดร์ฟ," **การประชุมวิชาการทางวิศวกรรมไฟฟ้า**, ครั้งที่ 33, 1-3 ธันวาคม 2553, จังหวัดเชียงใหม่, 2553. หน้า 1249-1252.
- [10] Zhang, C., et al., "VFD Character Display Defect Detection Based On Morphology And Connected Component Labeling," **2012 International Conference on Systems and Informatics (ICSAI 2012)**, 19-21 May 2012, Yantai China, 2012. pp.2008-2011.

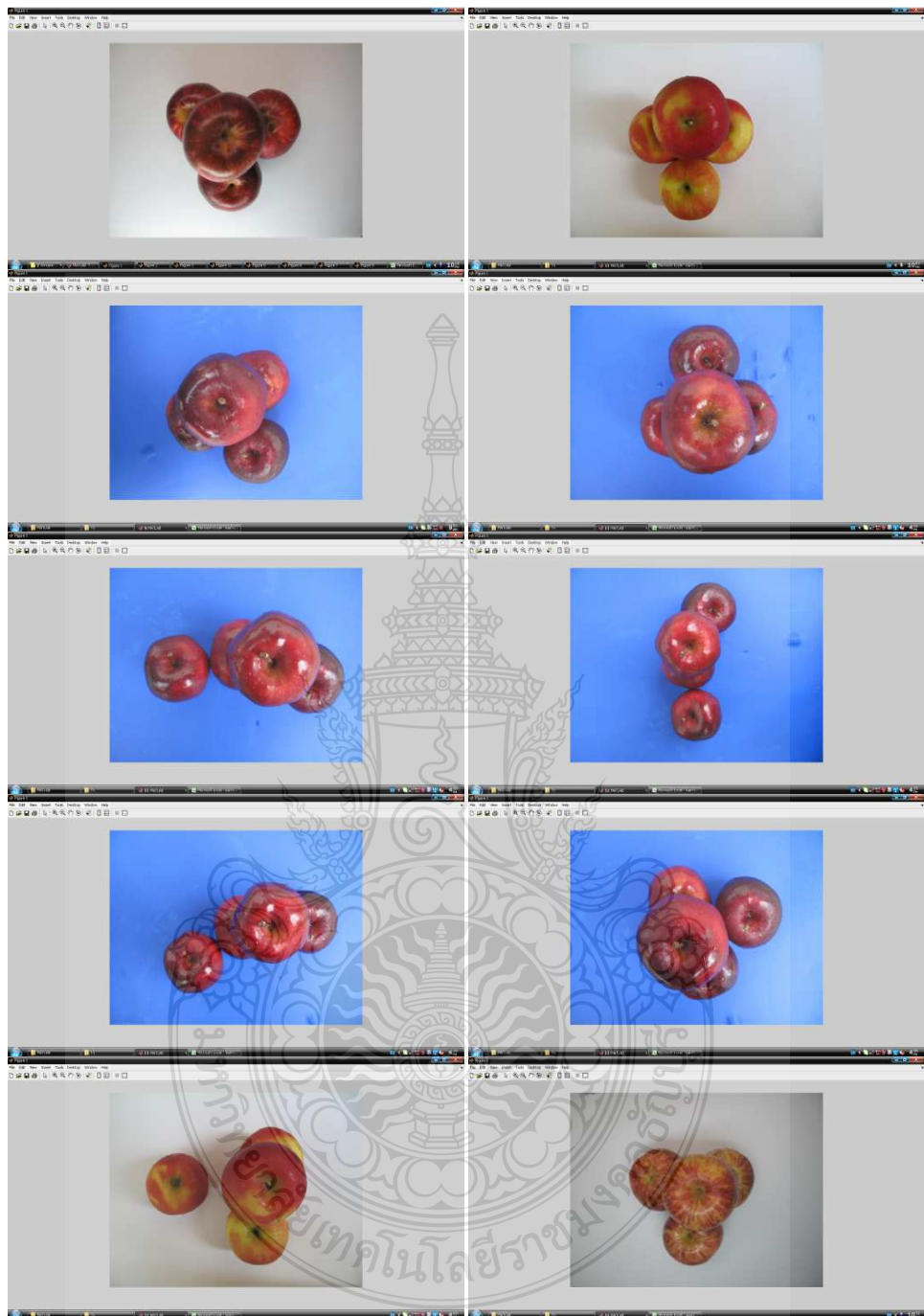
- [11] Bingham, L. et al., "Automatic Separation of Overlapping Objects," **Proceedings of the 4th World Congress on Intelligent Control and Automation**, 10-14 June 2002, Shanghai P.R.China, 2002. pp.2901-2905.
- [12] Lin, Z. and Yu H., "The cell Image Segmentation and Classification Based on OTSU Method and Connected Region Labeling," **2011 International Conference on Computer Science and Network Technology(ICCSNT 2011)**, 24-26 December 2011, Harbin China, 2011. pp.1303-1306.
- [13] เกศศักดิ์ดา ศรีโภคตร และ อานุภาพ มีสมบูรณ์, "การนับจำนวนเซลล์เม็ดเลือดแดงแบบอัตโนมัติ โดยวิธี Sum-Result Indexing Algorithm," **การประชุมวิชาการทางวิศวกรรมไฟฟ้า**, ครั้งที่ 33, 1-3 ธันวาคม 2553, จังหวัดเชียงใหม่, 2553, หน้า 1201-1204.
- [14] **ImageProcessingToolBox** (online), 2012. Available:
<http://www.mathworks.com/products/image/examples.html>. (14/06/2012).



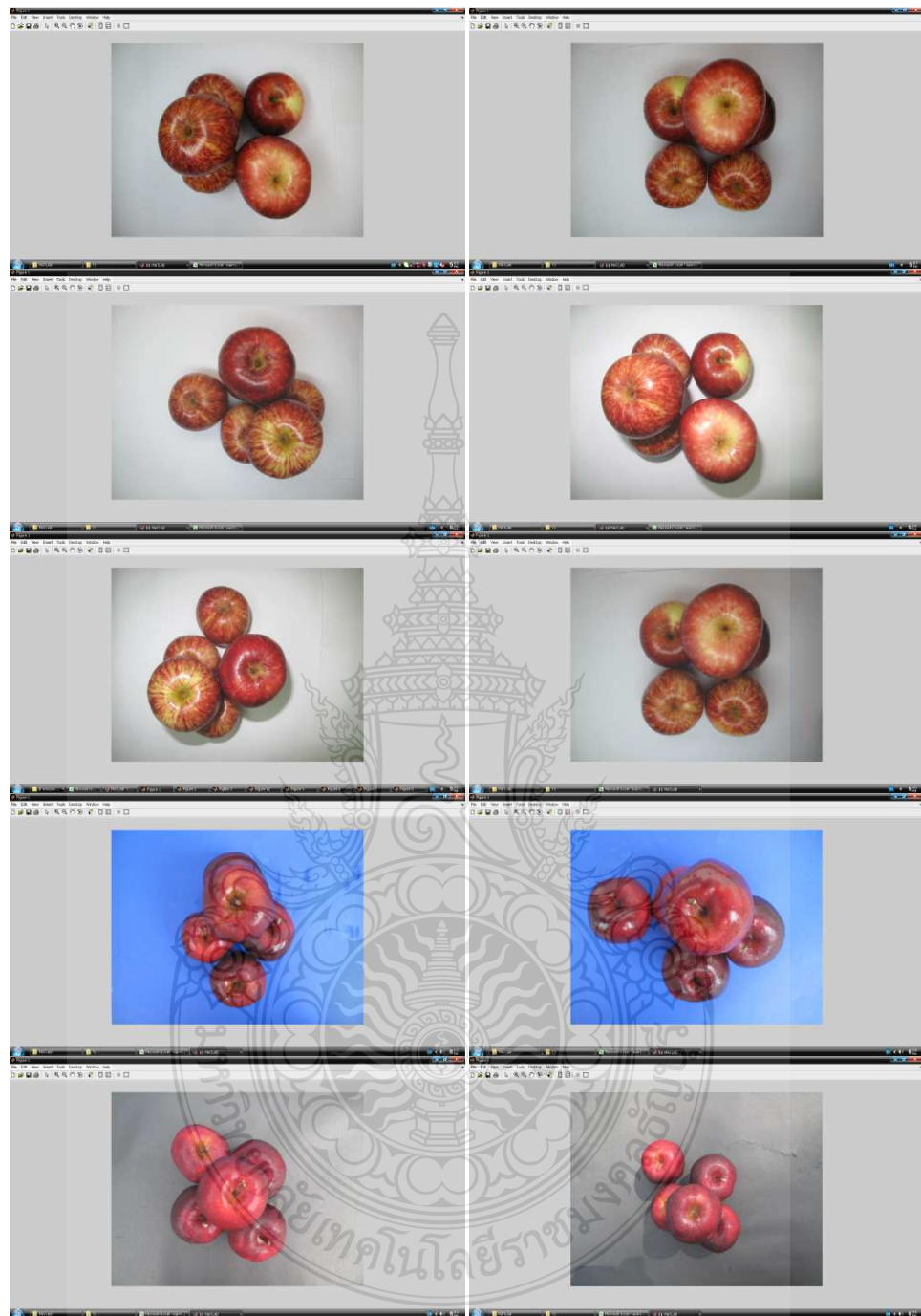




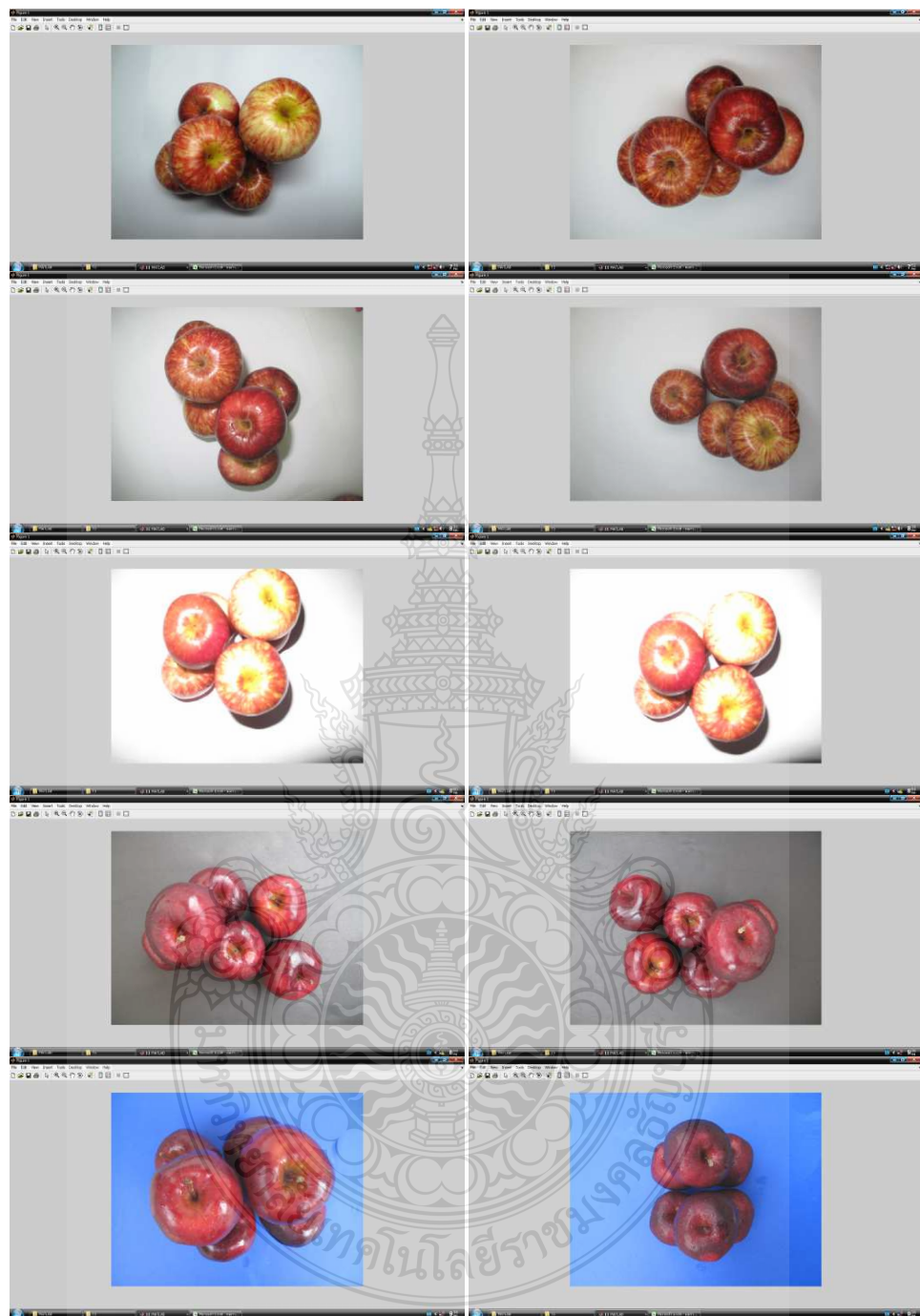
ภาพที่ ก.1 วัดถุทรงกลมผลแอปเปิล 3 ผลต่อภาพ



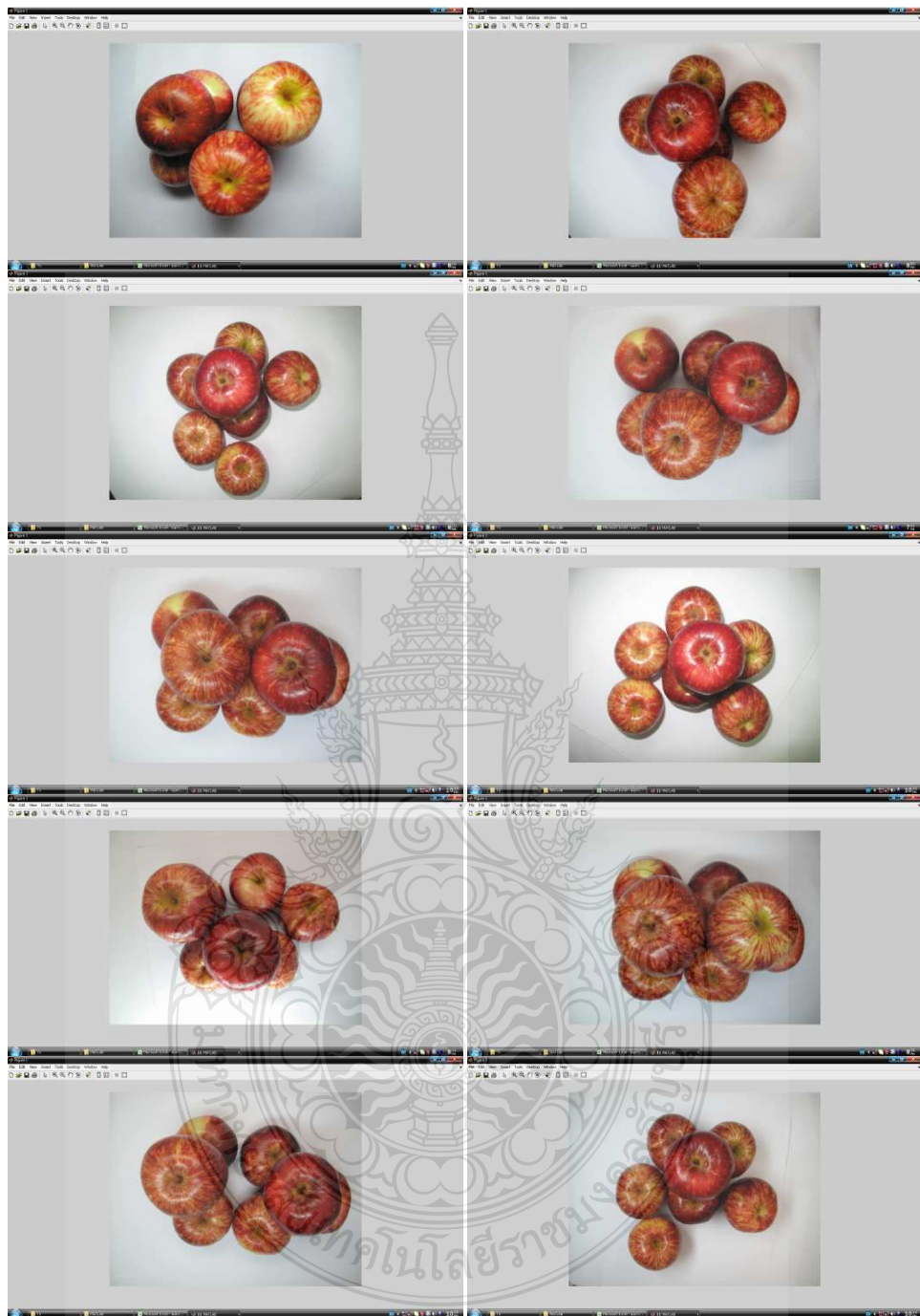
ภาพที่ ก.2 วัดถุทรงกลมผลแอปเปิล 4 ผลต่อภาพ



ภาพที่ ก.3 วัดถุทรงกลมผลแอปเปิล 5 ผลต่อภาพ



ภาพที่ ก.4 วัดถุทรงกลมผลแอปเปิล 6 ผลต่อภาพ



ภาพที่ ก.5 วัดถุทรงกลมผลแอปเปิล 7 ผลต่อภาพ



ภาพที่ ก.6 วัดถุทรงกลมผลแอปเปิล 8 ผลต่อภาพ



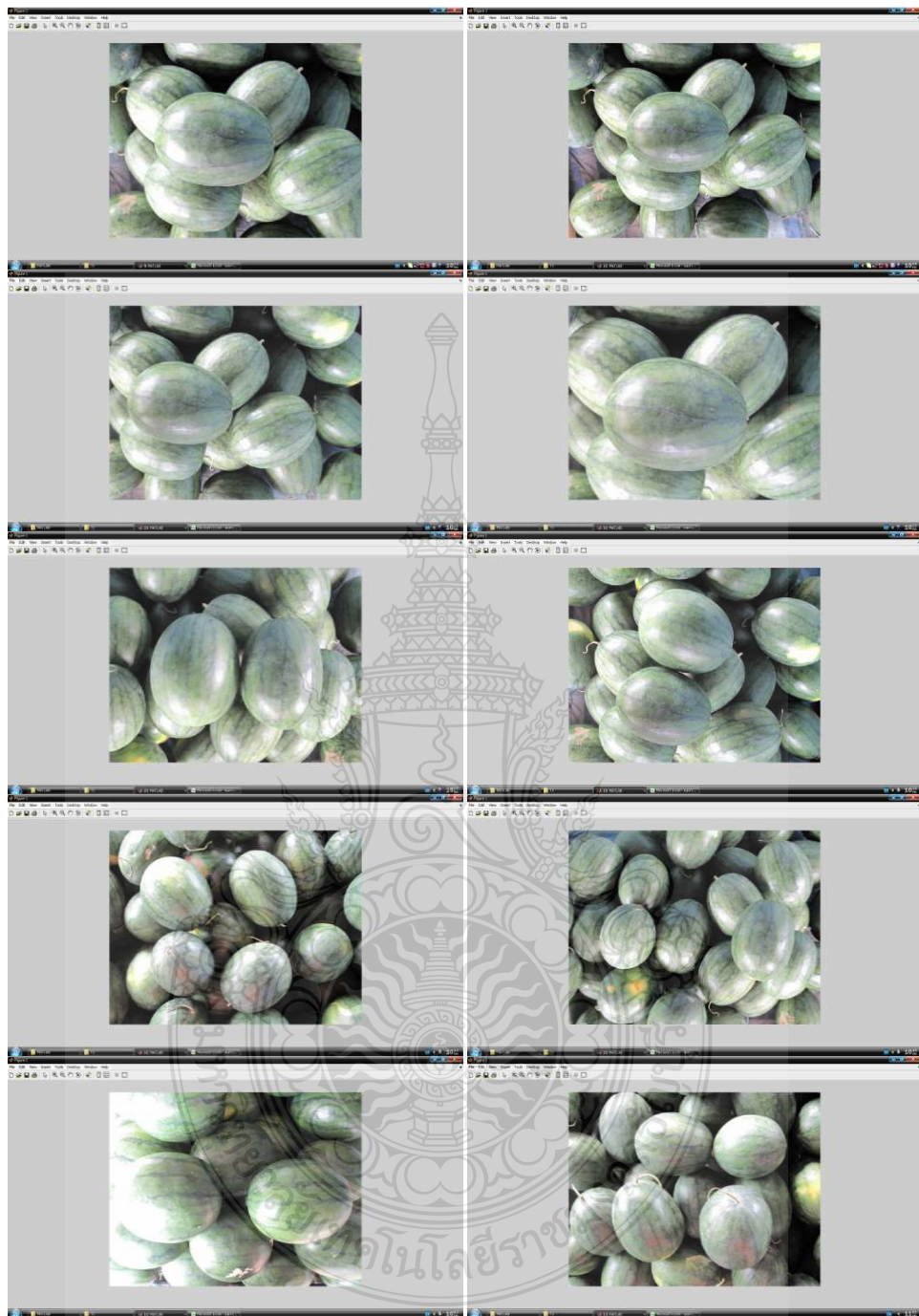
ภาพที่ ก.7 วัตถุทรงกลมที่มีการทับซ้อน: ส้ม (1)



ภาพที่ ก.7 วัตถุทรงกลมที่มีการทับซ้อน: ส้ม (1) (ต่อ)



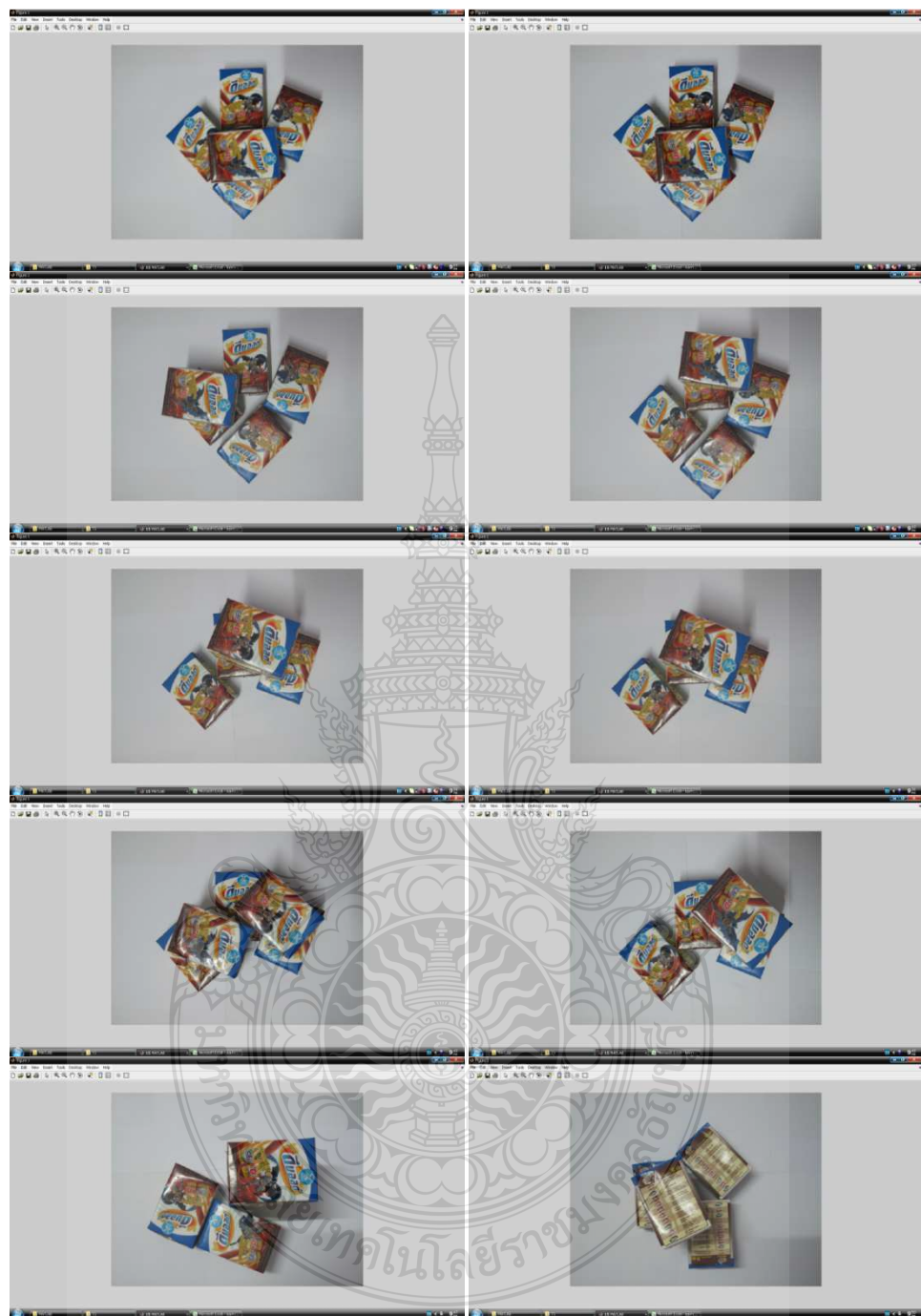
ภาพที่ ก.8 วัตถุทรงกลมที่มีการทับซ้อน: ส้ม (2)



ภาพที่ ก.9 วัตถุทรงกลมที่มีการทับซ้อน: แตงโม



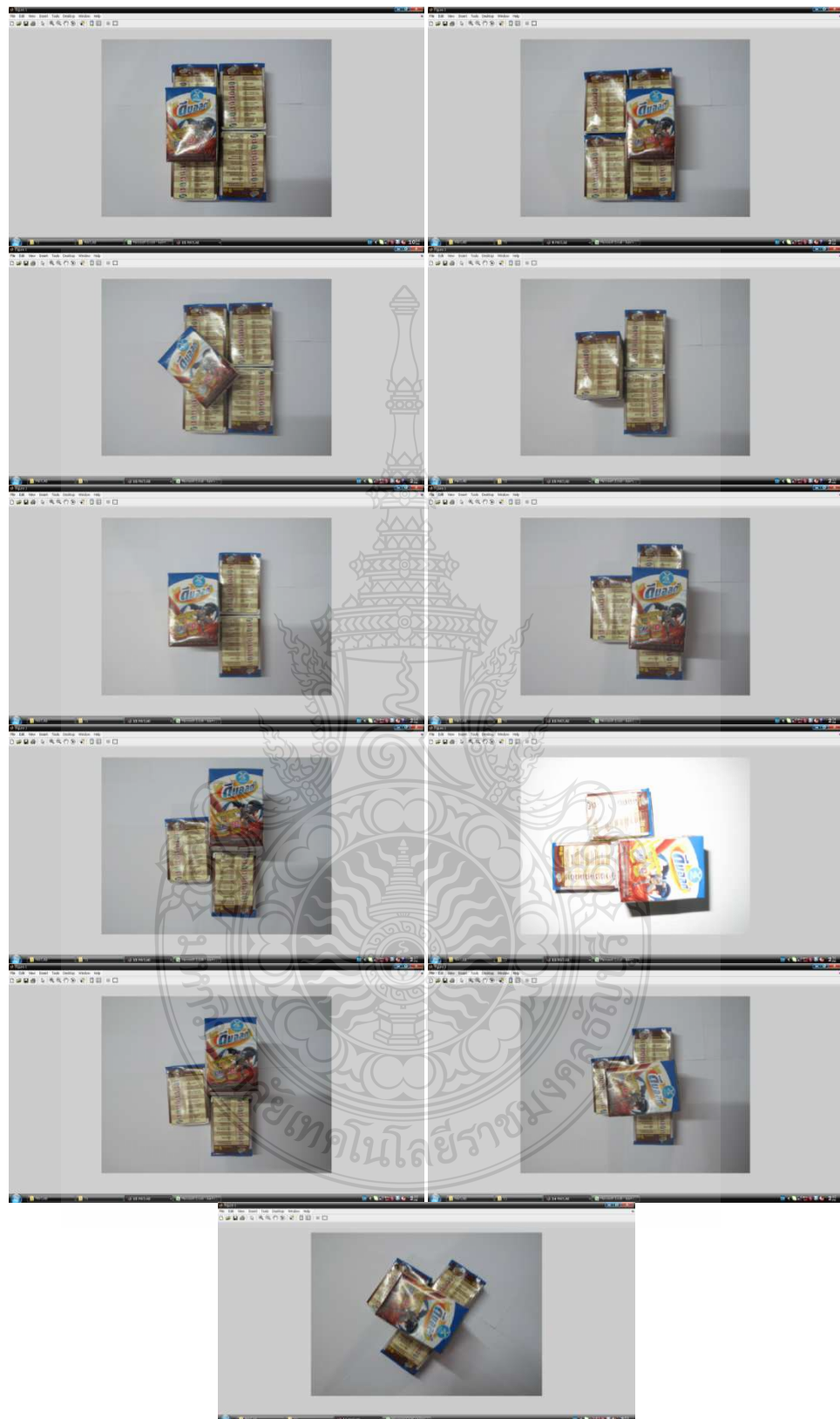
ภาพที่ ก.9 วัตถุทรงกลมที่มีการทับซ้อน: แตงโม (ต่อ)



ภาพที่ ก.10 วัดถูรูปทรงสี่เหลี่ยม (กล่องนม)



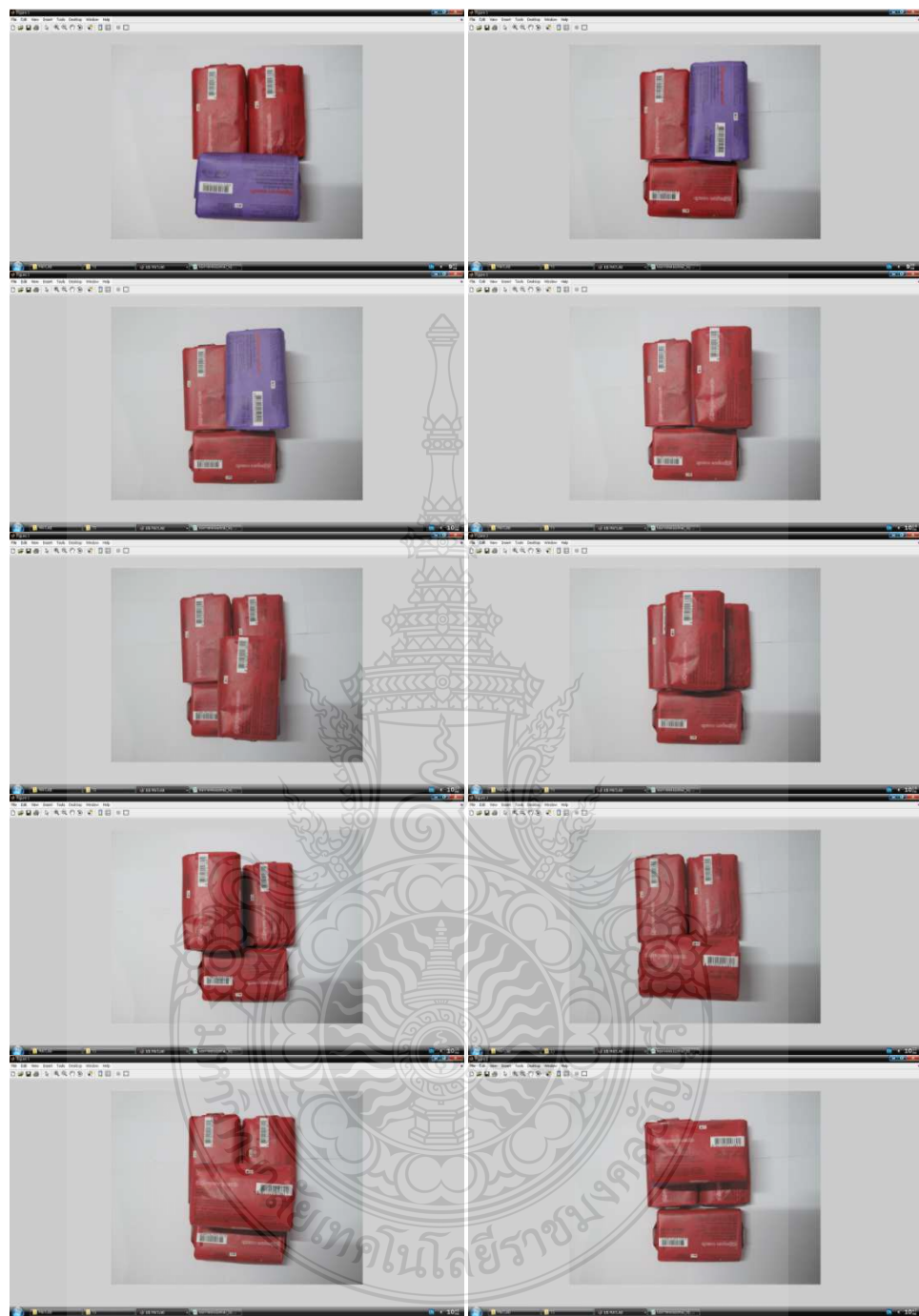
ภาพที่ ก.10 วัดถูรปทรงสี่เหลี่ยม (กล่องนม) (ต่อ)



ภาพที่ ก.10 วัดถูรูปทรงสี่เหลี่ยม (กล่องนม) (ต่อ)



ภาพที่ ก.11 วัสดุรูปทรงสี่เหลี่ยม (ก้อนสนูป)



ภาพที่ ก.11 วัดฉุรูปทรงสี่เหลี่ยม (ก้อนสนูป) (ต่อ)



ภาพที่ ก.11 วัดฉุรูปทรงสี่เหลี่ยม (ก้อนสนูป) (ต่อ)



ภาพที่ ก.11 วัสดุรูปทรงสี่เหลี่ยม (ก้อนสนูป) (ต่อ)



โปรแกรมที่ 1 เทคนิคดิสแตนทรานฟอร์ม

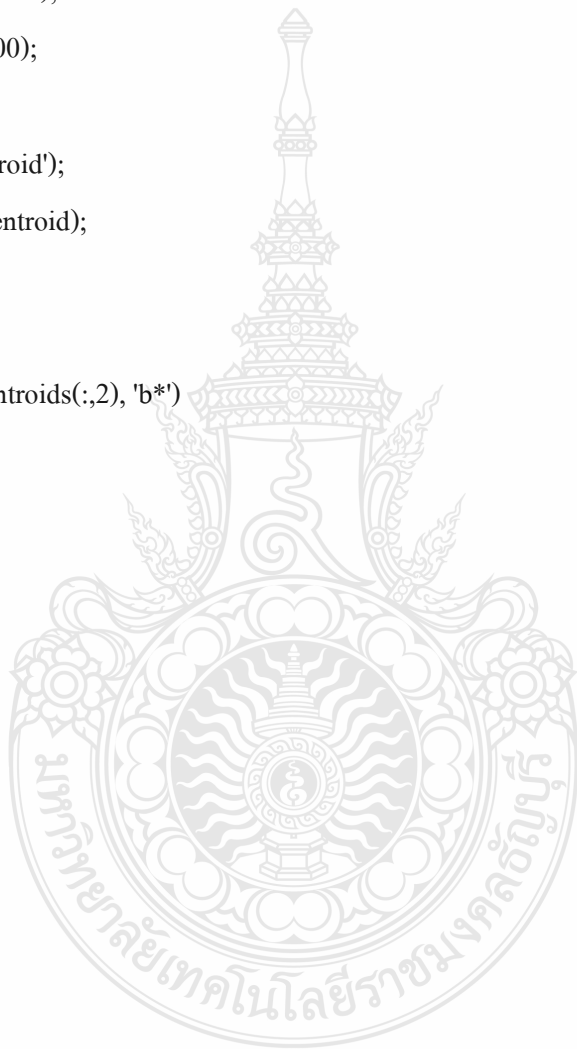
```

A=imread('5_12.jpg');
B=rgb2gray(A);
s=edge(B,'log');
y=fspecial('motion',1.5);
BW=imfilter(s,y,'circular');
u=bwareaopen(BW,300);
[row,col]=size(u);
a1=0;
for i=row:-1:1
    for j=1:1:col-1
        if u(i,j)&& u(i,j+1)==1
            a11=i;a12=j+1;
            break;
        end
    end
end
disp('ENDPOINT-START INDEX A1');disp(a11);disp(a12);
%-----ทำการหาตำแหน่งเริ่ม-จบ ในแต่ละเฟรม ให้ได้จุดตัดของขอบภาพ บน-ล่าง-ซ้าย-ขวา-----%
se=strel('arbitrary',r);
u=imopen(u,se); %
e=imellipse(gca,[xr-r xc-r r*2 r*2]);
uim=imfill(u,'holes');
figure(5),imshow(uim);

```

ໂປຣແກຣມທີ 2 ເຫດນິຄຈຸດສູນຍົກ'ວງ

```
A=imread('5_12.jpg');  
B=rgb2gray(A);  
s=edge(B,'log');  
y=fspecial('motion',1.5);  
BW=imfilter(s,y,'circular');  
u=bwareaopen(BW,300);  
L=bwlabel(u);  
s=regionprops(L,'centroid');  
centroids = cat(1, s.Centroid);  
figure(7),imshow(A);  
hold on  
plot(centroids(:,1), centroids(:,2), 'b*')  
hold off
```



ໂປຣແກຣມທີ 3 ເຫດນິຄ Watershed Segmentation

```

rgb = imread('5_12.jpg');
I = rgb2gray(rgb);
hy = fspecial('log');
hx = hy;
Iy = imfilter(double(I),hy,'replicate');
Ix = imfilter(double(I),hx,'replicate');
gradmag = sqrt(Ix.^2 + Iy.^2);
L = watershed(gradmag);
Lrgb = label2rgb(L);
se = strel('disk',1);
Io = imopen(I,se);
Ie = imerode(I,se);
Iobr = imreconstruct(Ie,I);
Ioc = imclose(Io,se);
Iobrd = imdilate(Iobr,se);
Iobrcbr = imreconstruct(imcomplement(Iobrd),imcomplement(Iobr));
Iobrcbr = imcomplement(Iobrcbr);
fgm = imregionalmax(Iobrcbr);
I2 = I;
I2(fgm) = 255;
se2 = strel(ones(5,5));
fgm2 = imclose(fgm,se2);
fgm3 = imerode(fgm2,se2);
fgm4 = bwareaopen(fgm3,20);
I3 = I;
I3(fgm4) = 255;
bw = im2bw(Iobrcbr,graythresh(Iobrcbr));
D = bwdist(bw);

```

```
DL = watershed(D);  
bgm = DL == 0;  
L=bwlabel(bgm);  
s=regionprops(L,'centroid');  
centroids = cat(1, s.Centroid);  
figure(1),imshow(rgb);  
hold on  
plot(centroids(:,1), centroids(:,2), 'b*')  
hold off  
figure(2);imshow(rgb),hold on  
title('Watershed ridge lines on original image');
```







Reviewer

Ajalawit Chantaveerod
Akaraphunt Vongkunghae
Akkarat Boonpoonga
Alex Pongpech
Arnnart Sukri
Amnoiy Ruengwaree
Armorn Jiraseree-Arnornkun
Anudhit Charean
Anupap Meesomboon
Anuwat Jangwanitlert
Anuwat Prasertsit
Aphibal Prukanubal
Apichai Bhatranand
Apichan Kanjanavapastit
Apinunt Thanachayanont
Apirada Namsang
Apirat Sintaratiwat
Apiwat Lek-Uthai
Arkhom Moungkhaodaeng
Arkom Kaelewang
Amuphap Dowrueng
Arporn Teeramongkonrasmee
Arthit Sode-Yome
Atcha Kopwithaya
Athikorn Sareephattananon
Atthapol Ngaopitakkul
Bancha Burapattanasiri
Benjamas Panomruttananug
Bongkarn Hornnan
Bongkoj Sooknanta
Boonchai Techamunrat
Boonchuay Supmonchai
Boonlert Suechoey
Boonruk Chipipop
Boonsri Kaewkham-Ai

Organization

Walailak University
Naresuan University
King Mongkut's University of Technology North Bangkok
Dhurakij Pundit University
Khon Kaen University
Rajamangala University of Technology Thanyaburi
Mahanakorn University of Technology
Kasern Bundit University
Khon Kaen University
King Mongkut's Institute of Technology Ladkrabang
Prince of Songkla University
King Mongkut's University of Technology North Bangkok
King Mongkut's University of Technology Thonburi
Udon Thani Rajabhat University
King Mongkut's Institute of Technology Ladkrabang
Civil Aviation Training Center Thailand
Khon Kaen University
Chulalongkorn University
Srinakharinwirot University
Khon Kaen University
National Electronics and Computer Technology Center
Chulalongkorn University
Siam University
National Electronics and Computer Technology Center
Eastern Asia University
King Mongkut's Institute of Technology Ladkrabang
Kasern Bundit University
King Mongkut's University of Technology Thonburi
Dhurakij Pundit University
Ubon Ratchathani University
Chulalongkorn University
Chulalongkorn University
South-East Asia University
King Mongkut's University of Technology Thonburi
Chiang Mai University



Reviewer

Boonyang Plangklang
Boonying Knobnob
Budhapon Sawetsakulanond
Bundit Thipakom
Bunlung Neammanee
Cattareeya Suwanasri
Chai Chompoo-Inwai
Chainarin Ekkaravaradome
Chainarong Klimanee
Chainarong Wisassakwichai
Chairat Pinthong
Chaiwut Chat-Uthai
Chaiyachet Saivichit
Chaiyan Jettanasen
Chaiyaporn Khemapatapan
Chaiyaporn Lothongkam
Chaiyo Thammarat
Chaiyo Thammarat
Chalee Vorakulpipat
Chanchai Thaijarn
Chanchai Dechthummarong
Chanin Wissawinthanon
Channarong Banmongkol
Chanwit Boonchuay
Charin Junlawanit
Chamchai Pluempiwiwiyawej
Charturong Tantibundhit
Chatchai Jantaraprim
Chatchai Suppitaksakul
Chatchai U-Thaiwasin
Chatchawarn Hansakunbuntheung
Chawasak Rakpenthai
Cherdkul Sopavanit
Chiranut Sa-Ngiamsak
Chirasak Sinsukudomchai

Organization

Rajamangala University of Technology Thanyaburi
Rajamangala University of Technology Thanyaburi
Mahanakorn University of Technology
King Mongkut's University of Technology Thonburi
King Mongkut's University of Technology North Bangkok
King Mongkut's University of Technology North Bangkok
King Mongkut's Institute of Technology Ladkrabang
King Mongkut's University of Technology North Bangkok
Srinakharinwirot University
Rajamangala University of Technology Krungthep
Naresuan University
King Mongkut's Institute of Technology Ladkrabang
Chulalongkorn University
King Mongkut's Institute of Technology Ladkrabang
Dhurakij Pundit University
Mahanakorn University of Technology
South-East Asia University
South-East Asia University
National Electronics and Computer Technology Center
Srinakharinwirot University
Rajamangala University of Technology Lanna
Chulalongkorn University
Chulalongkorn University
Rajamangala University of Technology Rattanakosin
Rajamangala University of Technology Phra Nakhon
Chulalongkorn University
Thammasat University
Prince of Songkla University
Rajamangala University of Technology Thanyaburi
South-East Asia University
National Electronics and Computer Technology Center
University of Phayao
Chulalongkorn University
Khon Kaen University
South-East Asia University



Reviewer

Chirdpong Deelertpaliboon
 Choochart Haruechaiyasak
 Chow Chompooinwai
 Chukiet Sodsri
 Chumnarn Punyasai
 Chutipon Uyaisom
 Chuttchaval Jeraputra
 Deacha Puangdownreong
 Decha Wilairat
 Denchai Worasawate
 Diew Koolpiruck
 Dr.-Eng. Pakorn Ubolkosold
 Duang-Arthit Srimoon
 Ekachai Leelarasmee
 Ekachai Phaisangittisagul
 Ekapon Siwapornsathain
 Issarachai Ngamroo
 Jakkree Srinonchat
 Jantana Panyavaraporn
 Jasada Kudtongngam
 Jeerasuda Koseeyapom
 Jirasak Chanwutitum
 Jitkomut Songsiri
 Jongtak Pahasa
 Jukkrit Taegapanij
 Jumpol Polvichai
 Kamon Jirasereamornkul
 Kampol Woradit
 Kanadit Chetpattananondh
 Kanchana Silawarawet
 Kanitpong Pengwon
 Karel Sterckx
 Kasem Utaikeifa
 Keattisak Sripimanwat
 Keerati Chayakulkheeree

Organization

King Mongkut's University of Technology North Bangkok
 National Electronics and Computer Technology Center
 King Mongkut's Institute of Technology Ladkrabang
 Silpakorn University
 National Electronics and Computer Technology Center
 Eastern Asia University
 Mahidol University
 South-East Asia University
 Mahidol University
 Kasetsart University
 King Mongkut's University of Technology Thonburi
 Bangkok University
 Rangsit University
 Chulalongkorn University
 Kasetsart University
 King Mongkut's University of Technology Thonburi
 King Mongkut's Institute of Technology Ladkrabang
 Rajamangala University of Technology Thanyaburi
 Burapha University
 National Electronics and Computer Technology Center
 King Mongkut's Institute of Technology Ladkrabang
 King Mongkut's University of Technology North Bangkok
 Chulalongkorn University
 University of Phayao
 Mahanakorn University of Technology
 King Mongkut's University of Technology Thonburi
 King Mongkut's University of Technology Thonburi
 Srinakharinwirot University
 Prince of Songkla University
 Siam University
 Chiang Mai University
 Bangkok University
 University of the Thai Chamber of Commerce
 National Electronics and Computer Technology Center
 Sripatum University



Reviewer

Khaniththa Kaewdang
 Kiattisin Kanjanawanishkul
 Kitja Luckamnuyporn
 Kittiphong Meesawat
 Kittipong Tonmitr
 Kittisak Triipatponchai
 Kittiwann Nirkerdphol
 Kobchai Dejhan
 Kobsak Sriprapha
 Komsan Hongesombut
 Komson Daroj
 Komson Petcharak
 Kongpan Areerak
 Korporn Panyim
 Kosin Chamnongthai
 Kosol Nithisopa
 Kosol Oranpiroj
 Krischonme Bhumkittipich
 Krisda Yingkayun
 Krissada Asavaskulkiet
 Krit Angkeaw
 Kritchai Witheephanich
 Kulyos Audomvongseree
 Kunnthphon Srisathit
 Kusumal Chalermyanont
 Laor Boongasame
 La-Or Kovavisaruch
 Luchakorn Wuttisittikulkit
 Mana Siyudthsak
 Manop Aorpmai
 Marut Buranarach
 Mitchai Chonghcheawchanan
 Monai Krairiks
 Mongkol Konghirun
 Mongkol Pusayatanont

Organization

Ubon Ratchathani University
 Mahasarakham University
 Rajamangala University of Technology Phra Nakhon
 Khon Kaen University
 Khon Kaen University
 Rangsit University
 Rajamangala University of Technology Thanyaburi
 King Mongkut's Institute of Technology Ladkrabang
 National Electronics and Computer Technology Center
 Kasetsart University
 Ubon Ratchathani University
 Chulalongkorn University
 Suranaree University of Technology
 Mahidol University
 King Mongkut's University of Technology Thonburi
 Rajamangala University of Technology Phra Nakhon
 Rajamangala University of Technology Lanna
 Rajamangala University of Technology Thanyaburi
 Rajamangala University of Technology Lanna
 Mahidol University
 King Mongkut's University of Technology North Bangkok
 Srinakharinwirot University
 Chulalongkorn University
 Rajamangala University of Technology Rattanakosin
 Prince of Songkla University
 Bangkok University
 National Electronics and Computer Technology Center
 Chulalongkorn University
 Chulalongkorn University
 Mahanakorn University of Technology
 National Electronics and Computer Technology Center
 Prince of Songkla University
 King Mongkut's Institute of Technology Ladkrabang
 King Mongkut's University of Technology Thonburi
 Ubonratchati University



SCHOOL OF
ENGINEERING
BANGKOK UNIVERSITY

NECTEC
www.nectec.or.th

รายชื่อผู้ทรงคุณวุฒิ
การประชุมวิชาการทางวิศวกรรมไฟฟ้าครั้งที่ 35

Reviewer

Monthon Nawong
Montree Siripruchyanun
Montri Karnjanadecha
Montri Somdunyakanok
Naebboon Hoonchareon
Nalin Sidahao
Napat Srailum
Nararat Ruangchajatupon
Narong Buabthong
Narong Yoothanom
Narongdech Keeratipranon
Natasha Dejdumrong
Natchpong Hatti
Nathabhat Phankong
Nathem Koetsam-Ang
Nattachote Rugthaicharoencheep
Nattapong Phanthuna
Nattapong Swangmuang
Nattavut Chayavanich
Nattawoot Suwannata
Natt Jukrob
Nattha Jindapetch
Nattaphob Nimpitiwan
Nattawuth Somkettarin
Nimit Boonpirom
Nipapon Siripon
Niphat Jantharamin
Nipont Tangthong
Nisachon Tangsangiumvisai
Nit Petcharaks
Nitipong Panklang
Nopadol Uchaipichat
Nopporn Patcharaprakiti
Nuntiya Chaiyabut
Nutthaphong Tanthanuch

Organization

Dhurakij Pundit University
King Mongkut's University of Technology North Bangkok
Prince of Songkla University
Siam University
Chulalongkorn University
Mahanakorn University of Technology
King Mongkut's Institute of Technology Ladkrabang
Khon Kaen University
Thammasat University
Sripatum University
Dhurakij Pundit University
King Mongkut's University of Technology Thonburi
National Electronics and Computer Technology Center
Rajamangala University of Technology Thanyaburi
Kasern Bundit University
Rajamangala University of Technology Phra Nakhon
Rajamangala University of Technology Phra Nakhon
Chiang Mai University
King Mongkut's University of Technology Thonburi
Mahasarakham University
South-East Asia University
Prince of Songkla University
Bangkok University
Rajamangala University of Technology Thanyaburi
Sripatum University
Chiang Mai University
Naresuan University
Rajamangala University of Technology Krungthep
Chulalongkorn University
Dhurakij Pundit University
Rajamangala University of Technology Thanyaburi
Thammasat University
Rajamangala University of Technology Lanna
Bangkok University
Thammasat University



Reviewer	Organization
Opas Chutatape	Rangsit University
Paiboon Kiatsookkanatorn	Rajamangala University of Technology Suvarnabhumi
Paisarn Sonthikorn	King Mongkut's University of Technology Thonburi
Paitoon Rakluea	Rajamangala University of Technology Thanyaburi
Pakorn Kaewtrakulpong	King Mongkut's University of Technology Thonburi
Pakpum Somboon	Bangkok University
Panavy Pookaiyaudom	Mahanakorn University of Technology
Panus Nattharith	Naresuan University
Panuthat Boonpramuk	King Mongkut's University of Technology Thonburi
Parachai Juanuwattanakul	Sripatum University
Parnjit Damrongkul Kamjorn	Kasetsart University
Patarnaporn Sripadungtham	Kasetsart University
Pathornthat Chiradeja	Srinakharinwirot University
Pawee Chaiyaboon	Rajamangala University of Technology Thanyaburi
Peerapol Yuvapoositanon	Mahanakorn University of Technology
Peerawut Yutthagowith	King Mongkut's Institute of Technology Ladkrabang
Peerayot Sanposh	Udon Thani Rajabhat University
Pennapa Pairodamonchai	King Mongkut's University of Technology North Bangkok
Petch Nantivatana	Sripatum University
Phalboon Booppha	Udon Thani Rajabhat University
Phairote Wounchoum	Prince of Songkla University
Phaisan Ngamjanyaporn	Rangsit University
Phakkewat Jantree	Rajamangala University of Technology Suvarnabhumi
Phichet Moungnoul	King Mongkut's Institute of Technology Ladkrabang
Phongsak Phakarnach	North Eastern University
Phumin Kirawanich	Mahidol University
Pichai Aree	Thammasat University
Pinit Thepsatorn	Srinakharinwirot University
Pipat Prommee	King Mongkut's Institute of Technology Ladkrabang
Pished Bunnun	National Electronics and Computer Technology Center
Pisit Liutanakul	King Mongkut's University of Technology North Bangkok
Pisit Vanichchanunt	King Mongkut's University of Technology North Bangkok
Pisit Wisutmethéekorn	Mahanakorn University of Technology
Pisut Raphisak	Kasetsart University
Piya Warabuntaweesuk	Bangkok University



Reviewer	Organization
Pongsatom Sedtheetorn	Mahidol University
Pongsawat Kotchapoom	Eastern Asia University
Poonlap Lamsrichan	Kasetsart University
Pornchai Phukpattaranont	Prince of Songkla University
Pornrapeepat Bhasaputra	Thammasat University
Prajuab Pawarangkoon	Mahanakorn University of Technology
Pramin Artrit	Khon Kaen University
Pramote Anunvrapong	Rajamangala University of Technology Krungthep
Pramuk Unahalekhaka	Rajamangala University of Technology Suvarnabhumi
Prapanan Khuabwannarat	South-East Asia University
Prasit Nakonrat	Ubon Ratchathani University
Prasit Teekaput	Chulalongkorn University
Prasopchok Hothongkham	Rajamangala University of Technology Rattanakosin
Prayoot Akkaraekthalin	King Mongkut's University of Technology North Bangkok
Preecha Kochaeron	Sripatum University
Preecha Sakurung	Rajamangala University of Technology Suvarnabhumi
Rachu Punchalard	Mahanakorn University of Technology
Rangsipan Marukatat	Mahidol University
Rardchawadee Silapunt	King Mongkut's University of Technology Thonburi
Rawid Banchuin	Siam University
Rungsirant Sittikhorn	Mahanakorn University of Technology
Sakchai Thipchaksurat	King Mongkut's Institute of Technology Ladkrabang
Sakda Somkun	National Institute of Metrology
Sakorn Po-Ngam	King Mongkut's University of Technology Thonburi
Saliltip Sinthusonthishat	Mahanakorn University of Technology
Samphan Phrompichai	Mahanakorn University of Technology
Samroeng Hintarmai	Sripatum University
Sandhai Dechanupaprittha	Kasetsart University
Sandhai Rattananon	University of the Thai Chamber of Commerce
Sangsuree Vasupongyaya	Prince of Songkla University
Santitham Prom-On	University College London
Sanun Srisuk	Mahanakorn University of Technology
Sanya Khunkhao	Sripatum University
Sanya Mitaim	Thammasat University
Saowapak Thongvigitmanee	National Electronics and Computer Technology Center



Reviewer

Sarawan Wongsa
Sarawuth Chaimool
Sarun Sumriddetchkajorn
Sataporn Pompromlikit
Sawat Bunnjaveht
Seangrawee Buakaew
Sermsak Uatrungjit
Singthong Pattanasethanon
Sirichai Dangearn
Sripong Chaysin
Siroj Sirisukprasert
Sirivit Taechajedcadarungsri
Siriwich Tadsuan
Siriya Skothananrat
Sisuda CHAITHONGSUK
Sithidet Vachirasiricikul
Somboon Nuchprayoon
Somboon Sooksatra
Somchai Biansoongnem
Somchai Hiravarodom
Somchai RATANATHAMMAPHAN
Somchat Jiriwibhakorn
Sommart Sangn-Gern
Somnida Bhatranand
Somphop Rodamporn
Somporn Seewattanapon
Somying Thainimit
Somyot Kaitwanidvilai
Songklod Sriprang
Songkran Kantawong
Songphol Kanjanachuchai
Songrit Maneewongvatana
Sopon Phumeechanya
Sorawat Chivapreeda
Sorot Auyporn

Organization

King Mongkut's University of Technology Thonburi
King Mongkut's University of Technology North Bangkok
National Electronics and Computer Technology Center
Khon Kaen University
Mahasarakham University
King Mongkut's Institute of Technology Ladkrabang
Chiang Mai University
Rajamangala University of Technology Thanyaburi
Srinakharinwirot University
Kasetsart University
Khon Kaen University
South-East Asia University
National Electronics and Computer Technology Center
Rajamangala University of Technology Suvarnabhumi
University of Phayao
Chiang Mai University
Rangsit University
Rajamangala University of Technology Thanyaburi
Rajamangala University of Technology Thanyaburi
Chulalongkorn University
King Mongkut's Institute of Technology Ladkrabang
Mahasarakham University of Technology
Mahidol University
Srinakharinwirot University
Rajamangala University of Technology Suvarnabhumi
Kasetsart University
King Mongkut's Institute of Technology Ladkrabang
Rajamangala University of Technology Rattanakosin
Bangkok University
Chulalongkorn University
King Mongkut's University of Technology Thonburi
Silpakorn University
King Mongkut's Institute of Technology Ladkrabang
Provincial Electricity Authority



SCHOOL OF
ENGINEERING
BANGKOK UNIVERSITY



รายชื่อผู้พิจารณาบทความ
การประชุมวิชาการทางวิศวกรรมไฟฟ้าครั้งที่ 35

Reviewer

Srisak Noyraiphoon
Suchada Sitjongsataporn
Suchart Yammern
Suchin Trirongjitmoah
Sudchai Boonto
Sumate Naetiladdanon
Suneat Pranonsatit
Supachai Paiboon
Supachai Vorapojpisut
Supachate Innet
Suparerik Manitpornsut
Supatana Auethavekiat
Supattana Nirukkanaporn
Supavadee Aramvith
Supawan Ponpitakchai
Supot Sookpootharam
Surachai Chaitusaney
Surachet Kanprachar
Surachoke Thanapitak
Surapan Airphaiboon
Surapong Suwankawin
Suratsavadee Korkua
Suree Pumrin
Suthathip Maneewongvatana
Suthee Rukkaphan
Suwat Pattaramalai
Suwit Kiravittaya
Tanasak Phanprasit
Tanet Wonghong
Tanin Duangjan
Tasanee Chayavanich
Taweesup Apiwattanapong
Teeravisit Laohapensæeng
Thamvarit Singhavilai
Thanadol Pritranan

Organization

Rajamangala University of Technology Phra Nakhon
Mahanakorn University of Technology
Naresuan University
Ubon Ratchathani University
King Mongkut's University of Technology Thonburi
King Mongkut's University of Technology Thonburi
Kasetsart University
Mahidol University
Thammasat University
University of the Thai Chamber of Commerce
University of the Thai Chamber of Commerce
Chulalongkorn University
Rangsit University
Chulalongkorn University
Naresuan University
Bangkok University
Chulalongkorn University
Naresuan University
Mahidol University
King Mongkut's Institute of Technology Ladkrabang
Chulalongkorn University
Walailak University
Chulalongkorn University
King Mongkut's University of Technology Thonburi
Kasem Bundit University
King Mongkut's University of Technology Thonburi
Naresuan University
Bangkok University
Bangkok University
Srinakharinwirot University
King Mongkut's University of Technology Thonburi
National Electronics and Computer Technology Center
Mae Fah Luang University
Mahidol University
Mahidol University



รายชื่อผู้พิจารณาบทความ
การประชุมวิชาการทางวิศวกรรมไฟฟ้าครั้งที่ 35

Reviewer	Organization
Thanakorn Namhomchan	Eastern Asia University
Thanapat Promwattanapakdee	Sripatum University
Thanapong Suwanasri	King Mongkut's University of Technology North Bangkok
Thanathip Sum-Im	Srinakharinwirot University
Thaschagon Onboonuea	Eastern Asia University
Thavatchai Tayjasanant	Chulalongkorn University
Theerapol Muankhaw	Rajamangala University of Technology Thanyaburi
Theerayod Wiangtong	Mahanakorn University of Technology
Theerayut Janjaern	Kasem Bundit University
Theerayuth Chatchanayuenyong	Mahasarakham University
Thidarat Tawsook	Bangkok University
Thipwan Fangsuwannarak	Suranaree University of Technology
Thumrongrat Amornraksa	King Mongkut's University of Technology Thonburi
Toempeng Phetchakul	King Mongkut's Institute of Technology Ladkrabang
Trin Saengsuwan	Kasetsart University
Tuchsanai Ploysuwan	Siam University
Ukrit Mankong	Chiang Mai University
Usana Tuntoolavest	Kasetsart University
Ut Goenchanart	Rangsit University
Uthen Kamnarn	Rajamangala University of Technology Lanna
Varathanar Arjith	Srinakharinwirot University
Vech Vivek	King Mongkut's University of Technology North Bangkok
Veerachai Malyavej	Mahanakorn University of Technology
Viboon Chunkag	King Mongkut's University of Technology North Bangkok
Vichai Sae-Li	Eastern Asia University
Vichakorn Hengsritawat	Sripatum University
Vijit Kinnares	King Mongkut's Institute of Technology Ladkrabang
Virasit Imtawil	Khon Kaen University
Vladimir Buntarov	Mahidol University
Vuttipon Tarateeraseth	Srinakharinwirot University
Vyapote Supabowornsathian	Siam University
Waleed Mohammad	Bangkok University
Walisa Romsaiyud	Siam University
Wanchai Chankaipol	Sripatum University
Wanchai Chimchavee	University of the Thai Chamber of Commerce



Reviewer	Organization
Wanchai Pijtirojana	Thammasat University
Wanchai Subsingha	Rajamangala University of Technology Thanyaburi
Wanchak Lenwari	King Mongkut's University of Technology Thonburi
Wanchalerm Pora	Chulalongkorn University
Wannarat Suntiamorntut	Prince of Songkla University
Warit Wichakool	Prince of Songkla University
Watis Leelapatra	Khon Kaen University
Weerapun Rungseevijitprapa	Chulalongkorn University
Wekin Piayrat	Srinakharinwirot University
Werachet Khan-Ngem	King Mongkut's Institute of Technology Ladkrabang
Werapon Chiracharit	King Mongkut's University of Technology Thonburi
Wichit Krueasuk	Sripatum University
Widhyakorn Asdomwised	Chulalongkorn University
Wijittra Petchakit	Walailak University
Wilajorn Lee	King Mongkut's University of Technology North Bangkok
Winyu Sawaengsinsakikit	Kasern Bundit University
Wipavan Narksarp	Siam University
Wisarn Patchoo	Bangkok University
Wiwat Tippachon	Rajamangala University of Technology Lanna
Wongwit Senavongse	Srinakharinwirot University
Worakam Wongsaichua	Ubon Ratchathani University
Wuthiporn Loetwassana	Mahanakorn University of Technology
Wuttipong Kumwilaisak	King Mongkut's University of Technology Thonburi
Wuttiwat Kongrattananaprasert	Rajamangala University of Technology Krungthep
Yongyut Chonbodeechalermroong	Naresuan University
Yongyuth Naras	Siam University
Yongyuth Permpoontanalarap	King Mongkut's University of Technology Thonburi
Youthana Kulvitit	Chulalongkorn University
Yutana Chongjaream	Dhurakij Pundit University
Yutana Jewajinda	National Electronics and Computer Technology Center
Yuttana Kumsuwan	Chiang Mai University
Yuttapong Jirarakksopakun	King Mongkut's University of Technology Thonburi
Yutthana Kanthaphayao	Rajamangala University of Technology Suvarnabhumi

สารบัญ

EL024	การสังเคราะห์ข้อมูลเด่นที่ยืนยันนิ่งโดยตัวโดยใช้ช่อง CCDDCCs และการประยุกต์ใช้งาน มนตรี สมคุณยกนก ¹ เทิดศักดิ์ กันต์โถ ² และ พิพัฒน์ พรมมี ² ¹ มหาวิทยาลัยเทคโนโลยีราชมงคลรัตนโกสินทร์ ² สถาบันเทคโนโลยีพระจอมเกล้าเจ้าอยุธยา	839
-------	---	-----

บทความกลุ่มการประมวลผลสัญญาณดิจิตอล(DS)

IP-DS1	A Study of Non-Binary Low-Density Parity-Check Codes and Its Applications Ambar Bajpai ¹ Gan Sriruchataboon ¹ Tharathorn Phromsa-ard ¹ Suvit Nakpeerayuth ¹ Piya Kovintavewat ² and Lunchakorn Wuttisittikulkij ¹ ¹ Chulalongkorn University ² Nakhon Pathom Rajabhat University	843
DS001	A Noise Reduction Technique with Speech Harmonic Regeneration for Hands-Free Telephony ทักษิณ ธรรมชาติชัย, นิศาชล ตั้งเสี้ยมวิสัย อุมาลงกรณ์มหาวิทยาลัย	849
DS002	การตรวจสอบอุปกรณ์โดยใช้เทคนิคการจินตนาการและโมโนโลยี ขวัญจิต อุดมพาหะ และ จักรี ศรีวนนท์นั้นต์ มหาวิทยาลัยเทคโนโลยีราชมงคลล้านนา	853
DS003	การตรวจสอบภาพที่ถ่ายทอดของกระดาษถูกฟอกโดยใช้เทคนิคการประมวลผลภาพ มีนา รัตนกร และ ลักษณ์ สุภพิทักษ์สกุล มหาวิทยาลัยเทคโนโลยีราชมงคลล้านนา	857
DS004	Vehicle Matching from Multiple Non-overlapping Cameras นิธิพัฒน์ ศรีพันธ์มะตุ ¹ , สุกกร ลิทธิไชย ² และ ธนารัตน์ ชลิตาพงศ์ ² ¹ อุมาลงกรณ์มหาวิทยาลัย ² ศูนย์เทคโนโลยีอิเล็กทรอนิกส์และคอมพิวเตอร์แห่งชาติ	861
DS005	Continuously Adaptive Mean-Shift Analysis for Object Tracking อดิศร พาสุขุม ¹ , สุภาวดี อร่วมวิทัย ² , ธนารัตน์ ชลิตาพงศ์ ² และ สุกกร ลิทธิไชย ² ¹ อุมาลงกรณ์มหาวิทยาลัย ² ศูนย์เทคโนโลยีอิเล็กทรอนิกส์และคอมพิวเตอร์แห่งชาติ	865

การตรวจหาวัตถุโดยใช้เทคนิคการจินออลสเปชและมอร์ฟโลเจี้ย

Robust Object Detection Using Marginal Space and Morphology Technique

ขวัญจิต ออกเวลา และ จักรี ศรีนันท์ดatta

ห้องปฏิบัติการและวิจัยทางด้านการประมวลผลสัญญาณ

ภาควิชาวิศวกรรมอิเล็กทรอนิกส์และโทรคมนาคม คณะวิศวกรรมศาสตร์ มหาวิทยาลัยเทคโนโลยีราชมงคลธัญบุรี

39 ถนนรังสิต-นครนายก ต.คลองหก อ.ธัญบุรี ปทุมธานี 12110 โทรศัพท์: 0-2549-3400

E-mail: khwan_o1207@hotmail.com, jakkree.s@en.rmutt.ac.th

บทคัดย่อ

ในปัจจุบันการค้นหาภาพของวัตถุที่ทับซ้อนหรือเปลี่ยนรูปทรงเป็นงานวิจัยที่น่าสนใจและนำไปประยุกต์ใช้งานทางด้านอุตสาหกรรมหรือด้านการแพทย์ บทความนี้นำเสนอการตรวจหาวัตถุโดยใช้เทคนิค Marginal Space และ Morphology โดยมุ่งศึกษามาตรฐานของวัตถุที่ทับซ้อน ข้อดีของเทคนิค Marginal Space นี้จะช่วยให้การดำเนินงานของวัตถุที่ต้องการได้ถูกต้องและรวดเร็วในขณะที่ Morphology จะช่วยลดสัญญาณรบกวน โดยภาพของผลตอบแทนขนาด 480×640 พิกเซล จำนวน 60 ภาพที่ได้ถูกนำมาทดสอบ ผลการทดลองได้แสดงให้เห็นว่าเทคนิคดังกล่าวมีประสิทธิภาพในการค้นหาวัตถุที่ต้องการในภาพที่มีทับซ้อนกันอยู่ 80 เปอร์เซ็นต์

คำสำคัญ: การตรวจหาวัตถุ, มาร์จินออลสเปช, มอร์ฟโลเจี้ย

Abstract

The object detection of overlapping or changing object is recently interested research and applied to industrial and medical area. This article presents the robust object detection using marginal space and morphology technique specially focused on overlapping object. The advantage of the marginal space technique is fast target object searching while the morphology technique does reduce the background noise of specific area. There are 60 images of apple with 480×640 pixels each are used in this experiment. The primary results show that these techniques provide the 80% efficient of object detection.

Keywords: Object Detection, Marginal Space, Morphology

1. คำนำ

ในปัจจุบันงานวิจัยทางด้านการประมวลผลภาพเพื่อหานัดของวัตถุและการนับจำนวนวัตถุเป็นที่น่าสนใจในการประยุกต์ใช้ในงานอุตสาหกรรม เช่น [1] ได้มีนำเสนอการศึกษาและพัฒนา การแบ่งเขต

มะลอกโดยใช้คุณลักษณะของรูปทรงโดยรวม 4 คุณลักษณะมาใช้กือพื้นที่ ค่าเฉลี่ย ขนาดส่วนผ่าสูญเสีย และสีสันรอบรูป โคลนนำภาพ RGB มาแปลงเป็นใบหน้า ใช้วิธีการหาตัวทรัพย์สืบติดตามวัดด้วยวิธีของ Otsu's ซึ่งใช้กระบวนการ Morphological ที่เกี่ยวข้องกับการยกระดับภาพมาใช้ในการแยก/แบ่งตัวถูกกับพื้นหลัง และใน [2] ได้นำเสนอการคัดแยกสีประจำโคลนแปลงภาพให้อยู่ในรูปแบบใบหน้า เพื่อระบุตำแหน่งของวัตถุและแยกภาพพื้นหลัง นำภาพที่ได้มาคำนวณเพื่อหานัดในการหาขนาดพื้นที่กือ การนับจำนวนพิกเซลที่เป็นสีดำ จากนั้นนำค่าพิกเซลมาเทียบกับพื้นที่ข้างมาตรฐานเพื่อทำการแบ่งลำดับขนาด และ[3] ได้นำเสนอวิธีการหาตัวโครงสร้างและพื้นที่ที่เฉพาะส่วนของภาพวัตถุโดยการให้เก้าอี้ไว้ในร่าง (Template) ในกระบวนการและที่ตั้งของวัตถุตามฐานข้อมูลที่ได้รับ ที่ต้องการ สำหรับร่างที่ไม่ได้ โดยใช้อัลกอริทึมมาเพิ่มประสิทธิภาพ ข้อจำกัดของเทคนิคนี้คือการทำงานตามข้อมูลของโครงร่างที่นั้น อีกทั้งใน [4-5] ได้นำเสนอการนับแข็งล้อเม็ดเดือดคง ให้การนับจำนวนวัตถุบนภาพขาว-ดำ โดยวิธี Sum-Result Indexing ซึ่งเป็นวิธีที่พัฒนามาจาก การเข้ารหัสแบบ Run-Length Encoding (RLE) การระบุตัวตนของก้อนพิกเซลหลังจากที่มีการรวมโดยจัดกลุ่มก้อนที่อยู่ติดกันในแนวโน้มและทำความสัมพันธ์ของต่อกัน ความถูกต้องในการนับให้ผลเหมือนกันแต่ใช้วิธีในการคำนวณหน่อยกัววิธี Contour tracing technique และนำเสนอการนับจำนวนลูกปะโลหะ ใช้วิธีการนับจำนวนวัตถุบนภาพขาว-ดำ โดยวิธี Parallel Sum-Result Indexing ที่พัฒนามาจาก Two scan sum-result indexing โดยทำการ run indexing ไปพร้อมๆ กับการทำ run-length encoding ในการทำ raster scan รอบเรือ โดยยังคงความถูกต้องในการนับและสามารถลดเวลาในการประมวลผลได้ แต่ยังคงเกิดความผิดพลาดในการนับที่ภายนอกหัวเรือ ดังนั้นเพื่อเพิ่มประสิทธิภาพในการหานัดในกรณีที่หัวเรือทับซ้อน ในบทความนี้จึงนำเสนอเทคนิคในการหาวัตถุในกรณีที่หัวเรือทับซ้อน โดยใช้วิธีการหาตัวทรัพย์สืบติดตามวัตถุที่มีความสมบูรณ์ของขอบภาพ เจาะภาพวัตถุที่อยู่ด้านบน หรือด้านล่างที่มีความสมบูรณ์ของขอบภาพ

2. วิธี Marginal Space

วิธี Marginal Space [6-7] เป็นวิธีการหาวัตถุโดยการแบ่งภาพออกเป็นส่วนๆ โดยแบ่งแต่ละส่วนเป็นต้องหาของค่าประกอบพารามิเตอร์ที่สำคัญให้ครบทั้งหมด 5 คือค่า พารามิเตอร์ตัวที่ 1 และ 2 เป็นพารามิเตอร์ของตำแหน่ง พารามิเตอร์ตัวที่ 3 เป็นพารามิเตอร์คุณสมบัติของวัตถุ และพารามิเตอร์ตัวที่ 4 และ 5 เป็นพารามิเตอร์คุณสมบัติและความสัมพันธ์ของวัตถุกับพื้นที่รอบข้าง ดังนี้เพื่อให้วิธีการ Marginal Space มีประสิทธิภาพสูงสุดจำเป็นต้องมีขั้นตอนในการดำเนินการดังนี้

2.1 การหาขอบภาพ

การแยกบริเวณของภาพ เป็นการแยกระหว่างวัตถุที่สนใจออกจากพื้นหลัง ทำให้ทราบว่าในภาพมีจุดนวนวัตถุเท่าใดและพิกเซลใดเป็นของวัตถุซึ่งได้บทความนี้ใช้วิธีการแยกองค์ประกอบของภาพโดยอาศัยความไม่ต่อเนื่องของคุณสมบัติของพิกเซลที่บริเวณขอบของวัตถุ ข้อดีของวิธีการนี้คือง่ายที่จะตรวจสอบของวัตถุ ทำให้มีความเร็วในการประมวลผลเพริ่ววิธีการนี้ใช้จุดพิเศษที่ได้จากการนิยูโรปอย่าง “ขอบ” ของวัตถุ ซึ่งขอบของวัตถุที่ได้อ่านมีความไม่ต่อเนื่องมีวัตถุนี้ไม่สม่ำเสมอ

ที่นี่เกณฑ์คัดกรองค่าที่ดำเนินการโดยนำภาพเดินลับบนมานาไปด้วยภาพเป็นภาพระดับเสียงที่มีค่าตั้งแต่ 0-255 จากนั้นหาขอบโดยใช้อนุพันธ์อันดับสอง (Laplacian Operator [$\nabla^2 P$]) บริเวณที่ส่วนของบะเด็นขั้น การประมาณค่าของ Mask จะทำให้ดำเนินการของบริเวณขอบของวัตถุในภาพคือ ค่าผ่านศูนย์ (Zero Crossing) ของ $\nabla^2 P$ การหาอนุพันธ์อันดับสอง หาได้จาก

$$\nabla^2 P = \frac{\partial^2 P}{\partial x^2} + \frac{\partial^2 P}{\partial y^2} \quad (1)$$

การค้นหาขอบภาพด้วยอนุพันธ์อันดับสอง เมื่อทำ $\nabla^2 P$ บริเวณของจะมีค่าแทนงค่าของศูนย์กลางของจาก $\nabla^2 P$ พิจารณาได้จากตำแหน่งที่พิกเซลเปลี่ยนแปลงจากค่าที่เป็นบวกเป็นค่าที่เป็นลบหรือค่าจากที่เป็นลบไปเป็นค่าที่เป็นบวก

2.2 การกรองภาพ

ภาพที่ผ่านการหาขอบภาพยังคงมีสัญญาณรบกวน จึงต้องมีการกรองข้อมูลภาพเพื่อลดสัญญาณรบกวนดังกล่าว ในบทความนี้ได้ใช้วิธีการ convolution ซึ่งเป็นการกระทำให้หน้าจอระหว่างภาพเพลต (Template) กับภาพ (Image) เทมเพลตคือ เมทริกซ์ขนาด $M \times N$ ของชุดตัวเลขที่จะนำไปทับช้อนกับภาพที่ตำแหน่งต่างๆ เพื่อหาผลลัพธ์ของการ convolution สำหรับ $T(x, y)$ เป็นเทมเพลตโดยที่ $\hat{I}(X, Y)$ คือภาพผลลัพธ์จากการ convolution ของภาพกับภาพสามารถแสดงได้ดังสมการ

(2) โดยใช้ตัวกรองแบบ Motion ซึ่งจะให้ค่าไกล์เดียวในการเคลื่อนไหวเชิงเส้นของพิกเซล

$$\hat{I}(X, Y) = T * I = \sum_{i=0}^{n-1} \sum_{j=0}^{m-1} T(x, y). I(X - i, Y - j) \quad (2)$$

จากสมการจะเห็นว่าระดับความเข้มแสง ณ จุด (X, Y) ในภาพผลลัพธ์ได้จากการหาผลรวมของผลลูประหว่างที่ก่อนหน้าและพิกเซลที่ติดกัน ระดับความเข้มแสงของภาพในบริเวณที่ก่อนหน้าและพิกเซลที่ติดกันจะลดลง (X - i, Y - j) และจะให้เห็นว่ามีการผลิตเทมเพลตทางแกนนอนและแกนตั้ง

2.3 การปรับปรุงขอบภาพ

หากความนี้ใช้ Opening เป็นเทคนิคในการปรับปรุงภาพโดยการกัดกร่อนขอบภาพ (Erosion) ดังสมการที่ 3 และความด้วยการขยายขอบภาพ (Dilation) ดังสมการที่ 4

$$A \ominus B = \{z | (B)_z \subseteq A\} \quad (3)$$

$$A \oplus B = \{z | [(\hat{B})_z \cap A] \subseteq A\} \quad (4)$$

เมื่อ A คือ ภาพที่ต้องการปรับมาลดลง

B คือ องค์ประกอบโครงสร้าง (Structuring Element)

Z คือ เซตของพิกเซลที่

สามารถเรียกสมการของ Opening “ได้ดังสมการที่ 5

$$A \circ B = (A \ominus B) \oplus B \quad (5)$$

ใช้เทคนิค Opening เพื่อลดวัตถุที่มีค่าพิกเซลน้อยๆ และลดสัญญาณรบกวนออกจากภาพเพื่อให้เหลือแต่ขอบภาพวัตถุที่มีความสมบูรณ์

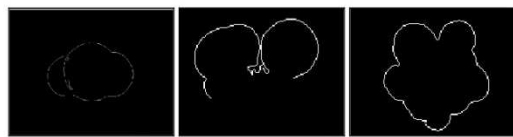
3. วิธีการทดลอง

ในงานวิจัยนี้ได้ทำการทดลองกับภาพถ่ายผลไม้ที่มีรูปทรงกลมคือ ผลแอปเปิล โดยภาพที่นำมาทดลองเป็นภาพถ่ายดิจิตอลขนาด 480 x 640 พิกเซล จำนวน 60 ภาพ รูปที่ 1 แสดงวิธีการสร้างกรอบรอบวัตถุที่อยู่ด้านบน ซึ่งสามารถสรุปเป็นขั้นตอนได้ดังนี้



รูปที่ 1 ขั้นตอนการสร้างกรอบครอบวัตถุที่อยู่ด้านบนสุด

กระบวนการของจากภาพโดยใช้เทคนิค Opening ให้คงไว้แต่พิกเซลของวัตถุที่อยู่ด้านบนหรือวัตถุที่มีความสมบูรณ์ของขอบภาพ ดังรูปที่ 4



รูปที่ 4 ภาพหลังผ่านการใช้เทคนิค Opening

จากรูปที่ 4 จะเห็นได้ว่าขอบภาพที่ผ่านการกรองภาพจะมีบางส่วนของขอบวัตถุหายไปด้วย ซึ่งสาเหตุที่ทำให้ขอบภาพบางส่วนขาดหายไป เกิดจากทิศทางของแสงที่ตัดกระแทบวัตถุ โปรดทราบจะทำการหาดำเนินการของขอบภาพวัตถุที่มีความสมบูรณ์ของขอบภาพที่สุด เพื่อทำการสร้างกรอบครอบวัตถุดังกล่าว ซึ่งจะเก็บว่าขอบภาพที่ได้นั้นเป็นส่วนหนึ่งของขอบภาพวัตถุที่อยู่ด้านบน ดังแสดงในรูปที่ 5

4. ผลการทดลอง

ในขั้นตอนแรกนำภาพถ่ายดิจิตอล ขนาด 480×640 พิกเซล ซึ่งได้ทำการถ่ายภาพตัวอย่างโดยใช้กล้องเป็นเล่ม จำนวนตัวอย่าง 3-8 ผลต่อภาพ จัดวางในลักษณะดังๆ รูปที่ 2



รูปที่ 2 ภาพผลแอปเปิล



รูปที่ 5 สร้างกรอบครอบวัตถุที่อยู่ด้านบน

จากการทดลองในเบื้องต้นพบว่า เทคนิคที่ใช้นี้สามารถหาวัตถุตามที่ต้องการได้ จึงทำการทดลองเพิ่มขึ้น โดยเปลี่ยนภาพของวัตถุดังนี้

แปลงภาพเด็นฉบับเป็นภาพระดับสีเทา (Grayscale Image) เพื่อทำการหาขอบภาพ ในบทความนี้ใช้การหาขอบภาพโดยใช้อันุพันธ์อันดับสอง (Laplacian Operator) เสือกเทคนิคการหาขอบภาพโดยวิธี LOG (Laplacian of a Gaussian) เป็นตัวดำเนินการซึ่งสืบ หลักการของ การหาขอบวิธี LOG ใช้การวนภาพทำให้เกิดผล คือ ทำให้ภาพรายละเอียบ (ลดสัญญาณรบกวน) และการดำเนินผลลัพธ์ทำให้เกิดขอบภาพซึ่งอน โดยที่การหาขอบใช้การค่ามนุษย์ระหว่างขอบทั้งสอง ผลการหาขอบภาพดังแสดงในรูปที่ 3



รูปที่ 3 ภาพที่ผ่านการหาขอบภาพโดยวิธี LOG

ภาพที่ผ่านการหาขอบซึ่งคงมีสัญญาณรบกวน จึงต้องทำการกรองภาพเพื่อลดสัญญาณรบกวน ใช้การกรองภาพโดยวิธีการ convolution ขั้น จากนั้นทำการตัดวัตถุในภาพที่มีค่าพิกเซลน้อยๆ หรือสัญญาณ



รูปที่ 6 ภาพผลการทดลอง



รูปที่ 6 ภาพผลการทดสอบ (ต่อ)

จากผลการทดสอบพบว่า

ตารางที่ 1 ผลการทดสอบ

ชื่อ	จำนวนครั้ง	ผลการทดสอบ	
		พนกคู่ม้วนตัด	พนวัดถูกต้อง
แอบเปิล 3 ผล	10	4	6
แอบเปิล 4 ผล	10	6	4
แอบเปิล 5 ผล	10	9	1
แอบเปิล 6 ผล	10	9	1
แอบเปิล 7 ผล	10	10	0
แอบเปิล 8 ผล	10	10	0
ผลรวม	60	48	12
ผลรวมคิดเป็น %	100	80	20

จากการตรวจสอบ เทคนิคที่ใช้อยู่นี้สามารถหักดูในลักษณะ ภาพที่ต้องการคือ ภาพเดียวของตัวถูกที่อยู่บนสุดในระนาบ Z ได้ 20% โดย เทคนิคนี้ การควบคุมแสงที่ต้องการทบทวนภาพมีผลต่อการตรวจสอบตัดถูก

5. สรุปผลการทดสอบและข้อเสนอแนะ

งานวิจัยนี้ได้นำเสนอการตรวจสอบหาตัวถูกโดยการสร้างกรอบ ครอบตัดถูกที่อยู่ด้านบนในภาพถ่ายดิจิตอล 2D ภาพขนาด 480×640 พิกเซล โดยใช้ภาพถ่ายผลแอปเปิล ภาพตัวอย่างใช้ผลแอปเปิล 3-8 ผล/ภาพ จัดวางในลักษณะต่างๆ การทดสอบนี้ใช้เทคนิคในการหาขอบของตัดถูก แล้วทำการตรวจสอบขอบตัดถูกที่มีความสมมูลย์ของขอบภาพ จากนั้นนำ ภาระการสร้างกรอบบนบุ๊กที่อยู่บนสุด

จากการทดสอบพบว่า เทคนิคนี้สามารถมีประสิทธิภาพในการ ตรวจสอบตัดถูกที่อยู่บนสุดในลักษณะทบทวนภาพคู่ม้วนตัดถูกคิดเป็น 80% และ พนกภาพวัดถูกต้อง 20% โดยที่ข้อคิดพลาстиคที่เกิดขึ้นก็จะลดลง ความคุณ ที่ทางของแสงที่ต้องการทบทวนตัดถูกในภาพไม่สม่ำเสมอจึงทำให้เกิดความ ไม่สมมูลย์ของขอบตัดถูกในภาพ ดังนั้นในการพัฒนางานในอนาคต การ ควบคุมแสงจึงเป็นส่วนหนึ่งที่ต้องพิจารณา รวมถึงการนำเทคนิคการหา center point จากภาพของภาพที่สมมูลย์มาประยุกต์ใช้ต่อไป

6. กิจกรรมประมวลผล

ผลงานวิจัยในบทความนี้เป็นส่วนหนึ่งของงานวิจัย NRPM:2555A16502049, project code: 52874 ซึ่งได้รับการสนับสนุน โดยสำนักงานคณะกรรมการวิจัยแห่งชาติปี 2555

เอกสารอ้างอิง

- [1] Slamet R. et al., "Shape Characteristics Analysis for Papaya Size Classification," The 5th Student Conference on Research and Development-SCoReD 2007, 11-12 December 2007, Malaysia.
- [2] วิชิต นางแล และ นิติพงษ์ ใจสิน, "การสร้างเครื่องมือคัดแยก สับปะรด โดยวิธีการคัดแยกด้วยภาพ," การประชุมวิชาการ มหาวิทยาลัยราชภัฏเชียงราย ประจำปี 2552, จังหวัดเชียงราย, 2552.
- [3] Ge Guo, Tingting Jiang, Yizhou and Wen Gao, "Finding Multiple Object Instances with Occlusion," 2010 International Conference on Pattern Recognition, 2010, pp.3878-3881.
- [4] เกศศักดิ์ ศรีโคตร, และ อานุภาพ มีสมบูรณ์, "การนับจำนวนเขต เมืองเลือดดงแบบบัตโน้มติดโดยวิธี Sum-Result Indexing Algorithm," การประชุมวิชาการทางวิศวกรรมไฟฟ้า, ครั้งที่ 33, 1-3 ธันวาคม 2553, จังหวัดเชียงใหม่, 2553, หน้า 1201-1204.
- [5] เกศศักดิ์ ศรีโคตร, และ อานุภาพ มีสมบูรณ์, "การนับจำนวนสูตร ปานแบบบัตโน้มติดโดยวิธี Parallel Sum-Result Indexing Algorithm," Internet, 2554.
- [6] Rafael C. Gonzalez, Richard E. Woods, "Digital Image Processing second edition", 2002.
- [7] Yesfeng Zheng and Dorin Comaniciu, "Robust Object Detection Using Marginal Space Learning and Ranking-Based –Multi-Detection Aggregation: Application to Left Ventricle Detection in 2D MRI Images," IEEE Conference on Computer Vision and Pattern Recognition, 2009, pp.1343-1350.



ขวัญใจ ออกเวหา จบการศึกษาในระดับปริญญาตรี วิชาวรรณไฟฟ้า ในปี พ.ศ. 2546 ปัจจุบันศึกษาหลักสูตร วิชาวรรณศาสตร์ มหาบัณฑิต สาขาวิชาวรรณ อีกครั้งนึงและ โทรัตนนาม มหาวิทยาลัย เทคโนโลยีราชมงคลธัญบุรี งานวิจัยที่สนใจ การประมวลผลภาพ



จารี ศรีนันท์พัตร สำเร็จการศึกษาระดับปริญญาเอก จาก Northumbria University, UK. ในปี พ.ศ. 2548 ใน สาขาวิชาวรรณไฟฟ้า ปัจจุบันดำรงตำแหน่งอาจารย์ที่ ภาควิชาอีเล็กทรอนิกส์และ โทรคมนาคม มหาวิทยาลัย เทคโนโลยีราชมงคลธัญบุรี งานวิจัยที่สนใจ การประมวลผลสัญญาณ และระบบควบคุม



CONFERENCE PROGRAM

**The 3rd IASTED Asian Conference on
Modelling, Identification, and Control (AsiaMIC 2013)**
&
**The 8th IASTED International Conference on
Advances in Computer Science (ACS 2013)**
April 10 – 12, 2013
Phuket, Thailand

LOCATION

Novotel Phuket Resort
 282 Phrabaramee Road, Patong
 Kathu, Phuket, Thailand 83150

MODELLING, IDENTIFICATION, AND CONTROL (AsiaMIC 2013)

SPONSOR

The International Association of Science and Technology for Development (IASTED)

GENERAL CHAIR

Asst. Prof. Wudhichai Assawinchaichote - King Mongkut's University of Technology Thonburi, Thailand

HONORARY CHAIR

Prof. Sarawut Sujitjorn - Synchrotron Light Research Institute (Publ. Org.), Thailand

KEYNOTE SPEAKER

Prof. Pericle Zanchetta - University of Nottingham, UK

INVITED SPEAKER

Prof. Shankar P. Bhattacharyya - Texas A & M University, USA

BEST PAPER AWARDS CHAIRS

Dr. Tao Wu - GE Global Research Center, PR China

Asst. Prof. Kongpan Areerak - Suranaree University of Technology, Thailand

PUBLICATIONS CHAIRS

Dr. Deacha Puangdownreong - South-East Asia University, Thailand

Asst. Prof. Kongpol Areerak - Suranaree University of Technology, Thailand

PUBLICITY CHAIR

Dr. Sudarat Khwan-On - Suranaree University of Technology, Thailand

SPECIAL SESSION ORGANIZERS

Dr. Prapong Klysubun - Synchrotron Light Research Institute (SLRI), Thailand

Dr. Supat Klinkhieo - Synchrotron Light Research Institute (SLRI), Thailand

Prof. Viboon Sangveraphunsiri - Chulalongkorn University, Thailand

Asst. Prof. Jiraphon Srisertpol - Suranaree University of Technology, Thailand

Dr. Jukkrit Kluabwang - Rajamangala University of Technology Lanna Tak, Thailand

UNIVERSITY LIASIONS

Asst. Prof. Prayoth Kumsawat - Suranaree University of Technology, Thailand
Asst. Prof. Sakrawee Raweekul - Rajamangala University of Technology, Thailand

INTERNATIONAL PROGRAM COMMITTEE

F. Abdul Aziz – Putra University, Malaysia, Malaysia
G.K. Adam – Technological Educational Institute of Larissa, Greece
C. Angeli – Technological Institute of Piraeus, Greece
W. Assawinchaichote – King Mongkut's University of Technology Thonburi, Thailand
F. Assous – Ariel University Center, Israel
U. Biader Ceipidor – University of Rome, Italy
J. Boaventura – University of Trás-os-Montes and Alto Douro, Portugal

M. Boumedine – University of the Virgin Islands,
U.S. Virgin Islands
W. Byrski – AGH University of Science and Technology, Poland
X. Chen – Shibaura Institute of Technology, Japan
T.-M. Dao – University of Québec / École de Technologie Supérieure (ETS), Canada
S.R. Das – Troy University, USA
J. Davila – University of the Andes, Venezuela
T. Dhaene – Ghent University, Belgium
A. Dourado – University of Coimbra Polo II, Portugal
J. Dvornik – University of Split, Croatia
P. Fonseca i Casas – Technical University of Catalonia, Spain
E. Furutani – Kyoto University, Japan
V. Glizer – Ort Braude College, Israel
V. Grout – Glyndwr University, UK
K.-E. Häggblom – Åbo Akademi University, Finland
D. He – CSSI Incorporated, USA
G. Horton – University of Magdeburg, Germany
I. Jesus – Institute of Engineering of Porto, Portugal
B. Joseph – University of South Florida, USA
V. Jotsov – ULSIT, State University in Sofia, Bulgaria
B. Kaewkham-ai – Chiang Mai University, Thailand
T. Kawabe – University of Tsukuba, Japan
S.-H. Kim – Korea Advanced Institute of Science and Technology, Korea
K. Lavangnananda – King Mongkut's University of Technology Thonburi, Thailand
M. Lee – Yeungnam University, Korea
S. Liang – Chongqing University, PR China
A. Løkketangen – Molde University College, Norway
M. Lotfalian – University of Evansville, USA
K.L. Man – Xi'an Jiaotong-Liverpool University, PR China
G. Merkuryeva – Riga Technical University, Latvia
E.D. Moreno – Federal University of Sergipe, Brazil
J. Navarro-Moreno – University of Jaen, Spain
T. Niculiu – Politehnica University of Bucharest, Romania
J.J. Nieto – University of Santiago de Compostela, Spain
G. Nikolakopoulos – Luleå University of Technology, Sweden
H. Oya – University of Tokushima, Japan
G. Petuelli – South-Westphalia University of Applied Sciences, Germany
C. Pinto – Polytechnic Institute of Porto, Portugal
M. Poboroniuc – Gheorghe Asachi Technical University of Iași, Romania
P. Pongsupun – King Mongkut's Institute of Technology Ladkrabang, Thailand
D. Puangdownreong – South-East Asia University, Thailand
Y.B. Reddy – Grambling State University, USA

T. Riismaa – Institute of Cybernetics at Tallinn University of Technology, Estonia
M. Rodrigues – Sheffield Hallam University, UK
S.H. Rubin – Spawar Systems Center, USA
E. Santini – Sapienza University of Rome, Italy
Y.S. Shmaliy – Guanajuato University, Mexico
B. Singh – Lakehead University, Canada
R. Snow – Riddle Aeronautical University, USA
R. Spolon – São Paulo State University (UNESP), Brazil
J. Štecha – Czech Technical University in Prague,
Czech Republic
C. Sueur – Central School of Lille, France
A. Swierniak – Silesian University of Technology, Poland
J.A. Tenreiro Machado – Porto Superior Institute of Engineering (ISEP), Portugal
A. Tornambè – University of Rome Tor Vergata, Italy
M. Trabia – University of Nevada, USA
H. Trinh – Deakin University, Australia
K. Tsakalis – Arizona State University, USA
H. Unger – Fern University in Hagen, Germany
G. Varga – University of Miskolc, Hungary
E.E. Yaz – Marquette University, USA
L. Yilmaz – Auburn University, USA
W. Yu – CINVESTAV, Mexico
S.-H. Zeng – Beijing University of Technology, PR China
L. Zhang – Harbin Institute of Technology, PR China
Y.M. Zhang – University of Kentucky, USA
Z. Zhang – University of Exeter, UK

ADVANCES IN COMPUTER SCIENCE (ACS 2013)

SPONSOR

The International Association of Science and Technology for Development (IASTED)

TUTORIAL SESSION

Prof. Nader F. Mir - San Jose State University, USA

SPECIAL SESSION AND PUBLICITY CHAIRS

Asst. Prof. Krerk Piromsopa - Chulalongkorn University, Thailand

Asst. Prof. Pattarasinee Bhattacharayya - Chulalongkorn University, Thailand

INTERNATIONAL PROGRAM COMMITTEE

T. Akutsu – Kyoto University, Japan
N. Amano – Okayama University, Japan
A. Appice – University of Bari Aldo Moro, Italy
P. Bhattacharayya – Chulalongkorn University, Thailand
P. Bodorik – Dalhousie University, Canada
J. Chandy – University of Connecticut, USA
D. Chen – Uniformed Services University of the Health Sciences, USA
Y. Chen – University of Winnipeg, Canada
S. Chittayasothorn – King Mongkut's Institute of Technology Ladkrabang, Thailand
B. Dasgupta – University of Illinois at Chicago, USA
E. Fink – Carnegie Mellon University, USA
E. Grant – University of North Dakota, USA
J. Guo – California State University Los Angeles, USA
M. Halgamuge – University of Melbourne, Australia
X. He – Florida International University, USA

S. Huang – University of Houston, USA
N. Ikram – International Islamic University, Pakistan
N. Karacapilidis – University of Patras, Greece
M. Kim – Ewha Womans University, Korea
V.C.S. Lee – Monash University, Australia
M. Li – Nanjing University, PR China
J. Lindström – IBM Helsinki Lab, Finland
R. Lipikorn – Chulalongkorn University, Thailand
P. Mahanti – University of New Brunswick, Canada
S. Maneeroj – Chulalongkorn University, Thailand
Y. Min – Chinese Academy of Sciences, PR China
J.J. Nieto – University of Santiago de Compostela, Spain
M. Ogiela – AGH University of Science and Technology, Poland
M. Ouyang – University of Louisville, USA
N. Passos – Midwestern State University, USA
K. Piromsopa – Chulalongkorn University, Thailand
S.G. Ponnabalam – Monash University, Malaysia Campus, Malaysia
K. Pruhs – University of Pittsburgh, USA
J. Puustjärvi – Helsinki University of Technology, Finland
Y. Ryu – Myongji University, Korea
O.K. Sahingoz – Turkish Air Force Adademy, Turkey
V. Savchenko – Hosei University, Japan
T. Senivongse – Chulalongkorn University, Thailand
S.M. Shamsuddin – University of Technology, Malaysia
B. Stantic – Griffith University, Australia
K. Sundaraj – University Malaysia Perlis, Malaysia
S. Suranauwarat – National Institute of Development Administration (NIDA), Thailand
K. Takano – Kanagawa Institute of Technology, Japan
A. Takasu – National Institute of Informatics, Japan
N. Taylor – Heriot-Watt University, UK
I.G. Tollis – Institute of Computer Science, Greece
I.F. Vega-Lopez – Autonomous University of Sinaloa, Mexico
D. Wang – University of Rochester Medical Center, USA
K.L. Wen – Chienkuo Technology University, Taiwan
H. Williams – Heriot-Watt University, UK

ADDITIONAL PAPER REVIEWERS

I. Ibraheem – Alandalus Private University for Medical Sciences; and Damascus University, Syria
I. A. Nasir – Sebha University, Libya
N. Nupairoj – Chulalongkorn University, Thailand
C. M. Travieso – University of Las Palmas de Gran Canaria, Spain
P. Xiang – Image Analysis, Inc, USA

PLEASE NOTE

- ❖ Paper presentations are 15 minutes in length with an additional 5 minutes for questions.
- ❖ Report to your Session Chair 15 minutes before the session is scheduled to begin.
- ❖ Presentations should be loaded onto the presentation laptop in the appropriate room prior to your session.
- ❖ End times of sessions vary depending on the number of papers scheduled.

799-013

Preview Control and Kalman Filter Applied to Lateral and Longitudinal Planning for Autonomous Vehicles
Thanh Phuc Le and Ion Stiharu (Canada)

799-045

Stochastic Stability of Extended Filtering for Nonlinear Systems with Measurement Packet Losses
Gang Wang, Jie Chen, and Jian Sun (PR China)

799-081

Enhancement Marginal Space and Morphology Technique for Robustness Object Overlapping Detection
Jakkree Srinonchat and Khwanjit Orkweha (Thailand)

799-021

Cooperative Global Robust Output Regulation for Nonlinear Multi-Agent Systems in Output Feedback Form
Yi Dong and Jie Huang (PR China)

799-029

A New Approach to Robust and Optimal Nonlinear Control Design
Zhong-Ping Jiang and Yu Jiang (USA)

799-111

Robust Inverse Dynamics Control and Vibration Rejection with Image Tracking for Inertial Stabilization System
Kritsanun Malithong and Viboon Sangveraphunsiri (Thailand)

15:30 – ACS SESSION 3 – MACHINE LEARNING/DATA MINING

Chair: Prof. Howard Williams (UK)

Location: Siam C Room

801-013

Learning User Behaviour in a Pervasive Social Networking System
Elizabeth Papadopoulou, Sarah Gallacher, Nick K. Taylor, and M. Howard Williams (UK)

801-014

The Study of High Frequency Vibration in Complex Coupling Structure via GM(h,N) Method
Wen-Long Xu, Guo-Qing Gong (PR China), Hong-Hai Li, and Kun-Li Wen (Taiwan)

801-018

Dimensional and Neighbourhood Dependencies of Phase Transitions in the Axelrod Culture Dissemination Model
Ken A. Hawick (New Zealand)

801-027

Improved Cuckoo Search in RBF Neural Network with Gaussian Distribution
Kullawat Chaowanawatee and Apichat Heednacram (Thailand)

801-037

Study on the Reasonable Price of Unleaded Gasoline by using Grey Relational Analysis Method
Yuan-Chieh Chin, Ting-Hui Hsu, Chi-Chang Chou, and
Kun-Lung Cheng (Taiwan)

801-088

Supporting Query by Content on ECG Data with User Defined Functions
Daniel E. Lopez-Barron, Ines F. Vega-Lopez, and Oswaldo Cuen-Tellez (Mexico)

19:00 – DINNER BANQUET

Location: Rabiang Terrace

ENHANCEMENT MARGINAL SPACE AND MORPHOLOGY TECHNIQUE FOR ROBUSTNESS OBJECT OVERLAPPING DETECTION

Jakkree Srinonchat and Khwanjit Orkweha
Signal Processing Research Laboratory

Electronics and Telecommunication Engineering Department, Faculty of Engineering
Rajamangala University of Technology Thanyaburi, Phathumtani, Thailand, 12110.
E-mail: jakkree.s@en.rmutt.ac.th, khwan_o1207@hotmail.com

ABSTRACT

The object detection of overlapping object is still interested for image applications especially in 2D system. This article presents the robust object detection using marginal space and morphology technique. The second order of derivatives (Laplacian Operator) is selected to be edge detection technique which bases on the Laplacian of a Gaussian (LOG) to perform as the linear operator. The experiment results show that this technique give the accuracy performance at 81.67% which can identify the top object of object overlapping.

KEY WORDS

Object Overlapping, Marginal Space, Morphology.

1. Introduction

The object detection of overlapping object research is recently interested and applied to industrial area such as Slamet's research work [1]. It is studied a shape characteristics analysis for papaya size classification. It specially uses the four combination shape characterization of area, mean, diameter and parameter. The automatic threshold based on the Otsu's method is applied to convert RGB to be the binary image and the morphology technique also is introduced to distinguish the object from background more than 94 %. Wichit's work [2] is studied the pineapple classification based on binary technique to identify the object position and separate the back ground. The image is then calculated the object size by black pixel counting at 92.6 %. [3] presents the searching a frame and area of interest in image using the template matching. The limitation of this work is based on database template of shape. In [4] presents the red-blood cell counting based on the black and white images using sum-result indexing technique, which is developed from run-length encoding(RLE) technique. The results show that the accuracy of this technique is same to contour tracing technique but using less time computation. In [5] presents the fish counting technique using parallel sum result indexing technique which is developed from two scan sum result indexing technique. The result show that this technique provides the accuracy counting and also using reduces the time computation. However it still have a

problem when applies to the overlapping objective image. Therefore, to enhance the searching efficiency of overlapping object, this article presents the object detection using marginal space and the morphology technique to reduce background noise of images.

2. The Marginal Space Technique

The marginal space technique [6],[7] is the object detection using segmentation technique. Each segment divided into 5 parameters. The 1st and 2nd parameters are object position. The 3rd parameter is object characteristics. The 4th and 5th are properties and relative parameter between object and background. The highest effectiveness of the marginal space technique must perform task as following.

2.1 Edge detection

The classification of specific area of image is to distinguish between objects of interest from background. This article uses segmentation technique based on discontinuity properties pixel on the edge of object. The advantage of this technique is fast processing using only data from edge or boundary of object.

The edge detection techniques process begins with converting original image to gray scale image, 8 bits, range 0-255. Then the Laplacian operator [] is applied to search and distinguish the edge. The estimation of mask value will set zero crossing position at the edge of the object. The Laplacian equation as following.

$$\nabla^2 P = \frac{\partial^2 P}{\partial x^2} + \frac{\partial^2 P}{\partial y^2} \quad (1)$$

Edge detecting by "The Laplacian equation" is result of operation. The edge of object will become origin point from where the data of pixel can be minus or plus value.

2.2 Image filter

The background noise can be found after edge detecting process completed. The filter technique is introduced to eliminate the noise. This article uses convolution technique as collaborate voting between template and image to reduce noise. Template is a matrix size $M \times N$ of algorithm placed on object to find convolution result value where template value is template of image as equation.

$$\hat{I}(X, Y) = T * I = \sum_{i=0}^{n-1} \sum_{j=0}^{m-1} T(x, y) I(X - i, Y - j) \quad (2)$$

And $\hat{I}(X, Y)$ is value from convolution

Regarding the equation present density of the light at point (X, Y) is sum of multiply value between template and density level of the light on overlapping image. The pointer from the equation $(X - i, Y - j)$

2.3 Edge enhancement

The opening technique is applied as edge enhancement by erosion method as 3rd and 4th equation for dilation method.

$$A \ominus B = \{z | (B)_z \subseteq A\} \quad (3)$$

$$A \oplus B = \left\{ z \mid \left[(\hat{B})_z \cap A \right] \subseteq A \right\} \quad (4)$$

A is image

B is Structuring element

Z is Set of element

Therefore, the opening equation is followed.

$$A \circ B = (A \ominus B) \oplus B \quad (5)$$

The opening technique has effect from eliminating of small object and dilute noise from image result to smoothing the boundaries of the object

3. Experiment

In this experiment, the circle shape has been used to test this technique. There are 60 digital images size 480x640 pixels which are selected to represent a circle shape as shows in Fig.1



Fig.1 Apple images

The process of classify the top object is followed in Fig.2

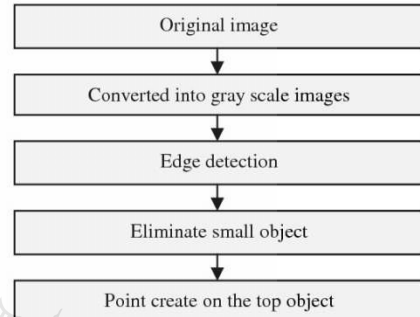


Fig.2 Process of classify the top object

Firstly, the original image has converted into grayscale images. The second order of derivatives (Laplacian Operator) is selected to be edge detection technique which bases on the Laplacian of a Gaussian (LOG) to perform as the linear operator. Because the LOG method uses the convolving technique which has effected directly to the image, the edge of image is occurred smoothly (noise reducing). The results show in Fig.3

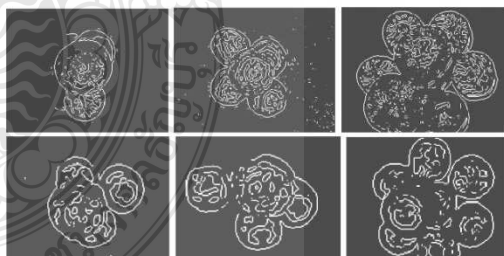


Fig.3 Boundaries detected by LOG method

After the edge detection process completed, the result still has got a background noise. The filter technique is introduced to eliminate the noise by convolution technique. Then the opening technique is used to

2.2 Image filter

The background noise can be found after edge detecting process completed. The filter technique is introduced to eliminate the noise. This article uses convolution technique as collaborative voting between template and image to reduce noise. Template is a matrix size $M \times N$ of algorithm placed on object to find convolution result value where template value T is template of image as equation.

$$I(X, Y) = T * I = \sum_{i=0}^{n-1} \sum_{j=0}^{m-1} T(i, j) I(X-i, Y-j) \quad (2)$$

And $I(X, Y)$ is value from convolution

Regarding the equation present density of the light at point (X, Y) is sum of multiply value between template and density level of the light on overlapping image. The pointer from the equation $(X = i, Y = j)$

2.3 Edge enhancement

The opening technique is applied as edge enhancement by erosion method as 3rd and 4th equation for dilation method.

$$A \ominus B = \{z | (B)_z \subseteq A\} \quad (3)$$

$$A \oplus B = \{z | [(B)_z \cap A] \subseteq A\} \quad (4)$$

A is image

B is Structuring element

Z is Set of element

Therefore, the opening equation is followed.

$$A \circ B = (A \ominus B) \oplus B \quad (5)$$

The opening technique has effect from eliminating of small object and dilute noise from image result to smoothing the boundaries of the object.

3. Experiment

In this experiment, the circle shape has been used to test this technique. There are 60 digital images size 400x640 pixels which are selected to represent a circle shape as shows in Fig.1



Fig.1 Apple images

The process of classify the top object is followed in Fig.2

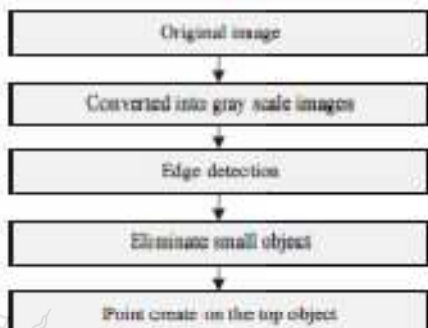


Fig.2 Process of classify the top object

Firstly, the original image has converted into grayscale images. The second order of derivatives (Laplacian Operator) is selected to be edge detection technique which bases on the Laplacian of a Gaussian (LOG) to perform as the linear operator. Because the LOG method uses the convolving technique which has effected directly to the image, the edge of image is occurred smoothly (noise reducing). The results shown in Fig.3

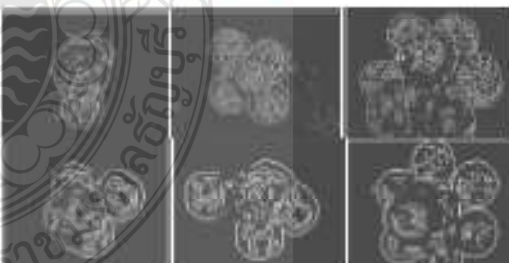


Fig.3 Boundaries detected by LOG method

After the edge detection process completed, the result still has got a background noise. The filter technique is introduced to eliminate the noise by convolution technique. Then the opening technique is used to

eliminate small object and dilute noise from image. The result shows this technique can reduce the noise and make the smoothly edge of the objects show in figure 4. However, it can be noticed that there are some loss portion of boundaries in Fig.4 this is because the luminosity of the light on the object is not balance.

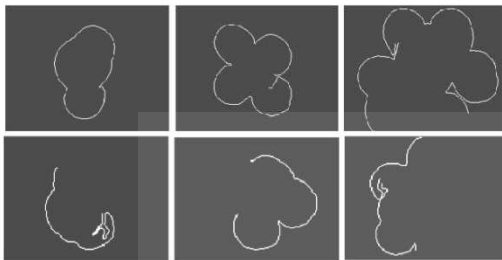


Fig.4 The image after using the opening technique

Finally, the center point of the object in boundaries area is considered from the center of area at horizontal coordinate (or x-coordinate) and vertical coordinate (or y-coordinate) respectively. The result of this process is shown in Fig.5 this process is to create a point on the image which located on the top object.



Fig.5 Point creating on the top object

4. Result

The experiment shows that this technique provides an effectiveness to detect interest object especially top object in 2D images as show in Fig.6

The results experiment in Fig.6 are compared to [8] which can be explain in Table 1

Table 1
Comparison result

Picture	Qty.	Result		
		Single object	Group object	Point create
3 Apples	10	6	4	9
4 Apples	10	4	6	10
5 Apples	10	1	9	9
6 Apples	10	1	9	8
7 Apples	10	0	10	6
8 Apples	10	0	10	7
Total	60	12	48	49
Percentage of total (%)	100	20	80	81.67

It can be noticed that this technique provides the accuracy performance at 81.67% which improve from the [8].



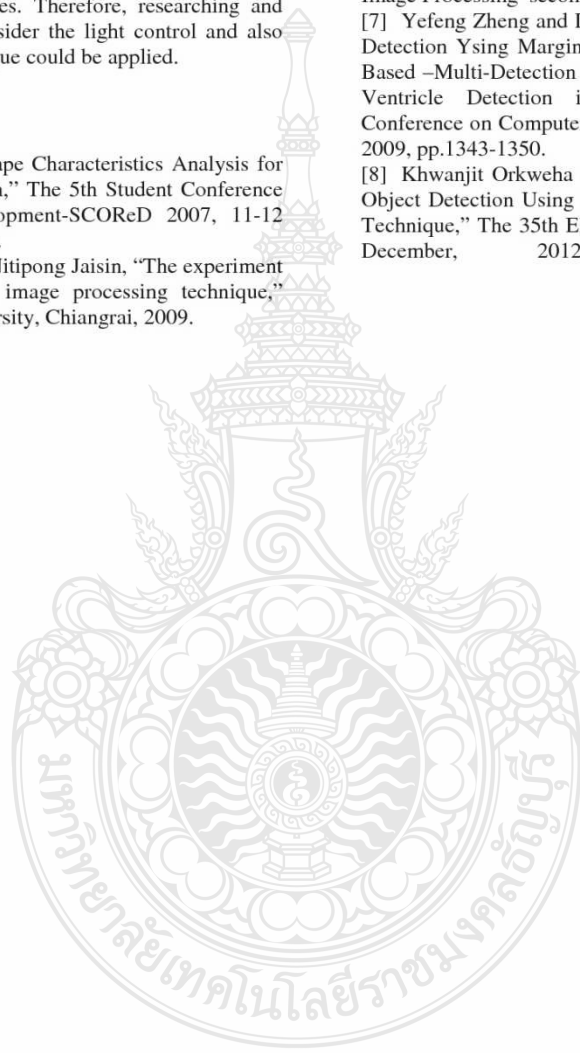
Fig.6 Experiment result

5. Conclusion

This article presents the improvement top object detection in 2D image. The apples image size 480x640 pixels, which are arranged in different position, are used to be in the input. The experiment results show that this technique give the accuracy performance at 81.67%. It can be notice that it more efficiency than [8] which can search top object interest from group object at 80% and single object 20%. However, this article still need more to improve and reduce the error. The error mostly comes from the luminosity of the light on object which affected to discontinuity of boundaries. Therefore, researching and development have to consider the light control and also another smoothing technique could be applied.

References

- [1] Slamet R. et al., "Shape Characteristics Analysis for Papaya Size Classification," The 5th Student Conference on Research and Development-SCOReD 2007, 11-12 December 2007, Malaysia.
- [2] Wichit Nanglae and Nitipong Jaisin, "The experiment of pineapple sorting by image processing technique," Chiangrai Rajabhat University, Chiangrai, 2009.
- [3] GeGuo, Tingting Jiang, Yizhou and Wen Gao, "Finding Multiple Object Instances with Occlusion," 2010 International Conference on Pattern Recognition, 2010, pp.3878-3881.
- [4] Gatesakda Srikote and Anupap Meesomboon, "Automatic Fry Counting Using Sum-Result Indexing Algorithm," The 33rd Electrical Engineering Conference, 1-3 December, 2010, Chiangmai, pp.1201-1204.
- [5] Gatesakda Srikote and Anupap Meesomboon, "Automatic Fry Counting Using Parallel Sum-Result Indexing Algorithm," Internet, 2011.
- [6] Rafael C. Gonzalez, Richard E. Woods, "Digital Image Processing second edition," 2002.
- [7] Yefeng Zheng and Dorin Comaniciu, "Robust Object Detection Using Marginal Space Learning and Ranking-Based -Multi-Detection Aggregation: Application to Left Ventricle Detection in 2D MRI Images," IEEE Conference on Computer Vision and Pattern Recognition, 2009, pp.1343-1350.
- [8] Khwanjit Orkweha and Jakkree Srinonchat, "Robust Object Detection Using Marginal Space and Morphology Technique," The 35th Electrical Engineering Conference, December, 2012, Nakhon Nayok.



ประวัติผู้เขียน

ชื่อ - นามสกุล	นางสาวขวัญจิต ออกรเวลา
วัน เดือน ปีเกิด	24 สิงหาคม 2523
ที่อยู่	29/2 หมู่ที่ 3 ต. สร้อยฟ้า อ. โพธาราม จ. ราชบุรี 70120
การศึกษา	
พ.ศ. 2542 – 2546	สำเร็จการศึกษาระดับวิศวกรรมศาสตรบัณฑิต
	สาขาวิศวกรรมไฟฟ้า สถาบันเทคโนโลยีราชมงคล ปทุมธานี
ประสบการณ์การทำงาน	
พ.ศ. 2546 – 2548	ดำรงตำแหน่งเจ้าหน้าที่ หน่วยงานจัดซื้อ บริษัทไทยหอย จำกัด
พ.ศ. 2549 – 2549	ดำรงตำแหน่งเจ้าหน้าที่ หน่วยงานจัดซื้อ บริษัทซีเจ เอ็นจิเนียริ่ง จำกัด
พ.ศ. 2550 – 2552	ดำรงตำแหน่งหัวหน้า หน่วยงานจัดซื้อ บริษัทพรีซีสชั่น เอนยีเนียริ่ง จำกัด
พ.ศ. 2553 – 2554	ดำรงตำแหน่งหัวหน้า หน่วยงานคลังบรรจุภัณฑ์และคลังวัสดุคิบ บริษัทพรีซีสชั่น เอนยีเนียริ่ง จำกัด
พ.ศ. 2554 – ปัจจุบัน	ดำรงตำแหน่งเจ้าหน้าที่ หน่วยงาน Procurement and Inventory Control บริษัทไวน์แอร์ แอนด์ ไวน์เลส จำกัด